

# Maparea mediului pentru roboți mobili cu structură senzorială limitată

**Universitatea „Dunărea de Jos”, Galați  
Facultatea de Automatică, Calculatoare,  
Inginerie Electrică și Electronică  
Departament : Automatică și Inginerie Electrică**



## **Lucrare de dizertație**

**Temă : Maparea mediului pentru roboți  
mobili cu structură senzorială limitată**

**Domeniu : Ingineria Sistemelor, Robotică**

**Student : Axenie Cristian**

**Specializare : Informatică Aplicată în Conducere Avansată**

**Grupa : 1**

**Promoția : 2009-2011**

**Profesor coordonator :  
Ş.l. Dr. Ing. Şolea Răzvan**

# Prefață

Lucrarea de față prezintă detaliile de implementare ale unei aplicații originale de mapare a mediului pentru roboți mobili cu structură senzorială limitată. Obiectivul propus în aceasta teză s-a concretizat ca un nivel adițional peste aplicația dezvoltată în cadrul lucrării de licență.

Concret, modulul de mapare proiectat se integrează funcțional cu structura dezvoltată anterior. Pornind de la proiectarea și implementarea unei structuri minime de robot mobil diferențial, s-a dezvoltat apoi o aplicație de control în timp real, care se bazează pe sinteza unui controller Sliding Mode pentru operarea robotului în regim de trajectory tracking. Toleranța la defecte a fost implementată sub forma unui banc de filtre Kalman extinse care prin proprietățile lor specifice au dat rezultate bune în ceea ce privește detecția și identificarea defectelor, marcate prin variația parametrilor sistemului. Pentru a spori autonomia, flexibilitatea și aplicabilitatea aplicației dezvoltate, aceasta a fost extinsă în lucrarea de față cu un nou modul, cel de mapare și localizare continuă, de tip SLAM.

Pe parcursul lucrării vor fi surprinse aspecte descriptive formale, aspecte de sinteză hardware și software și analiza rezultatelor obținute în diferite contexte de operare ale robotului pentru maparea mediului.

*,,Atunci când cea mai grea povară este sa trăiești fără să existi ...am văzut mai departe decât alții pentru că m-am ridicat pe umeri de giganți” și pentru că am avut alături oameni extraordinari care să mă susțină și să mă înțeleagă.  
Mulțumesc mult familiei mele, prietenilor și colegilor mei și nu în ultimul rând profesorilor mei.*

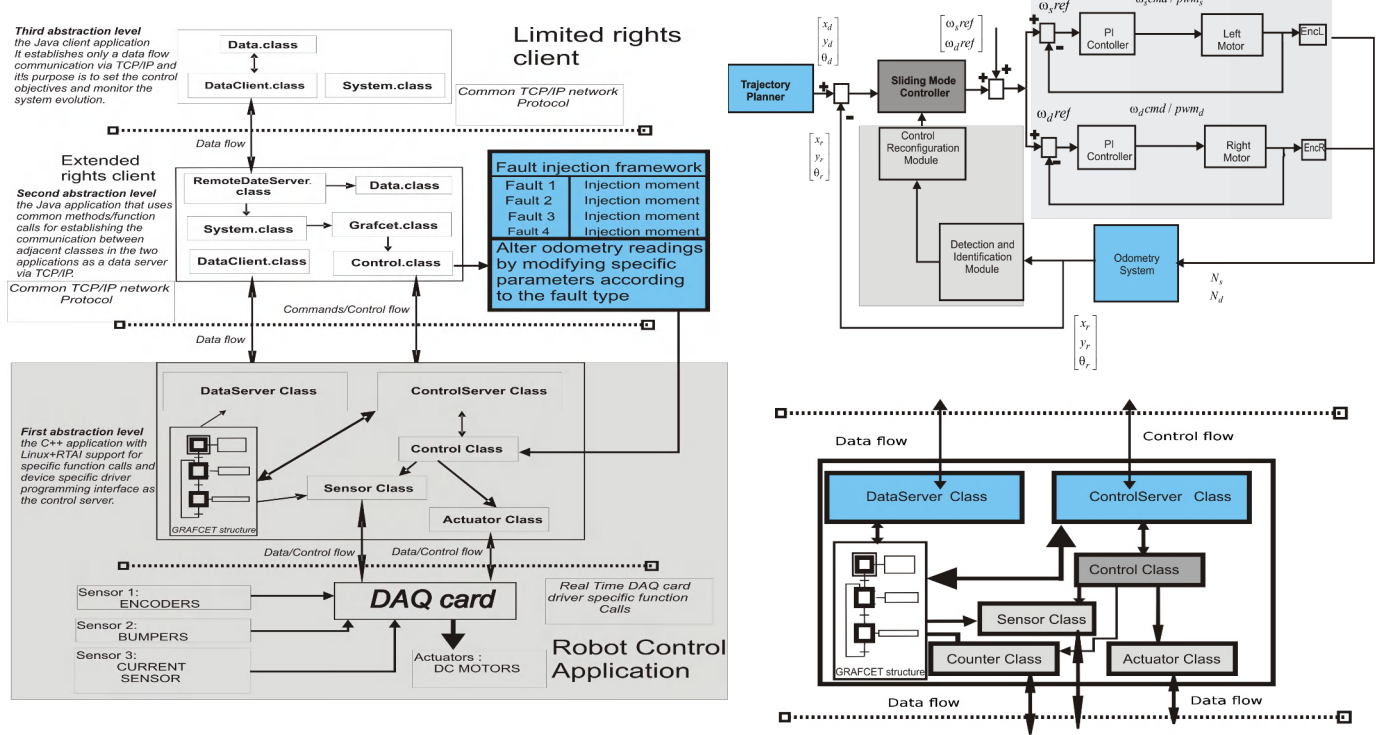
*Mai 2011*

# MSc. Thesis Report

## Environment mapping for limited sensor mobile robots

The current report introduces a novel implementation for limited sensor mobile robots environment mapping. The developed algorithm is an offline SLAM implementation. It uses real time data acquired from the sonar ring and uses this information to feed the mapping module for offline mapping. The latter is running on top of a real time fault tolerant control application for mobile robot trajectory tracking operation. The designed application, that includes both hardware and software design, was developed to fulfill the MSc Thesis requirements.

As mentioned earlier the mapping module is based on a real time fault tolerant control application. This application was developed on a distributed pattern containing two main components, an embedded server running on the robot and a series of distributed clients. A synthetic description of the base application description is next given, focusing on the main software architecture, the distributed client architecture, the real time control loop and the interconnection logic.

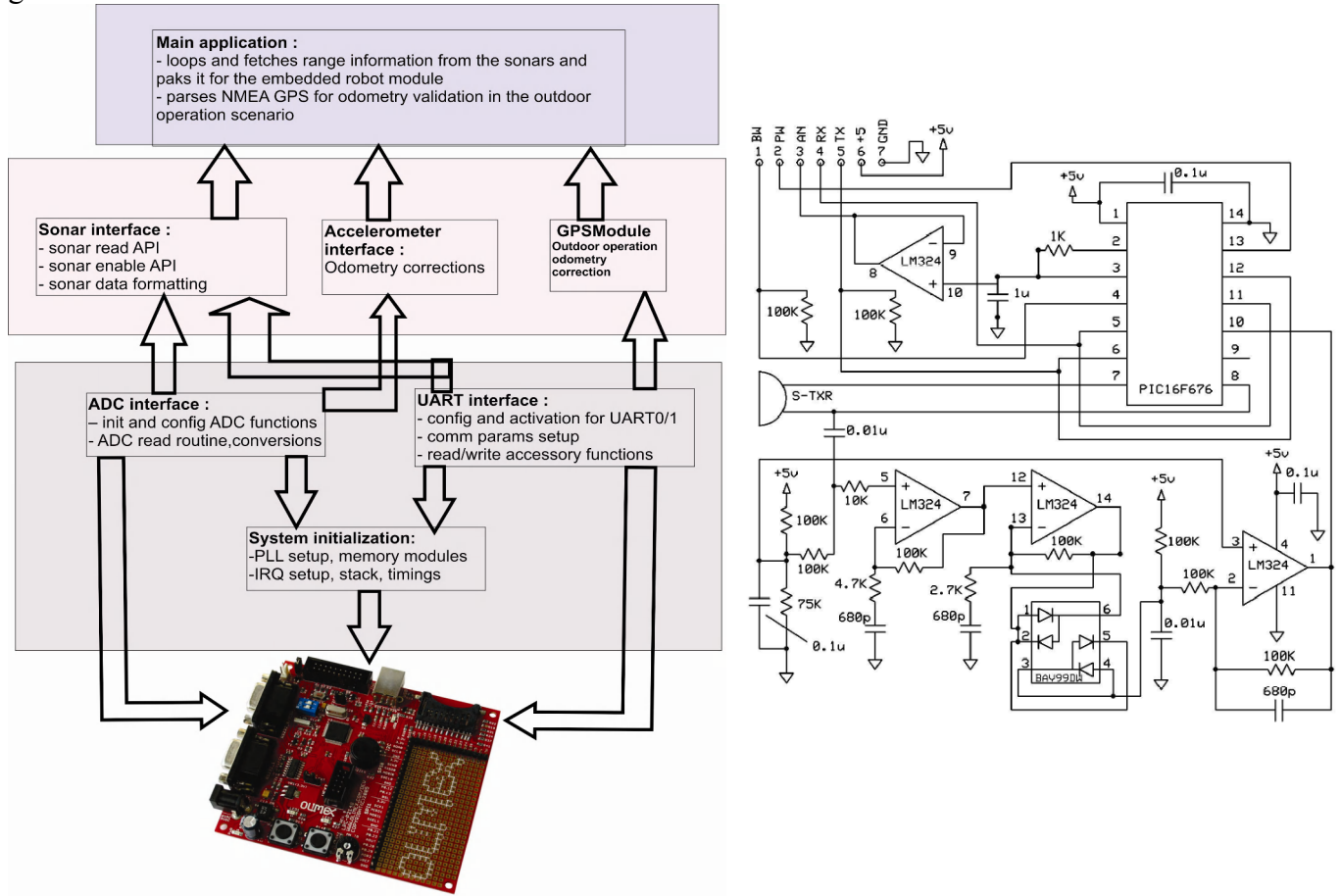


The server application implements a real time control loop to compute the control signal for a compound control loop (PI and Sliding Mode). The control task is executed concurrently with a monitoring and diagnosis task for fault detection and control reconfiguration. The monitoring and diagnosis task synthesizes five Kalman filters for residual computation and fault discrimination based on probability sequences. On the client side the main application enables only manual operation specific commands to access/set the control loop parameters and inject the faults for base platform testing procedure. The distributed architecture is using a typical TCP/IP network and is using message based upper level wrappers.

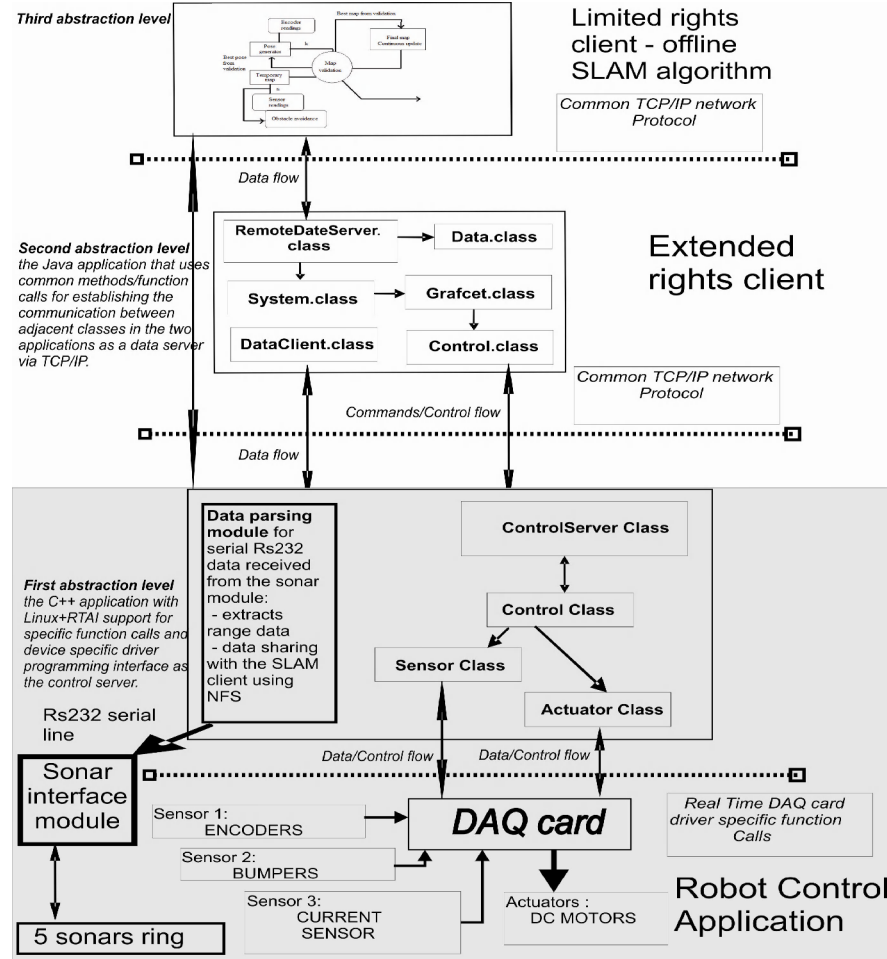
On top of this layered base level platform a mapping module was synthesized. The glue logic with the base level application is ensured by the main task concurrency mechanisms and by network file system distributed application support. The developed approach is a metric mapping algorithm, using Bayes rule and filter synthesis to implement an occupation matrix based offline SLAM algorithm. Starting from the Bayes rule a Bayes filter is synthesized to implement sensor fusion between odometry information and range information from the ultrasonic sensors. Some analysis details are next given to properly determine how the proposed implementation fits in the mention

category of algorithms. By implementing an occupation matrix based algorithm uncertainty representation in the map is minimized by using continuously generated auxiliary temporary maps. This short term maps are containing a snapshot of the sensor readings at a certain moment in time. To minimize the error accumulation a specific time interval for data acquisition was defined. This interval will define in fact the amount of information that the temporary map will contain. A second important aspect is regarding the algorithm convergence that is good and it is ensured by the fact that the solution is based on incremental sensor fusion steps. The third aspect that was considered in the design stage was the dimension limits for the maps and the link between the environment features and the acquired data to give a valid solution in a static environment. Another important aspect was based on the quality of robot model, sensor model and environment model. The sensor model was useful to convert the raw measurements into a generic form to carry the conditional probability for each cell of the occupancy matrix given for a sensor reading.

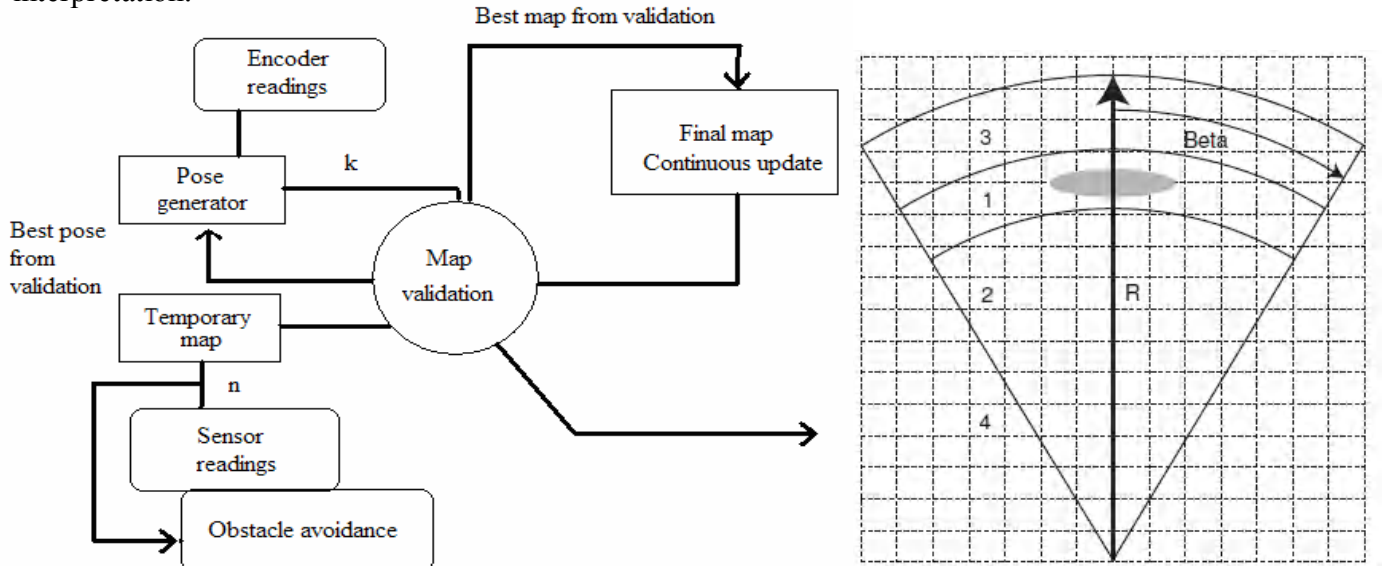
To better emphasize the developed module specific a separate (hardware/software) description is given. So, starting with the low level sonar data acquisition level, an important aspect is to consider the definition of the embedded components. A new board to interface with the sonars was considered. This additional module reads voltage information from the sonar ring and packs it in specific RS-232 packets. The packaged range information is then sent using a serial line to the server application where an additional packet parsing and conversion and serial device initializing routines were added. A synthetic depiction of the range acquisition module along with a schematic of the sonar module is given next.



The main application running on the embedded linux machine on the robot includes an adapting layer to support the interface with the sonar interface module and the support for data acquisition used in the sensor fusion stage for the SLAM algorithm. The main architecture of the real time control application was enhanced to include the new functionality. The next image synthesizes the final application layers.



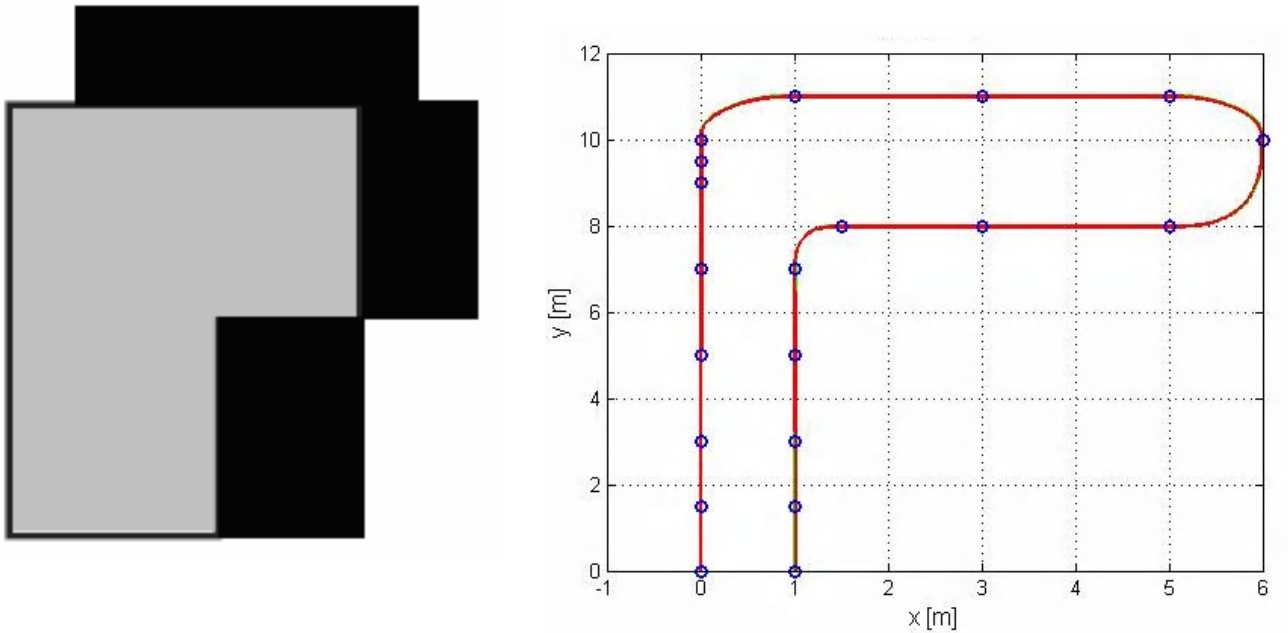
As mentioned earlier the SLAM implementation relies on multiple components. The first component is the sonar interface module found onboard the robot. This module gathers range data from the sonar modules and sends it to the real-time server application over the serial line. The server makes the sonar and odometry data available to the distributed client over a network file system. After the trajectory tracking operation is completed the acquired data is accessed by the client from the shared raw data files. The client then runs the offline SLAM algorithm. To synthesize the SLAM implementation a functional diagram is given along with auxiliary information about region separation used in data interpretation.



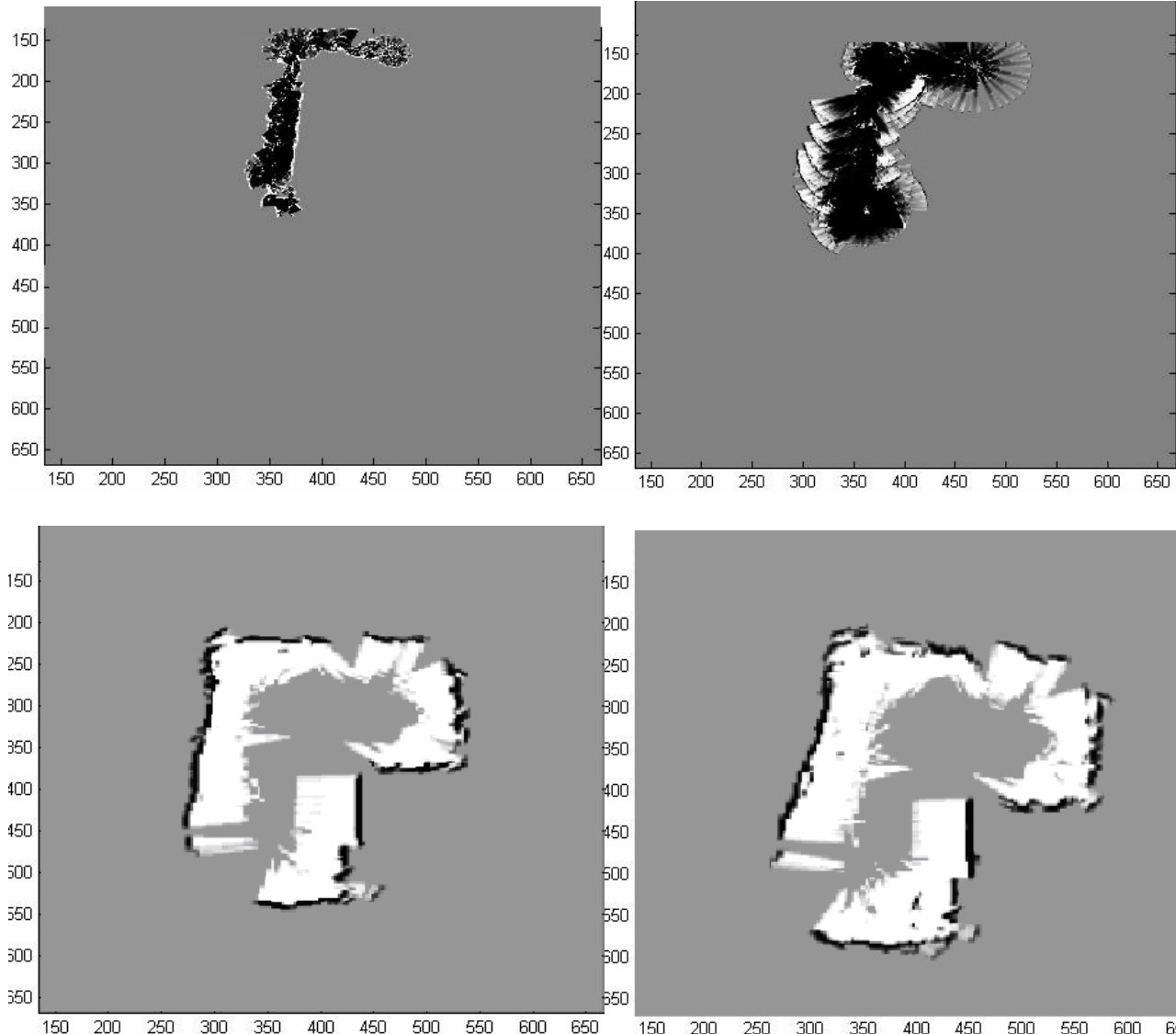
The defined regions are representing the way acquired data is interpreted. Hence, region 1 contains environment elements partially occupied, region 2 contains those environment elements that are probably empty, region 3 defines the uncertain elements (found behind the occupied elements) and finally region 4 defines the sonar out of range elements. In the first stage in map building will use the data acquired from the sonar ring. This data is later interpreted as probability profiles to define occupied and empty regions in the environment. Odometry data is integrated with the sonar data based map. Data integration is composed of multiple steps starting with the initialization of the temporary map to an empty state. Next, the superposition of the empty and occupied zones is done for the existing sensor readings. Following, the threshold computation is made by comparing relative power values for the empty/occupied matrix cells. The Bayes sensor fusion is used to complete the data integration stage by converting the measurements from the sensors into conditional probabilities used in the algorithm to make a generic representation in the map validation stage.

The offline SLAM application is built using multiple functional sub-modules. The first sub-module is responsible with acquiring data from the environment and the navigation logic. The robot shall navigate (trajectory tracking) in the environment and shall acquire data from the sonars and compute odometry data. The current pose of the robot is used also in the real time control algorithm. As one can see in the algorithm synthetic representation the best validated pose will be used to correct odometry data. The temporary map is incrementally built using sensor information until it becomes mature and then a validation stage is required. The validation stage assumes that the temporary map is compared on a per pose basis with the final map. Practically, the algorithm just compares the poses from the two maps and the difference between them is considered to be the odometry error. After updating the robot pose the temporary map is fused along with the final map resulting a new final map and a new iteration will start.

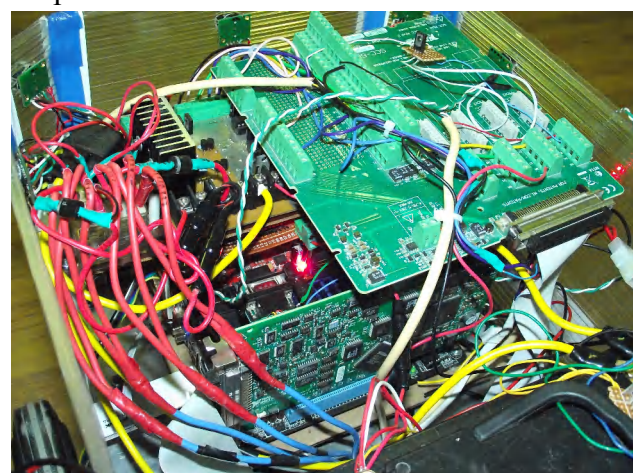
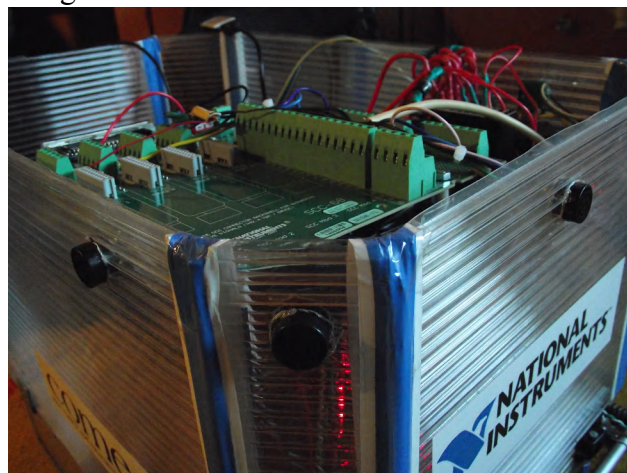
To validate the developed algorithm a test scenario was defined and the results are next presented. The environment configuration and the trajectory tracking profile are depicted next.



The developed algorithm refines the room representation incrementally, so by adjusting the algorithm parameters one can achieve good quality index in the context of a good and justifiable computational effort. For the given environment configuration the offline SLAM algorithm computed the next representation obtained for various parameters setup (continuous refinement). The upper images are depicting intermediary readings form the temporary maps and the lower image are introducing the final maps generated by the algorithm.



One can observe that the representation is proper and by adjusting the algorithm parameters can obtain a better performance index. The presented environment profile was defined in the real case of validation when the robot had to navigate to half the hallway in the faculty 5<sup>th</sup> storey. As future work the main focus will be on implementing the same concepts for online real time mapping and also to add an adaptive parametrization stage according to the input environment profile (empty areas, occupation matrix dimension, sensor number). The presented application was a minimal justifiable implementation of SLAM for limited sensor mobile robots that included hardware and software design. Next some internal robot structure details are depicted.



# Cuprins

<b>1 . Introducere în problematica mapării mediului</b>	<b>1.....6</b>
1.1 Prezentarea obiectivului propus pentru dezvoltare	2.....2
1.2 Un review al abordărilor existente asupra mapării mediului pentru roboți mobili. Probleme specifice	2.....5
1.3 Scurtă prezentare a abordării propuse	5.....6
1.4 Privire de ansamblu asupra structurii lucrării	6.....6
<b>2. Descrierea formală a conceptelor implicate în dezvoltare :</b>	<b>7.....21</b>
<b>Maparea și localizarea în mediu necunoscut</b>	<b>7.....21</b>
2.1 Tehnici probabilistice și modelarea senzorilor ultrasonici pentru maparea mediului	7.....13
2.2 Matrici de ocupare	13.....17
2.3 Fuziunea senzorilor pentru rafinarea matricii de ocupare	17.....19
2.4 Odometria și localizarea continuă	19.....21
<b>3. Descrierea platformei robotice și a aplicației de control distribuit ca suport pentru modulul de mapare a mediului</b>	<b>22.....43</b>
3.1 Descrierea structurii hardware a robotului mobil	22.....33
3.2 Descrierea aplicației de control în timp real	33.....43
3.2.1 Nivelurile funcționale ale aplicației de conducere	33.....39
3.2.2 Arhitectura distribuită client-server	39.....43
<b>4. Sinteză modulului de mapare a mediului</b>	<b>44.....52</b>
4.1 Implementarea offline SLAM	44.....50
4.1.1 Proiectarea modulului offline SLAM	45.....47
4.1.2 Parametrizări și configurația senzorilor	47.....48
4.1.3 Configurații de medii, navigație și localizare continuă	48.....50
4.2 Analiză, limitări în proiectare și îmbunătățiri	50.....52
<b>5. Sinteză nivelului de integrare a modulului de mapare cu aplicația de control în timp real pentru platforma robotică</b>	<b>53.....69</b>
5.1 Suportul hardware pentru modulul de mapare a mediului	53.....63
5.1.1 Descrierea platformei cu sonare	53.....60
5.1.2 Descrierea aplicației de interfațare cu	60.....63

sonarele și interacțiunea cu nivelul superior	
5.2 Suportul de nivel superior pentru maparea mediului	63.....69
5.2.1 Operarea multitasking concurrent pentru conducere și mapare offline	63.....65
5.2.2 Analiza rezultatelor	65.....69
<b>6. Concluzii</b>	<b>70.....70</b>
<b>7. Bibliografie</b>	<b>71.....73</b>
<b>8. Anexe (Listing, CD-ROM)</b>	<b>74.....95</b>
8.1 Codul sursă C al modului de interfațare cu senzorii ultrasonici bazat pe MCU LPC2148 (Listing, CD-ROM)	74.....92
8.2 Codul sursă Matlab pentru aplicația de mapare Offline (Listing, CD-ROM)	92.....95
Codul sursă C/Linux pentru aplicația de control în timp real a robotului mobil (CD-ROM)	

# **Capitolul 1**

**Introducere în problematica mapării  
mediului**

## 1. Introducere în problematica mapării mediului

În cursa continuă de a spori capacitatele și autonomia sistemelor robotice, în speță roboții mobili, au primit noi funcționalități care să le confere reactivitate, luarea deciziilor acum bazându-se pe informația stocată apriori dar și pe modificările dinamice ale mediului de operare. Astfel, putem considera că aplicațiile cu roboți mobili presupun pe lângă sinteza unui controller robust, precis și eficient pentru componenta motorie și existența unui modul de interpretare a informației senzoriale ce este achiziționată din mediul de operare și sintetizată într-o reprezentare internă consistentă, [6]. Maparea mediului de către roboți este un domeniu de cercetare activ în robotică și inteligență artificială de peste 20 de ani. Aceasta componentă adresează problema achiziției modelelor spațiale ale mediului fizic de operare de către roboți, asigurându-le astfel sporirea autonomiei. S-au dezvoltat diverse metode de mapare a mediului, pornind de la abordări robuste și statice, structurate, cu dimensiune finită până la mapare dinamică, nestructurată, la scară mare care ramâne încă o provocare, [5].

Lucrarea de față va prezenta o abordare originală în maparea mediului de operare indoor (interior) pentru un robot mobil diferențial. În general toți algoritmii de mapare a mediului sunt probabilistici. Unii algoritmi sunt incrementali, având posibilitatea execuției în timp real, în timp ce alte abordări necesită o parcurgere recursivă a informației senzoriale și impun o prelucrare offline, clasă de algoritmi în care se încadrează și abordarea din lucrarea de față, [3]. Continuând, se poate aminti că există algoritmi care au nevoie de poziția exactă pentru a construi harta mediului, în timp ce alții algoritmi au nevoie de informația de odometrie; unii algoritmi mențin consistența între datele achiziționate din mediu și momentul achiziției în timp ce alte abordări presupun marcarea individuală și distinctă a caracteristicilor mediului,[1].

Maparea mediului este o operație utilizată în mod comun pentru navigație (localizare) și presupune achiziția informației din mediu utilizând senzori (sonar, laser, infraroșu, radar, interfețe haptice, giroscop sau GPS). O problemă importantă care determină calitatea mapării rezidă în faptul că senzorii sunt afectați de zgomot de măsură și au game de măsură limitate, [2]. Pornind de la aceste premise în continuare este descris obiectivul propus pentru dezvoltare în cadrul tezei realizând apoi o sinteză descriptivă a metodelor existente pentru maparea mediului în cazul roboților mobili.

## 1.1 Prezentarea obiectivului propus pentru dezvoltare

În lucrarea de față este prezentată sinteza unui modul de mapare și localizare de tip SLAM(Simultaneous Localization and Mapping) utilizând o aplicație modulară cu o structură distribuită, eterogenă, pentru un robot mobil diferențial cu 2 roți motoare și o roată directoare. Obiectivul propus s-a concretizat în dezvoltarea a două componente ce au implicat proiectare hardware și software.

Prima componentă reprezintă modulul hardware și aplicația de interfațare cu senzorii ultrasonici. Acest modul embedded se bazează pe un MCU NXP ARMv7 LPC2148, iar aplicația ce rulează pe această platformă preia informația de la modulele cu senzor ultrasonic și o împachetează pentru a fi transmisă pe o linie serială RS232 către platforma embedded server bazată pe MPU Intel ATOM D525 care execută taskurile de control și monitorizare. Informația de la senzorii ultrasonici este utilizată pentru a asigura navigarea în mediul necunoscut (nu există informație apriori) și este transmisă unei aplicații client care va realiza salvarea informației pentru implementarea mapării offline.

A doua componentă este aplicația client Matlab care va prelua informația brută de la platforma embedded de pe robot și va executa algoritmul de SLAM implementat, generând offline harta mediului în care robotul a operat. Această componentă va comunica cu aplicația server de pe robot prin intermediul unei interfețe de funcții API adaptătoare. Nivelul adaptor va avea rolul de a exporta o interfață de funcții apelabilă pentru obținerea de informații de poziție a robotului, emiterea de comenzi și salvarea de informație de stare. Aplicația SLAM va fi considerată un framework de test pentru nivelul adaptor și experimentele efectuate vor ilustra influența erorilor de odometrie în crearea hărții mediului și vor demonstra eficiența localizării continue în tratarea acestei probleme. În continuare este prezentat un review asupra metodelor existente de mapare a mediului pentru roboți mobili pentru a încadra obiectivul propus.

## 1.2 Un review al abordărilor existente asupra mapării mediului pentru roboți mobili. Probleme specifice

În cele ce urmează se prezintă un scurt review al istoricului dezvoltării și abordărilor existente în maparea mediului. S-au concretizat două mari direcții în maparea mediului și anume, maparea metrică și maparea topologică. Hărțile metrice surprind proprietățile

geometrice ale mediului, în timp ce maparea topologică descrie conectivitatea între diferite zone ale mediului. Una din primele abordări pentru maparea metrică, care este încă utilizată și îmbunătățită în aplicațiile curente, este algoritmul de mapare cu matrice (grilă) de ocupare, dezvoltat de Elfes și Moravec, care reprezinta hărțile prin celule care modelează spațiul ocupat și liber din mediu. O metodă alternativă de mapare metrică a fost propusă de Chatila și Laumond și utilizează seturi de poliedre pentru a descrie geometria mediului, [2]. Metode de mapare topologică, dezvoltate de Matarić, Kuipers, reprezentau mediul ca o listă de zone semnificative conectate prin arce care conțin informație privind sensul de navigație între zone. Deși distanța între cele două abordări este mică, se poate considera că hărțile obținute prin mapare topologică sunt mai precise decât cele obținute prin mapare metrică. Dacă se dorește o rezoluție mai ridicată se va atinge și un efort computațional major, care poate fi justificat doar de faptul că acest lucru va determina rezolvarea problemelor de corespondență, probleme care vor fi prezentate în cele ce urmează.

O a doua clasificare a algoritmilor, sunt algoritmii centrați (orientați) pe mediu și algoritmi orientați pe robot, [5]. Hărțile orientate pe mediu sunt reprezentate într-un spațiu global de coordonate și entitățile din hartă nu conțin informații privind măsurătorile senzorilor care au determinat extragerea acestor elemente, în timp ce maparea orientată pe robot este descrisă în spațiu măsurătorilor. Maparea orientată pe robot prezintă dezavantaje majore în fața mapării orientate pe mediu (imposibilitatea extrapolării, imposibilitatea discriminării pozițiilor asemănătoare datorită lipsei geometriei în spațiu de măsurare), fapt care a determinat utilizarea frecventă a mapării orientate pe mediu, [3]. În anii 90 maparea mediului de către roboți a fost dominată de tehnici probabilistice. S-au dezvoltat o serie de instrumente statistice și algoritmi pentru rezolvarea simultană a problemei mapării și a problemei induse de localizare a robotului relativ la harta construită incremental (Smith, Self, Cheeseman). Astfel s-a concretizat termenul de SLAM sau CML (Simultaneous Localization and Mapping sau Concurrent Mapping and Localization), [8].

O familie de abordări probabilistice utilizează filtrul Kalman pentru a estima harta și locația robotului, harta rezultată descriind pozițiile unor puncte marcate (landmarks) sau caracteristici semnificative ale mediului, fie utilizând un număr mare de citiri brute de la senzori, [4]. O alternativă o reprezintă abordările bazate pe algoritmul de maximizare a așteptării (expectation maximization) a lui Dempster, care adresează problema corespondenței în mapare (corespondență între citirea de la senzor la un moment dat și entitatea fizică reală din mediu), [9]. O a treia familie de tehnici probabilistice se bazează pe

identificarea obiectelor din mediu care corespund tavanului, peretilor, ușilor sau altor obiecte care se pot mișca, însă sunt surclasate de metode de computer vision, [7].

În continuare sunt prezentate câteva probleme specifice mapării mediului, analizând câteva cazuri particulare de interes și pentru aplicația dezvoltată. După cum menționam anterior o provocare majoră în maparea mediului o constituie zgomotul de măsură. Problemele de modelare, cum este și maparea mediului de către robot, sunt relativ ușor de rezolvat de cele mai multe ori atunci când zgomotul în măsurători diferite este statistic independent. În acest caz s-ar efectua din ce în ce mai multe citiri pentru a înălța efectul zgomotului. În realitate erorile de măsură sunt dependente statistic, deoarece erorile în comanda/odometria robotului se acumulează în timp și astfel influențează modul în care sunt interpretate viitoarele măsurători. De exemplu, în cazul în care o eroare de rotație de amplitudine redusă apare la un capăt al unui corridor parcurs de robot (operând în mapare) poate determina erori foarte mari și în capătul opus al corridorului. În continuare este prezentată o figură ce ilustrează și susține exemplul.

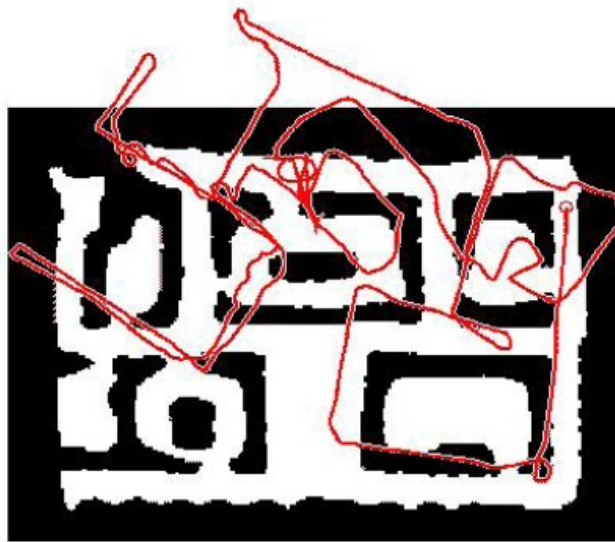


Fig.1 Manifestarea unei erori de odometrie și influența asupra mapării

Figura prezintă eroarea de odometrie relativă la o hartă dată și se poate trage concluzia că erori mici în comandă / odometrie (erori sistematice) pot determina erori mari în estimările ulterioare ale poziției. Încercarea de a compensa erorile sistematice de odometrie determină creșterea complexității algoritmului și din punct de vedere matematic dar și al implementării în timp real.

Un al doilea aspect de interes se referă la dimensiunile mari ale entităților mapate. În acest caz din punct de vedere statistic fiecare număr care reprezintă o entitate topologică majoră devine o dimensiune în problema de estimare.

A treia și probabil cea mai dificilă problemă în maparea mediului, este problema corespondenței, adresată și anterior și cunoscută și ca problema asocierii datelor. Această problemă presupune determinarea / validarea corespondenței între măsurători efectuate la anumite momente de timp și obiectul fizic din mediu. Problema corespondenței este una dificilă întrucât numărul de ipoteze posibile poate crește exponențial în timp, [6].

A patra provocare se referă la mediile dinamice, care suferă modificări structurale în timp. Unele modificări pot surveni relativ lent însă uneori starea / locația entităților mediului se poate schimba (uși, persoane). În acest moment nu există niciun algoritm de mapare care să opereze eficient pentru medii dinamice, în cele mai multe cazuri algoritmii se bazează pe prezumția unui mediu static în care doar robotul este o cantitate variantă în timp, celelalte entități care se mișcă fiind considerate zgomot, [4].

O ultimă problemă specifică mapării mediului se referă la modul în care robotul parcurge mediul în timpul mapării. Taskul generării traectoriei robotului în cadrul mapării mediului se referă la explorarea mediului. Explorarea mediului este o problema de planificare care este rezolvată deseori sub-optimal, prin intermediul euristicilor. În acest context apar probleme și se fac compromisuri între cantitatea de informație și timpul de achiziție a informației. În continuare este redată o scurtă prezentare a abordării propuse.

### 1.3 Scurtă prezentare a abordării propuse

Aplicația dezvoltată își propune să realizeze maparea offline a mediului de operare a robotului mobil. Un scenariu demonstrativ presupune setarea robotului în parcurgerea mediului supus mapării în mod trajectory tracking, care presupune o parcursere a unui traseu prestabilit cu restricții temporale impuse. În timpul operării în regim trajectory tracking taskul concurent de preluare a informației de la senzorii ultrasonici ce rulează pe modulul cu MCU LPC2148 prelucră informația de distanță facând-o disponibilă modulului server cu MPU ATOM D525 al robotului. Informația este apoi distribuită către clientul conectat la aplicația server ce rulează pe robot și prin intermediul unui interfețe de funcții accesori preia informația utilă pentru construirea offline a hărții mediului utilizând SLAM. Taskul de control în timp real calculează comanda emisă către actuatorii robotului la 50ms perioadă de eşantionare, odometria se bazează pe o perioadă de eşantionare de 50ms pentru citirea impulsurilor de la codurile incrementale și tot la 50 ms informația de distanță de la sonare este primită pe linia serială RS232 asincron de la modulul de interfațare cu LPC2148. Informația de distanță este formatată pentru a fi transmisă clientului ce implementează

algoritmul SLAM însă este disponibilă și în format brut pentru prelucrări locale la nivelul robotului. De asemenea pentru operarea out-door sistemul este prevăzut și cu un modul GPS care oferă informație de poziție pentru validarea odometriei.

#### 1.4 Privire de ansamblu asupra structurii lucrării

Lucrarea de față este structurată în 8 capitole care introduc progresiv concepte și detalii de proiectare și implementare după cum urmează :

Capitolul 1. Stabilește cadrul general de interes pentru problema abordată.

Capitolul 2. Descrie concepțele implicate în dezvoltare.

Capitolul 3. Descrie platforma robotică și aplicația de control în timp real.

Capitolul 4. Descrie algoritmul SLAM implementat și analizează performanțele.

Capitolul 5. Descrie arhitectura hardware și software a modului de interfațare cu sonarele și implementarea nivelului adaptor pentru comunicarea cu aplicația de control în timp real.

Capitolul 6. Prezintă concluziile și analiza rezultatelor obținute.

Capitolul 7. Introduce bibliografia.

Capitolul 8. Anexe, cod sursă.

## **Capitolul 2**

**Descrierea formală a conceptelor  
implicate în dezvoltare:  
Maparea și localizarea în mediu  
necunoscut**

## **2. Descrierea formală a conceptelor implicate în dezvoltare: Maparea și localizarea în mediu necunoscut**

Capitolul curent al lucrării își propune să introducă acele aspecte teoretice, formale din spatele tehnicii de mapare a mediului pentru roboți mobili și a localizării. Un robot mobil care operează în modul de mapare explorând un mediu necunoscut generează hărți prin acumularea de informație obținută în timpul explorării de la senzori. O problemă care apare și care a fost amintită și anterior se referă la senzori. În acest context, din păcate, informația de la senzorii de distanță (range sensors, ex.: sonar, laser, lidar, senzori optici) este utilă pentru mapare doar dacă poziția senzorului la momentul citirii informației este cunoscută. Codurile sunt considerate cele mai uzuale unități senzoriale pentru roboții mobili, utilizate pentru calculul de odometrie, dar în același timp sunt cele mai afectate de erorile sistematice (ex.: erori în calculul precis al dimensiunilor și poziționării roților reportat la șasiu) și ne-sistematice (ex.: alunecarea roților funcție de suprafață) care se acumulează în timp. Implicația directă a acestui aspect rezidă în faptul că în cazul în care robotul nu este localizat în mediu calitatea și precizia hărții va fi degradată. În continuare sunt prezentate acele aspecte formale implicate în problema mapării mediului și se analizează problemele specifice și elementele care au fost prezente în analiza și sinteza abordării propuse.

### 2.1 Tehnici probabilistice și modelarea senzorilor ultrasonici pentru maparea mediului

În general toți algoritmii dezvoltăți pentru maparea mediului de către roboți sunt bazați pe tehnici probabilistice. Acești algoritmi utilizează modelele probabilistice ale robotului și a mediului său de operare și se bazează pe inferențe probabilistice pentru a transforma măsurătorile senzorilor în hărți ale mediului.

Motivația utilizării tehnicii probabilistice rezidă în faptul că maparea mediului este caracterizată de incertitudine și zgromadirea măsură, care nu este o problemă trivială, ci una complexă, ce impune metode complexe de tratare. Algoritmii probabilistici abordează problema mapării prin modelarea explicită a diferențelor surse de zgromadire și efectul acestora în măsurătorile efectuate. Prințipiu de bază care stă în spatele majorității algoritmilor de mapare este regula lui Bayes :

$$p(x | d) = \eta p(d | x)p(x), \quad (1)$$

Capitolul 2 - Descrierea formală a conceptelor implicate în dezvoltare : Maparea și localizarea în mediu necunoscut  
Interpretarea acestei inferențe probabilistice este redată în continuare. Se presupune că se pornește de la determinarea informației despre o cantitate (variabilă)  $x$  (ex.: harta mediului) bazându-ne pe informația de măsură,  $d$  (ex.: informația de la sonare). Regula lui Bayes oferă soluția problemei prin multiplicarea termenilor  $p(d|x)$  și  $p(x)$ , care redau probabilitatea de a observa măsurătoarea  $d$  în ipoteza  $x$ , respectiv presupunerea stării înaintea apariției oricărei informații de măsură.  $\eta$  este un factor de normalizare care asigură o distribuție de probabilitate validă, [10].

În maparea mediului de către roboți informația este disponibilă la anumite momente (perioada de eșantionare) și putem astfel defini ca  $z$  (vectorul măsurătorilor) și  $u$  (comenzile pentru actuatori). Se presupune că datele sunt preluate în timp, în alternanță cu sinteza comenziilor pentru actuatori, după cum urmează,

$$z_1, u_1, z_2, u_2, \dots, \quad (2)$$

În particular,  $z_t$  este vectorul măsurătorilor la momentul de timp  $t$  și  $u_t$  este comanda sintetizată pentru actuatori în intervalul  $[t-1, t]$ . În maparea mediului abordarea dominantă pentru această integrare temporală a datelor este cunoasătă sub denumirea de filtru Bayes, care are strânsă legătură cu filtrul Kalman, modelele Markov ascunse, rețelele Bayes dinamice și procese de decizie Markov parțial observabile.

Filtrul Bayes are rolul de a extinde regula lui Bayes la probleme de estimare temporală, fiind un estimator recursiv pentru calculul unei secvențe de distribuții de probabilitate asupra unor cantități care nu sunt observate direct (ex.: harta mediului).

În continuare se introduce termenul de stare pentru a defini aceasta cantitate necunoscută, notată  $x_t$ , unde  $t$  este indexul temporal. Filtrul Bayes generic calculează probabilitatea (posterior) peste starea  $x_t$  prin următoarea ecuație recursivă :

$$p(x_t | z^t, u^t) = \eta p(z_t | x_t) \int p(x_t | u^t, x_{t-1}) p(x_t - 1 | z^{t-1}, u^{t-1}) dx_{t-1}, \quad (3)$$

Variabilele cu index superior marchează datele până la momentul  $t$ , adică  $z^t = \{z_1, z_2, z_3, \dots, z_t\}$ ,  $u^t = \{u_1, u_2, u_3, \dots, u_t\}$ . Filtrele Bayes sunt recursive și se poate observa că probabilitatea  $p(x_t | z^t, u^t)$  este calculată din aceeași probabilitate dar la un pas mai devreme. La limită, probabilitatea inițială este  $p(x_0 | z^0, u^0) = p(x_0)$ . Putem constata astfel că timpul de înnoire a informației este constant permitând astfel filtrului Bayes să estimeze

Capitolul 2 - Descrierea formală a conceptelor implicate în dezvoltare : Maparea și localizarea în mediu necunoscut informație continuu. Este important de menționat că starea  $x_t$  trebuie să conțină toate cantitățile necunoscute care ar putea influența măsurările senzorilor la diferite momente în timp, în cazul nostru cele două cantități sunt harta și poziția robotului în mediu. Din moment ce ambele sunt influențate de măsurările de la senzori de-a lungul timpului ambele trebuie estimate corelat. Putem astfel defini filtru Bayes pentru o hartă, m și o poziție, s a robotului :

$$p(s_t, m_t | z^t, u^t) = \eta p(z_t | s_t, m_t) \iint p(s_t, m_t | u_t, s_{t-1}, m_{t-1}) p(s_{t-1}, m_{t-1} | z^{t-1}, u^{t-1}) ds_{t-1} dm_{t-1}, \quad (4)$$

Majoritatea algoritmilor de mapare presupun că mediul este static și astfel se poate omite indexul temporal pentru harta, m, deasemenea mai presupun și că sinteza comenzi este independentă de hartă. Astfel, putem obține o reprezentare simplificată a filtrului Bayes pentru maparea mediului, dată în continuare, [11],

$$p(s_t, m | z^t, u^t) = \eta p(z_t | s_t, m) \iint p(s_t | u_t, s_{t-1}) p(s_{t-1}, m | z^{t-1}, u^{t-1}) ds_{t-1}, \quad (5)$$

O observație bună, în contextul eficienței mapării statice, se referă la faptul că acest estimator recursiv nu are nevoie de o integrare peste m hărți, ceea ce redă simplificarea față de modelul inițial, întrucât integrarea este dificilă peste un spațiu multidimensional al tuturor hărților.

### Operarea filtrului Bayes

O primă etapă în descrierea operării estimatorului este definirea a două probabilități generative  $p(s_t | u^t, s_{t-1})$  și  $p(z_t | s_t, m)$  care sunt presupuse să fie invariante în timp și care sunt reprezentate deseori sub forma  $p(s | u, s')$ , respectiv  $p(z | s, m)$  reprezentând modelele generative ale robotului și mediului. Probabilitatea  $p(s | u, s')$ , descrie efectul comenzi u asupra stării s, de fapt probabilitatea tranzitiei  $s' \rightarrow s$  sub acțiunea comenzi u. Probabilitatea  $p(z | s, m)$ , este referită ca modelul perceptual, operarea senzorilor, descriind modul în care sunt generate măsurările z pentru diferite poziții, s și hărți, m. Reprezentarea hărții este condensată în reprezentarea teritoriului, care poate fi definită în detaliu în funcție de algoritm.

În continuare sunt redate succint câteva aspecte privind performanțele și funcționalitatea metodei abordate în lucrare pentru maparea mediului la nivel formal al elementelor de analiză algoritmică. Abordarea aleasă se bazează pe matrici de ocupare, [10].

Primul aspect se referă la modul în care este reprezentată incertitudinea în hartă și în acest caz se folosește o hartă auxiliară posterioară (relativ la momentele de timp considerate în reprezentare).

Al doilea aspect de interes referă convergența algoritmului care este puternică, minimul local nu este considerat, harta construindu-se incremental, fiind necesare informații de poziție indiferent de zgromotul de măsură.

Al treilea aspect referă limitările dimensionale ale hărții, în acest caz harta neavând limitări dimensionale, corespondența trăsăturilor e utilizată alături de date brute pentru a asigura o soluție validă într-un mediu static sau un mediu dinamic limitat.

În continuare este realizată o descriere a elementelor specifice de modelare și funcționare pentru senzorii ultrasonici utilizați în aceasta abordare de mapare a mediului.

Senzorii ultrasonici (sonarele) sunt cel mai utilizat tip de senzori atât pentru domeniul comercial cât și pentru mediul academic pentru roboții cu operare indoor. Sonarul emite o undă la o frecvență ultrasonică și determină timpul de la emisie până la revenirea undei la emițător după reflexie. Înținând cont de timpul de propagare a undei ultrasonice se poate determina distanța la care se află obiectul față de sonar. Funcțional, un puls generat de traductorul ultrasonic determină o vibrație a unei membrane care emite o undă considerată a avea o anvergură de 30°. La emisie un timer este setat și membrana devine staționară. La recepția unui ecou, de o amplitudine mai mare decât un prag, timerul este oprit și timpul măsurat este timpul de propagare a undei de la emițător la obiect și return.

Senzorii ultrasonici suferă însă și de o serie de limite. Prima problemă specifică a sonarelор este reflexia speculară, care se manifestă prin reflexii multiple în obiecte alăturate datorită unei diferențe de unghi de reflexie, fapt ce determină creșterea timpului de propagare (time-of-flight) care implică și detecția unei distanțe eronate. O a doua problemă referă obținerea unei distanțe mai mici la măsurătoare de la obiecte la senzor, care se manifestă în cazul în care la sonar ajunge o undă care se află la extremitatea conului de activitate a undei și nu fascicolul perpendicular pe suprafața de contact. Timpul de zbor va fi astfel mai scurt și distanța obținută de sonar până la obiectul care reflectă va fi eronată.

Pentru a permite încorporarea informației senzoriale de la diferite tipuri de senzori, în reprezentarea mediului de operare prin hartă, se impune obținerea unei reprezentări a senzorilor. Un model al senzorului este util pentru a realiza conversia măsurătorilor specifice senzorului într-o formă generică, care să ofere reprezentările probabilistice condiționale pentru fiecare locație din mediu, dată de o anumită citire a senzorului.

Capitolul 2 - Descrierea formală a conceptelor implicate în dezvoltare : Maparea și localizarea în mediu necunoscut  
Robotul mobil utilizat în implementarea aplicației de mapare prezintă 5 sonare dispuse într-o strucțură de inel (ring) în partea frontală a robotului. Fiecare senzor ultrasonic este conectat într-un modul embedded cu MCU. În continuare sunt redate câteva aspecte privind modulele cu senzor ultrasonic. Senzorii ultrasonici utilizați în această aplicație sunt EZ0-LV-MaxSonar High Performance Sonar Range Finder de la MaxBotix. Fiecare modul cu sonar poate detecta obiecte aflate la distanțe între 0-inch și 254-inch (0-6.45m) oferind o rezoluție de 1-inch peste 6-inch până la 254-inch. Fiecare modul poate emite informația de distanță în mai multe forme simultan. Astfel, modulul embedded conține un MCU PIC 16F676 care preia semnalul de la senzorul ultrasonic și după condiționare cu un LM324 emite semnalul de tensiune corespunzător distanței, sub forma unui semnal analogic proporțional cu distanța  $((V_{cc}/512)/\text{inch})$ , un semnal PWM (147uS/inch) sau semnal codificat pe linia UART (0-V<sub>cc</sub>, 9600-8N1). Citirile au loc la 50mS (20Hz frecvență), iar senzorul operează la 42KHz realizând un control continuu al fascicolului și suprimarea lobilor laterali. În continuare sunt redate caracteristicile conului de activitate a sonarului pentru diferite tensiuni de alimentare.

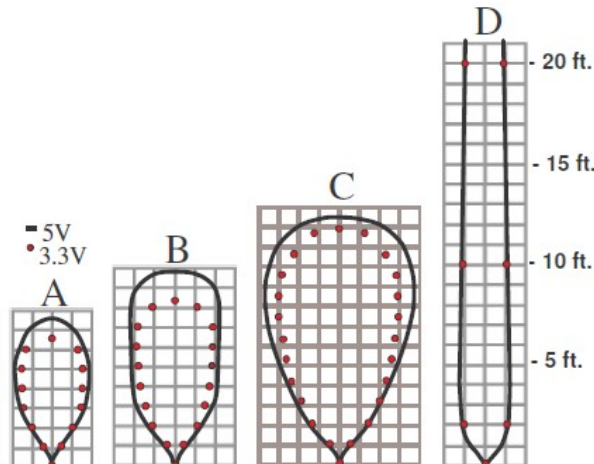


Figura 2 Caracteristicile conului de activitate a sonarului pentru diferite tensiuni de alimentare

Se poate observa că conul de activitate se poate modula funcție de tensiunea de alimentare realizându-se apoi la o resetare de V<sub>cc</sub> și o recalculare a scării de măsură pentru conversia din tensiune în distanță. Schema modulului embedded cu senzor ultrasonic este redată în figura următoare.

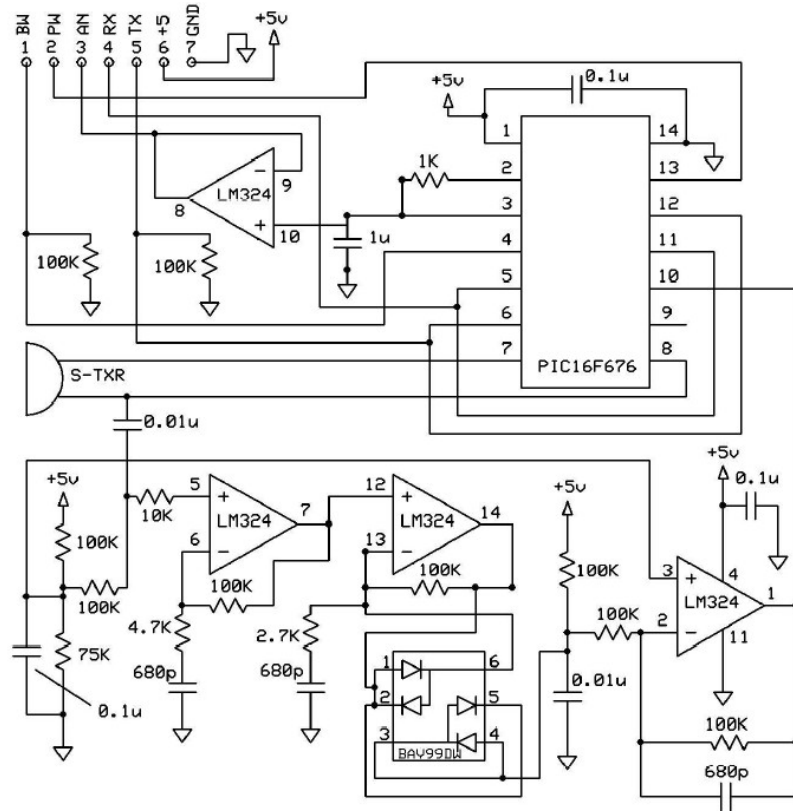


Figura 3 Schema modulului embedded cu senzor ultrasonic

La power-up fiecare modul are o perioadă de 250mS până când devine activ pentru acceptarea de comenzi de citire. Înainte de prima citire modulul realizează un ciclu de calibrare de 49mS și apoi realizează citirile la fiecare 49mS. În continuare sunt redate aspecte privind modelarea senzorilor ultrasonici cu implicație directă în dezvoltarea algoritmului propus pentru maparea mediului.

Modelul sonarului a fost dezvoltat ca un model cu incertitudine și s-au definit 4 regiuni pentru acesta (regiuni de probabilitate) care redau de fapt particularizarea funcție de starea mediului. Astfel, primele 3 regiuni se află în conul de activitate a sonarului în timp ce a 4-a regiune este în afara ariei acoperite de sonar. Regiunile de operare ale sonarului sunt redate sintetic în următoarea figură în care R este distanța maximă la care sonarul sesizează obiectul de reflexie și Beta ( $\beta$ ) este jumătate din unghiul de deschidere a conului sonarului.

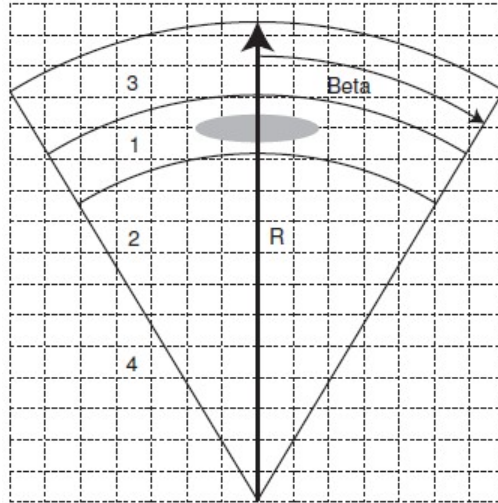


Figura 4 Regiunile de operare ale sonarului

- Regiunea 1 conține acele elemente de mediu care sunt cel puțin parțial ocupate.
- Regiunea 2 conține acele elemente de mediu care sunt probabil toate vide.
- Regiunea 3 conține acele elemente din mediu cu stare incertă pentru că sunt aflate în spatele obiectelor care reflectă unda generată de sonar.
- Regiunea 4 conține elemente despre care nu există informație din punctul de vedere al sistemului senzorial cu sonare.

Într-un scenariu tipic pentru o anumită citire de la sonar, elementele din regiunea 2 sunt mai probabil goale decât elementele din regiunea 1, citirile fiind mai corecte pentru elementele aproape de axa acustică față de elementele aflate la extremitățile conului sonarului. În continuare este introdus conceptul de matrice de ocupare pentru maparea mediului.

## 2.2 Matrici de ocupare

Matricile de ocupare sunt o abordare foarte utilizată în robotică. O matrice de ocupare este o reprezentare probabilistică finită a informației spațiale a robotului. Updateul matricii de ocupare se realizează cu informație (de corecție) de la sonare și astfel se creează permanent o reprezentare îmbunătățită a mediului de operare a robotului. Un aspect interesant se referă la faptul că harta încorporează informație eterogenă de la diferite tipuri de senzori. Matricea finală va conține reprezentarea regiunilor probabil ocupate, a regiunilor probabil goale și a zonelor necunoscute. Această reprezentare poate fi utilizată și pentru operare în mod de explorare, localizare, planificarea mișcării, identificarea landmark-urilor și ocolirea obstacolelor.

Hărțile bazate pe matrici (grile) sunt formate dintr-un set de celule, a căror dimensiune este definită conform utilizării hărții, de exemplu celule pătrate de latură 1. În timpul construirii hărții informația utilă este asociată cu fiecare celulă. În cadrul hărților bazate pe matrici de ocupare informația asociată cu fiecare celulă este corelată cu gradul de ocupare a regiunii din mediu corespunzătoare celulei, informația fiind obținută din perspective diferite (de la senzori diferenți), [12]. Nu se realizează nicio presupunere privind tipul trăsăturilor mediului. Abordarea prezentată în această lucrare va folosi matricile de ocupare pentru implementarea unei metode de mapare a mediului bazată pe sonare, care este o metodă promovată și dezvoltată inițial de Alberto Efes în anii 1990. Acesta a propus algoritmi de mapare și navigație bazați pe informația de la sonare și a utilizat matricile de ocupare pentru a obține o reprezentare stochastică spațială pentru percepția activă a roboților mobili, [13].

În continuare sunt prezentate aspecte privind modul în care sunt utilizate matricile de ocupare (creare, update) pentru maparea mediului bazată pe sonare. Astfel pentru prima etapă, de creare a hărții, se utilizează informația de la sonare. Această informație este interpretată utilizând profile de probabilitate pentru a determina zonele ocupate și goale din mediu. Apoi aceasta informație este modelată de profilele de probabilitate care sunt proiectate într-o hartă bi-dimensională. Informația ce provine de la alte tipuri de senzori este integrată în harta generată cu ajutorul sonarelor. Important de menționat este faptul că nu se utilizează o hartă cunoscută apriori, ci este construită incremental în contextul în care locația robotului este presupusă ca fiind cunoscută cu exactitate. În figura următoare este redat sintetic modul de funcționare împreună cu procesarea specifică din spatele metodei.

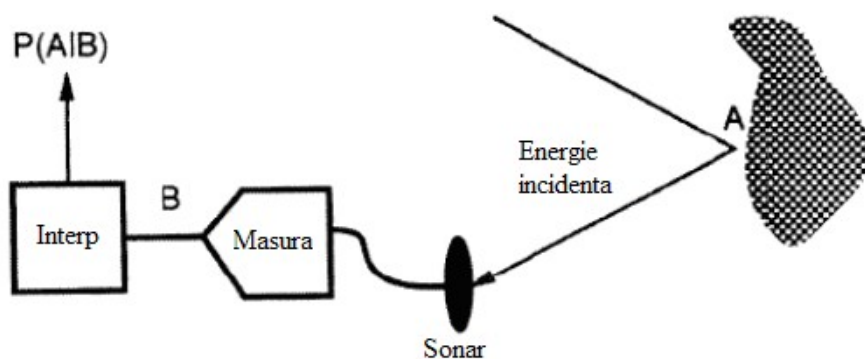


Figura 5 Modul de funcționare împreună cu procesarea specifică din spatele metodei

După emiterea undei de o anumită frecvență de către sonar se recepționează unda reflectată din obiect. Energia incidentă este preluată de membrana sonarului care determină o valoare de măsură (distanță, timp) care prin interpolare oferă informație necesară pentru construirea

Capitolul 2 - Descrierea formală a conceptelor implicate în dezvoltare : Maparea și localizarea în mediu necunoscut probabilității. Următoarea imagine ilustrează legătura între probabilitățile calculate și operarea sonarului.

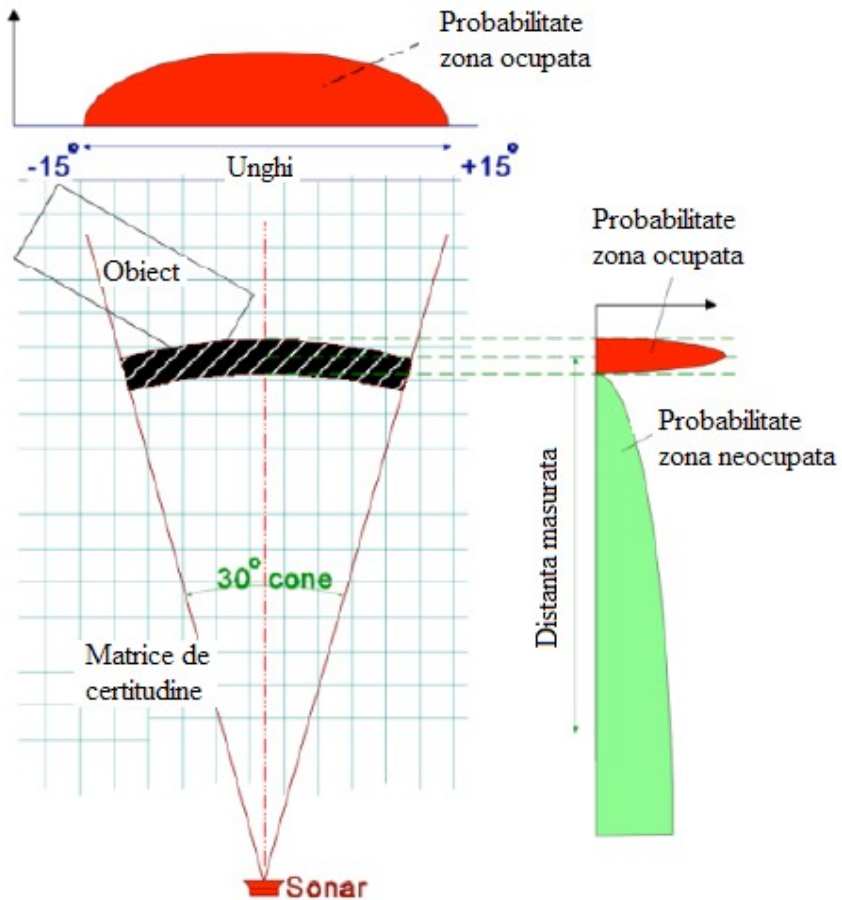


Figura 6 Legătura între probabilitățile calculate și operarea sonarului

Se poate observa că obstacolul poate fi oriunde pe arcul delimitat la o anumită distanță, în timp ce spațiul mai mic decât distanța respectivă este probabil neocupat. În matricea de ocupare finală fiecare celulă conține statusul său de ocupare (ocupată, liberă, necunoscut) cu un factor de certitudine asociat, [11]. Harta finală va fi generată din două mulțimi separate de date derivate din probabilitățile de distribuție pentru celulele ocupate și libere care sunt obținute prin compararea puterii valorilor de liber/ocupat.

Compunerea informației din mai multe citiri de la senzori presupune mai multe etape care sunt descrise în continuare, [10] :

Initializarea : harta este setată ca necunoscută

Suprapunerea zonelor libere : Se calculează probabilitatea pentru fiecare citire de la senzori,

$$p_{liber}(celula) = p_{liber}(celula) + p_{liber}(masura) - p_{liber}(celula) * p_{liber}(masura), \quad (6)$$

Suprapunerea zonelor ocupate : Se calculează probabilitatea pentru fiecare citire de la senzori

și se normalizează,  $p_{ocupat}(masura') = p_{ocupat}(masura)(1 - p_{ocupat}(celula))$ , (7) și

$$p_{ocupat}(celula) = p_{ocupat}(celula) + p_{ocupat}(masura') - p_{ocupat}(celula) * p_{ocupat}(masura'), \quad (8).$$

Calculul pragurilor : Se propagă două hărți, cu celulele ocupate și respectiv celulele libere, valoarea finală a unei celule fiind obținută prin compararea puterii relative a valorilor pentru celula liberă sau ocupată. Citirile sunt proiectate pe o matrice bi-dimensională (grid).

În continuare sunt redate câteva elemente specifice procesării citirilor de la sonare ilustrate prin imagini edificatoare pentru cazurile care apar în realitate, înainte și după terminarea execuției algoritmului (diferențe consistente la ultima etapă de aplicare a pragurilor - thresholding).

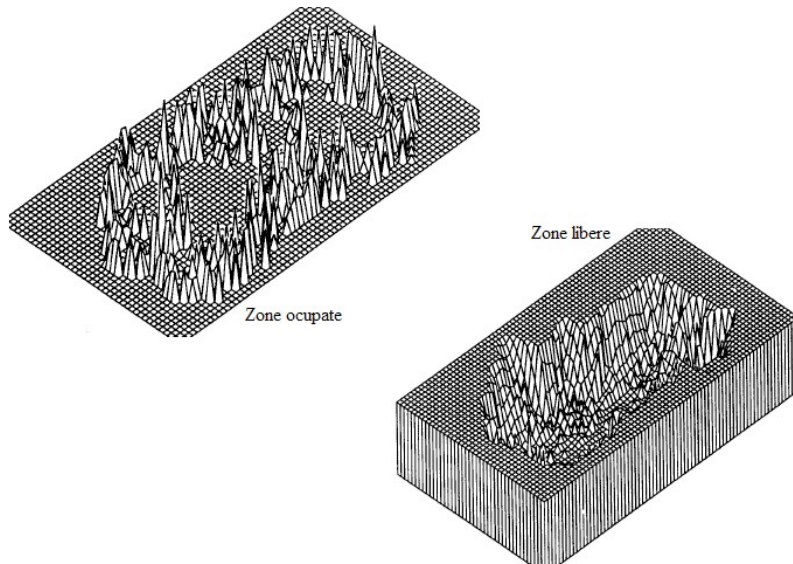


Figura 7 Densități de probabilitate înainte de execuția algoritmului

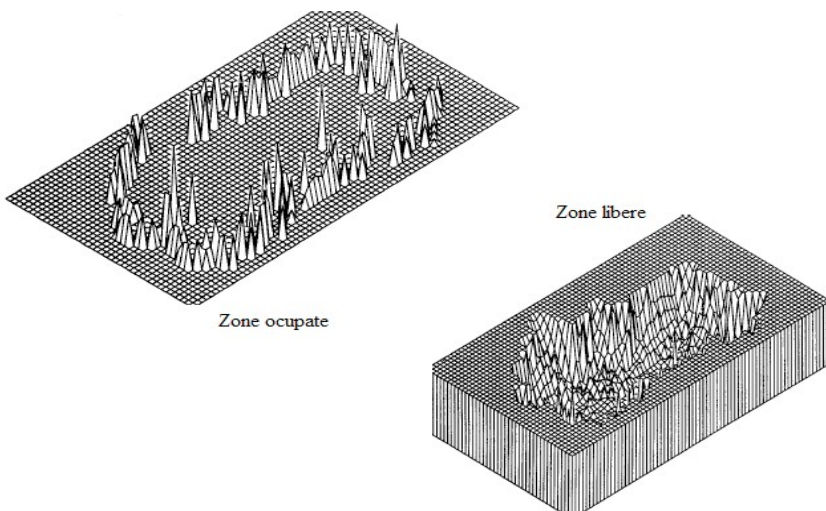


Figura 8 Densități de probabilitate după thresholding

Capitolul 2 - Descrierea formală a conceptelor implicate în dezvoltare : Maparea și localizarea în mediu necunoscut  
Maparea cu matrici de ocupare este considerată o metodă extrem de robustă și ușor de implementat, cel mai mare dezavantaj fiind lipsa unei metode pentru a trata incertitudinea din poziția robotului. Un alt aspect se referă la influența zgomotului de măsură de la senzori care pot determina obținerea de hărți invalide, fapt care se poate realiza ușor prin filtrări și desconsiderarea citirilor în timpul staționării robotului, [13].

În continuare sunt redați pașii de particularizare a metodei generale pentru problema abordată în lucrare. Se vor surprinde aspecte precum updateul matricii de ocupare, fuziunea Bayes a senzorilor și implicațiile în localizare. După cum am menționat anterior există multe metode de a converti informația de la senzori în valori numerice care să contribuie la updateul matricii de ocupare. Una din cele mai cunoscute metode, care a fost abordată și în lucrarea de față, este fuziunea Bayes a senzorilor.

### 2.3 Fuziunea senzorilor pentru rafinarea matricii de ocupare

Fuziunea Bayes a senzorilor este o metodă care presupune conversia măsurătorilor de la senzori în probabilități condiționate de forma  $P(s|H)$ , probabilitatea ca o citire, s, a senzorului să aibă loc, în contextul în care o celulă din matricea de ocupare este ocupată (ipoteza H). Modelul sonarului utilizat în această abordare pornește de la modelul generic și utilizează următoarele funcții pentru a calcula probabilitatea pentru fiecare celulă a matricii care se află la o distanță r și un unghi α față de axa acustică a sonarului. Astfel, pentru fiecare regiune definită anterior se exprimă funcțiile de probabilitate, după cum urmează.

Pentru elementele din regiunea 1 :

$$P(\text{ocupat}) = \frac{\left(\frac{R-r}{R}\right) + \left(\frac{\beta-\alpha}{\beta}\right)}{2} \text{Max}_{\text{ocupat}}, \quad (10)$$

$$P(\text{liber}) = 1 - P(\text{ocupat}), \quad (11)$$

Pentru elementele din regiunea 2 :

$$P(\text{ocupat}) = 1 - P(\text{liber}), \quad (12)$$

$$P(\text{liber}) = \frac{\left(\frac{R-r}{R}\right) + \left(\frac{\beta-\alpha}{\beta}\right)}{2}, \quad (13)$$

Semnificația variabilelor este următoarea : R – distanță maximă sesizabilă de către sonar, β - este jumătate din unghiul conului sonarului. Termenii  $\frac{R-r}{R}$  și  $\frac{\beta-\alpha}{\beta}$  pun în evidență faptul

Capitolul 2 - Descrierea formală a conceptelor implicate în dezvoltare : Maparea și localizarea în mediu necunoscut că elementele aflate mai aproape de axa acustică a sonarului sau mai aproape de originea pulsului sonarului au probabilități mai mari decât elementele de la extremități.

După cum am menționat anterior aceste probabilități sunt proiectate în matricea de ocupare funcție de poziția și orientarea sonarului și apoi sunt combinate cu informația spațială existentă a matricii utilizând fuziunea Bayes a senzorilor.

Modelul sonarului descrie lucrul cu probabilități condiționate de forma  $P(s|H)$  însă probabilitățile  $P(H|s)$  (probabilitatea ca o celulă a matricii de ocupare să fie ocupată pentru o citire s a sonarului) sunt mai importante în problema abordată. Conform regulii lui Bayes se poate considera că :

$$P(H | s) = \frac{P(s | H)P(H)}{P(s | H)P(H) + P(s | \neg H)P(\neg H)}, \quad (14)$$

Utilizând apoi notațiile din modelul senzorului definit anterior putem scrie această relație după cum urmează.

$$P(\text{ocupat} | s) = \frac{P(s | \text{ocupat})P(\text{ocupat})}{P(s | \text{ocupat})P(\text{ocupat}) + P(s | \text{liber})P(\text{liber})}, \quad (15)$$

În relația anterioară probabilitățile  $P(\text{ocupat})$  și  $P(\text{liber})$  reprezintă ipoteza necondiționată despre starea unei celule a matricii. În cazul în care există informație disponibilă despre mediul de operare se poate considera o valoare de inițializare, de exemplu  $P(\text{ocupat})=P(\text{liber})=0.5$ . Pornind de la ecuația 14 și considerând mai multe citiri aceasta devine

$$P(H | s_1, s_2, \dots, s_n) = \frac{P(s_1, s_2, \dots, s_n | H)P(H)}{P(s_1, s_2, \dots, s_n | H)P(H) + P(s_1, s_2, \dots, s_n | \neg H)P(\neg H)}, \quad (16).$$

Această reprezentare are însă o problemă în ceea ce privește monitorizarea tuturor schimbărilor de valoare pentru toți senzorii, întrucât nu se cunoaște numărul de updateuri pentru fiecare celulă a matricii de ocupare. Soluția este utilizarea relației  $P(H|s)P(s)=P(s|H)P(H)$  și astfel ecuația 16 devine

$$P(H | s_n) = \frac{P(s_n | H)P(H | s_{n-1})}{P(s_n | H)P(H | s_{n-1}) + P(s_n | \neg H)P(\neg H | s_{n-1})}, \quad (17)$$

Astfel, în noua reprezentare doar valoarea anterioară a probabilității pentru celula respectivă,  $P(H | s_{n-1})$  va fi considerată și va fi salvată pentru a asigura update-ul în iterațiile următoare.

Capitolul 2 - Descrierea formală a conceptelor implicate în dezvoltare : Maparea și localizarea în mediu necunoscut  
O reprezentare 3D a modelului sonarului pentru fuziunea Bayes a senzorilor este redată în continuare.

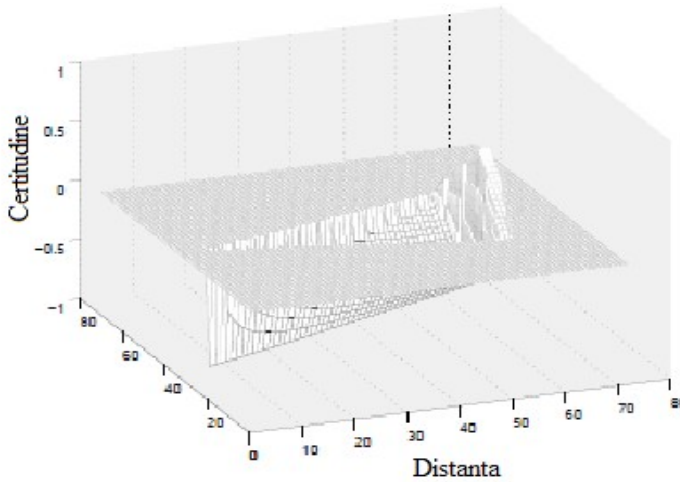


Figura 9 Reprezentare 3D a modelului sonarului pentru fuziunea Bayes a senzorilor

Se poate observa astfel că valorile certitudinii sunt mai mari aproape de poziția sonarului și mai aproape de axa acustică a sonarului. În continuare sunt redate aspecte privind localizare și odometrie și implicațiile directe în maparea mediului.

#### 2.4 Odometria și localizarea continuă

Pentru a realiza majoritatea taskurilor un robot mobil trebuie să își cunoască poziția în mediul de operare. Localizarea este procesul de update a poziției robotului utilizând informația de la sonare. Există mai multe tehnici de localizare, clasificate în 3 categorii, [12] :

- Localizarea bazată pe comportament : se bazează pe acțiunile robotului în mediu pentru a naviga (ex.: Follow-Right-Wall);
- Localizarea bazată pe trăsături : se bazează pe identificarea unor puncte din mediu, care au fost prestatibile, esența algoritmului constând în a extrage cât mai eficient trăsăturile mediului;
- Identificarea cu informație densă de la senzori : nu are nevoie de recunoașterea obiectelor, utilizând orice informație senzorială pentru a o potrivi cu harta suprafeței mediului (matricea de ocupare).

În continuare sunt redate aspecte privind odometria. Astfel, se consideră că majoritatea roboților mobili și a vehiculelor autonome utilizează codurile pentru a determina distanța parcursă utilizând numărul de impulsuri obținute prin rotația axului encoderului solidar cu roata robotului. O problemă majoră o reprezintă efectul erorilor asupra odometriei. Se

Capitolul 2 - Descrierea formală a conceptelor implicate în dezvoltare : Maparea și localizarea în mediu necunoscut  
 consideră ca există două tipuri de erori, sistematice și ne-sistematice. Erorile sistematice provin din măsurătoarea inexactă a dimensiunii roților sau plasarea nepotrivită a roților. Erorile ne-sistematice sunt generate de elemente externe structurii robotului, suprafața de contact, alunecările și schimbările bruse de direcție determinând o acumulare a erorii.

Multe metode localizare încearcă să modeleze eroarea de odometrie sau să realizeze re-localizare doar după detecția unei erori de odometrie majore. Pentru a elimina problemele de latență în algoritmi, a fost dezvoltată abordarea localizării continue (Schulz și al.). Această tehnică utilizează faptul că erorile de poziționare de la encodare se acumulează în timp. Localizarea continuă încearcă astfel să efectueze mici corecții de poziționare la intervale de timp mici în locul unor corecții majore mai rare. La baza metodelor de localizare continuă se află crearea unor hărți temporare ale mediului sub forma unor matrici de ocupare pe termen scurt care se bazează pe informație senzorială, [13]. Aceste hărți pe termen scurt sunt construite la intervale scurte de timp și astfel se poate considera că conțin un număr relativ mic de erori de odometrie. Procesul de localizare continuă poate fi sintetizat în următoare ilustrație.

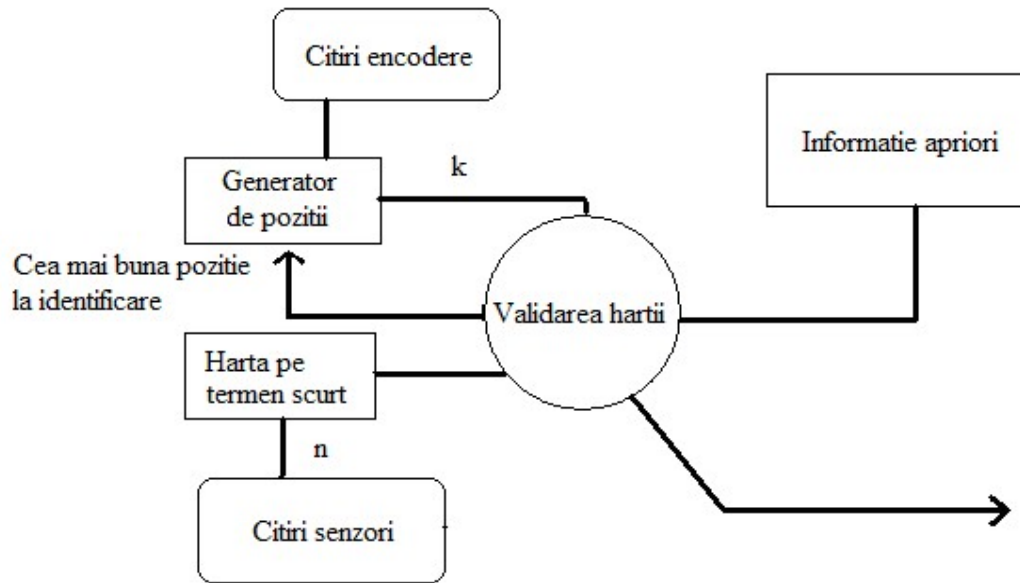


Figura 10 Metoda localizării continue

La fiecare localizare,  $n$  citiri ale senzorilor sunt fuzionate pentru a obține harta temporară, pe termen scurt. Parametrul  $n$  definește o valoare de ponderare specifică echipamentului de achiziție de date. În momentul în care o hartă parțială, pe termen scurt, conține destulă informație despre mediu are loc validarea hărții. În această etapă se compară harta pe termen scurt cu informația apriori disponibilă despre mediu, harta pe termen lung, astfel putem

Capitolul 2 - Descrierea formală a conceptelor implicate în dezvoltare : Maparea și localizarea în mediu necunoscut  
consideră că performanțele și calitatea acestui algoritm depind de completitudinea și corectitudinea informației apriori. Prin respectarea acestor condiții se poate obține o reducere a erorii de odometrie până la o valoare constantă, metoda aratându-și eficiența și în cazul în care nu există informație spațială inițială.

Procesul de validare a hărții este o etapă decisivă a algoritmului. Bazându-se pe informația din harta pe termen scurt aceasta poate determina suprapunerea multiplă cu harta pe termen lung. Pentru a limita posibilitatea apariției de identificări eronate se limitează căutarea la un număr de  $k$  poziții probabile. Generatorul de poziții are rolul de a implementa o funcție ce generează un set de  $k$  poziții posibile dată fiind poziția posibilă a robotului și navigație în mediu în durata de viață a unei hărți pe termen scurt. Pentru fiecare din aceste  $k$  poziții identificarea este realizată prin suprapunerea hărții pe termen scurt centrată pe poziția  $k$  peste harta pe termen lung. Identificarea este apoi apreciată într-un scor, obținut prin calculul sumei diferenței între elementele comune celor două hărți, după cum urmează

$$\sum | HG[i][j] - HTS[i][j] |, \quad (18)$$

unde HG – harta globală, pe termen lung și HTS – harta pe termen scurt, parțială.

Pozitia robotului este actualizată prin selecția celui mai bun rezultat la identificare (matching) din pozițiile generate de modulul de generare a pozițiilor. Prin combinarea cu maparea mediului, localizarea continuă presupune o îmbinare completă a hărții pe termen scurt cu cea pe termen lung pentru fiecare poziție  $k$ .

În acest capitol au fost prezentate detalii privind conceptele implicate în dezvoltare, accentul căzând nu pe descriere formală ci pe descrierea problemelor specifice și a modului în care acestea sunt rezolvate în abordarea propusă de lucrarea de față.

# **Capitolul 3**

**Descrierea platformei robotice și a aplicației de control distribuit ca suport pentru modulul de mapare a mediului**

### 3. Descrierea platformei robotice și a aplicației de control distribuit ca suport pentru modulul de mapare a mediului

Sistemul robotic dezvoltat este o platformă mobilă cu două roți motoare antrenate de 2 motoare de curent continuu, cu reductor și o roată pasivă directoare de tip castor. Șasiul a fost construit din aluminiu pentru a reduce masa totală dar și pentru a conferi robustețe întregii structurii. În continuare sunt prezentate câteva imagini ale robotului mobil în diferite faze de construcție.

#### 3.1 Descrierea structurii hardware a robotului mobil

**Prima fază :** proiectarea CAD a șasiului și caroseriei robotului mobil

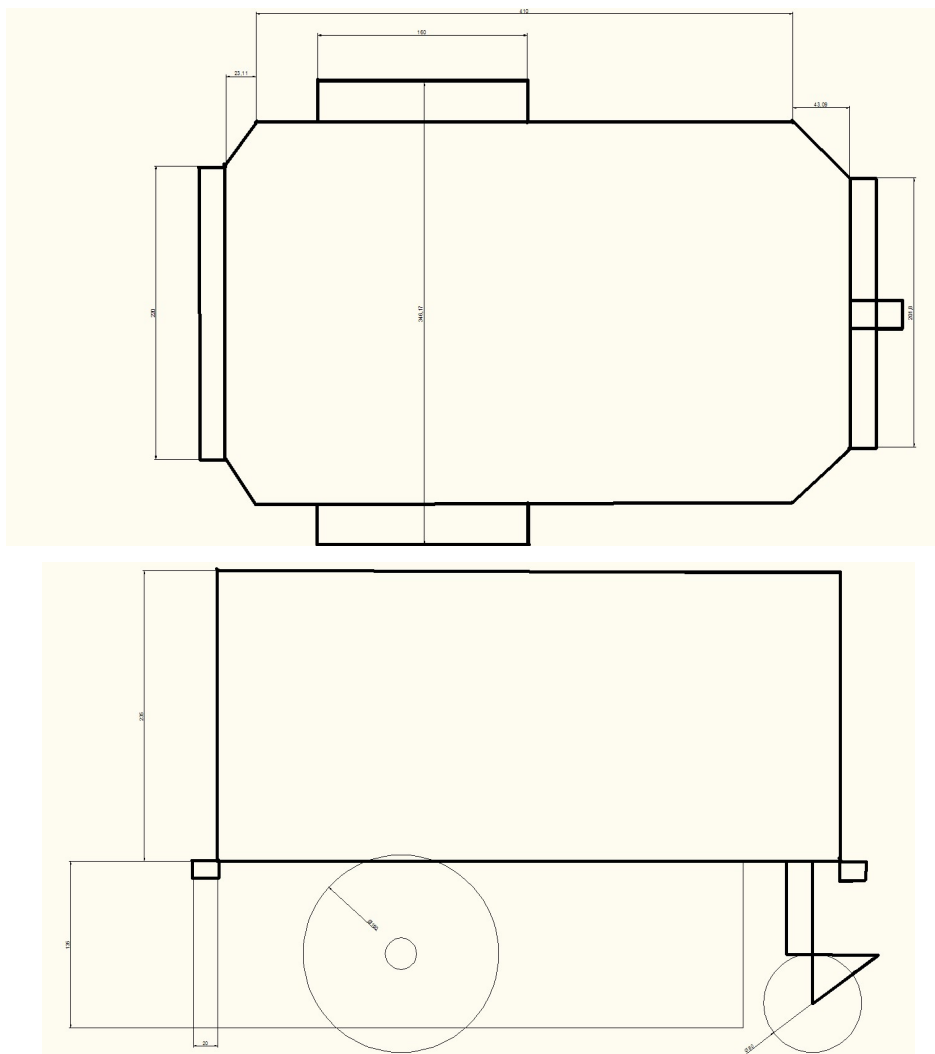
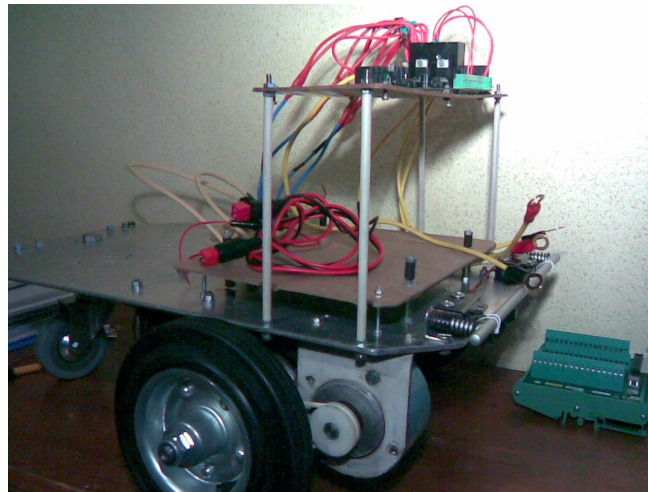


Figura 11 Proiectarea CAD a șasiului și caroseriei robotului mobil

**Faza a 2 a :** șasiul robotului mobil și subsistemul de locomoție cu cele două motoare de curent continuu, coderele și bumperele



**Faza a 3 a :** subsistemul electronic, circuitele de electronică de putere și unitatea de procesare

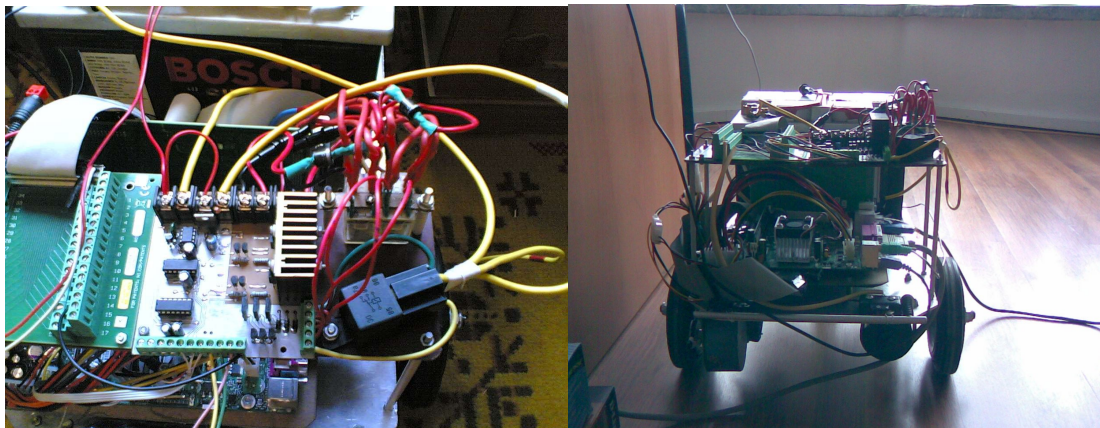
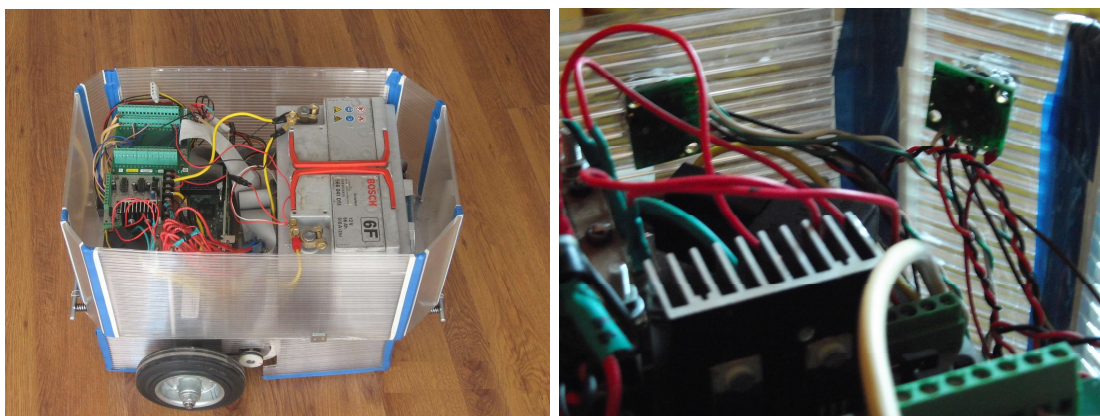


Figura 14 Etape intermediare în dezvoltarea platformei robotice

**Faza a 5 a :** structura finală



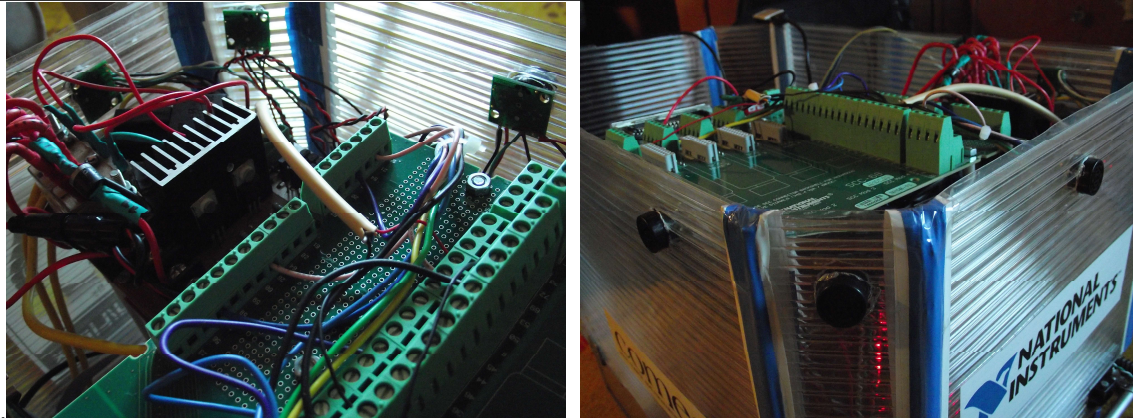


Figura 15 Robotul mobil

Motivul alegerii structurii de robot mobil diferențial cu 2 roți motoare și una directoare provine din faptul că această structură de robot este simplă, o structură minimală ușor de proiectat și implementat și mai ales ușor de modelat, [15].

#### Nivelul actuatorilor

În continuare sunt prezentate câteva aspecte privind subsistemul de locomoție a robotului. Astfel, în cazul locomoției cu ajutorul roților trebuie ținut seama de anumite aspecte foarte importante, cum ar fi stabilitatea, manevrabilitatea și controlabilitatea. Stabilitatea se referă la aspecte care privesc numărul și geometria punctelor de contact cu suprafața de operare, localizarea centrului de greutate și a centrului geometric, analiza stabilității în regim static și dinamic, analiza gradului de înclinare, profilul ariei de contact, unghiului de contact și tipul de frecare cu suprafața de operare a robotului, [16]. Primul nivel al sistemului de locomoție îl reprezintă roțile. Cele două roți motoare ale robotului sunt prevăzute cu jante din aluminiu și suprafață de rulare de cauciuc pentru a diminua efectele alunecărilor. Diametrul roților este de 160 mm și suportă sarcini de până la 140 de kg. Roata pasivă de tip castor are diametrul de 75mm și poate suporta o sarcină de până la 55 de kg .



Figura 16 Tipurile de roți utilizate la construcția robotului

Următoarea componentă a subsistemului de locomoție sunt cele două motoare de curent continuu cu reductor ce asigură un cuplu suficient pentru deplasarea robotului la viteze acceptabile, luând în considerare și sarcina totală care se ridică la o valoare de 25 kg. Motoarele de curent continuu bi-direcționale ale producătorului Bosch au tensiunea de alimentare de 12V, puterea nominală de 40W și un curent maxim de 15A (în sarcina maximă). Viteza nominală este de  $151 \text{ min}^{-1}$  și un cuplu continuu de 2,5Nm utilizând un raport de reducție de 52:2, [17]. În figură sunt redate caracteristicile motoarelor.

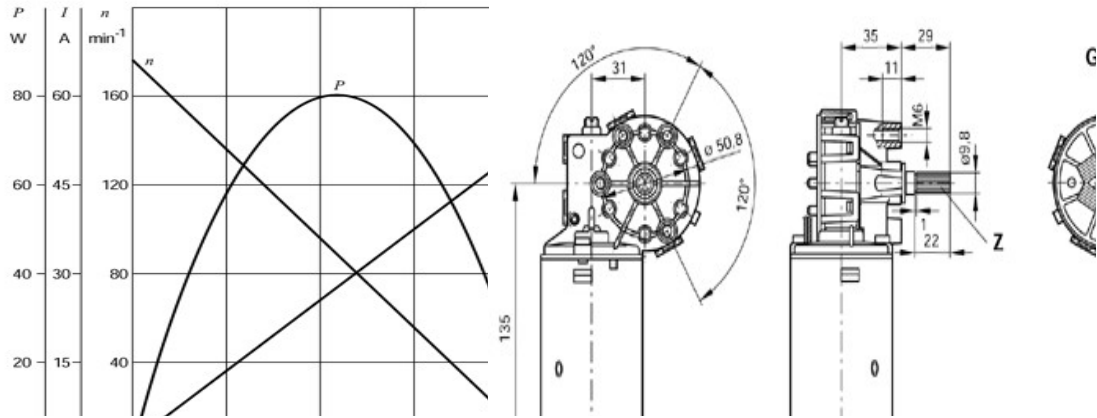


Figura 17 Caracteristicile motoarelor de curent continuu

Comanda motoarelor de curent continuu se realizează prin semnal PWM, generat de driverul de putere (punte H) care primește de la placa de achiziție un semnal analogic (tensiune în intervalul 0-5V) și generează la ieșire un semnal modulat cu factor de umplere variabil, [18]. Schema electronică și conectica plăcii driverului de putere pentru comanda motoarelor de curent continuu.

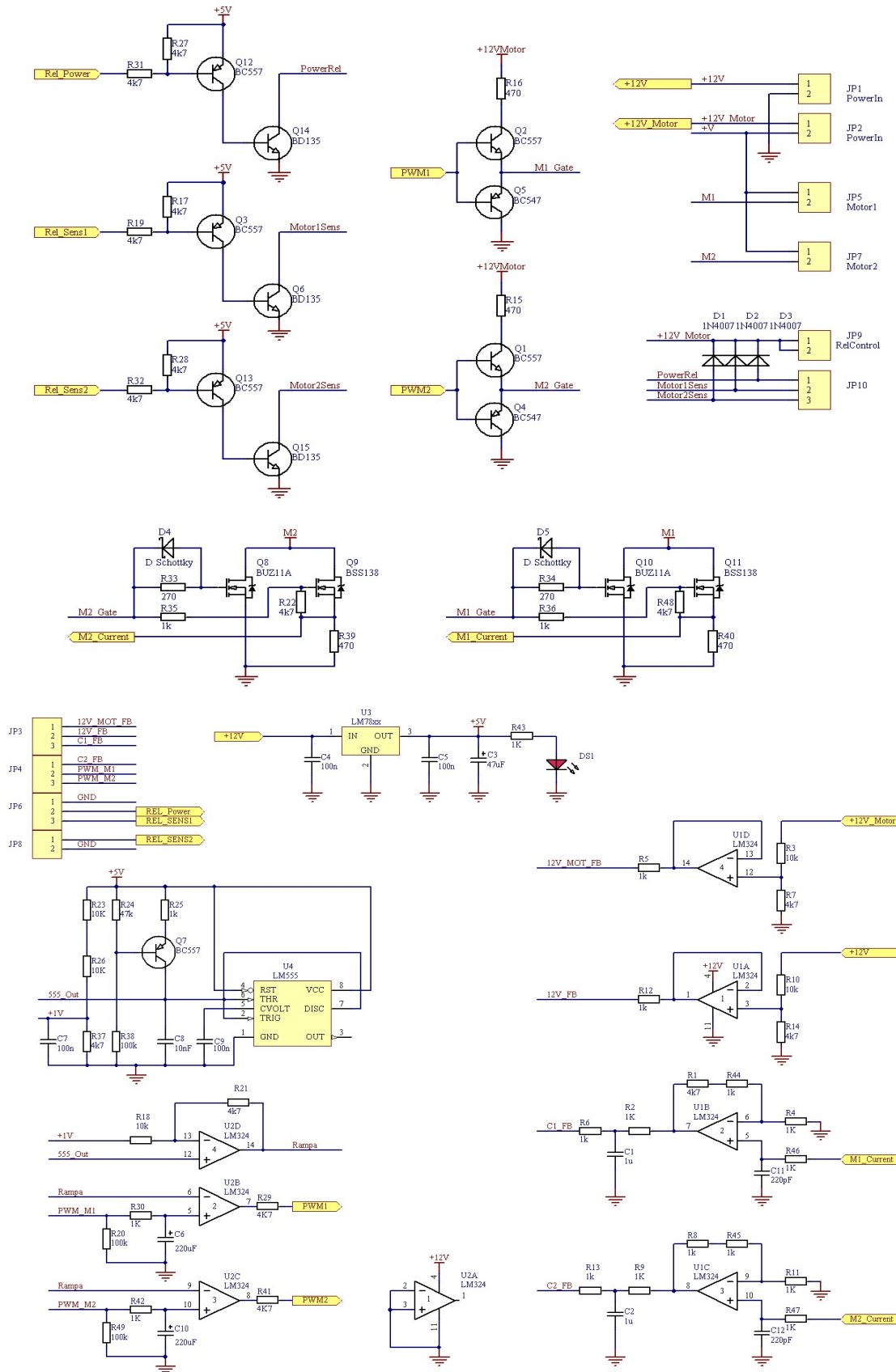


Figura 18 Schema driverului de putere pentru comanda motoarelor de curent continuu

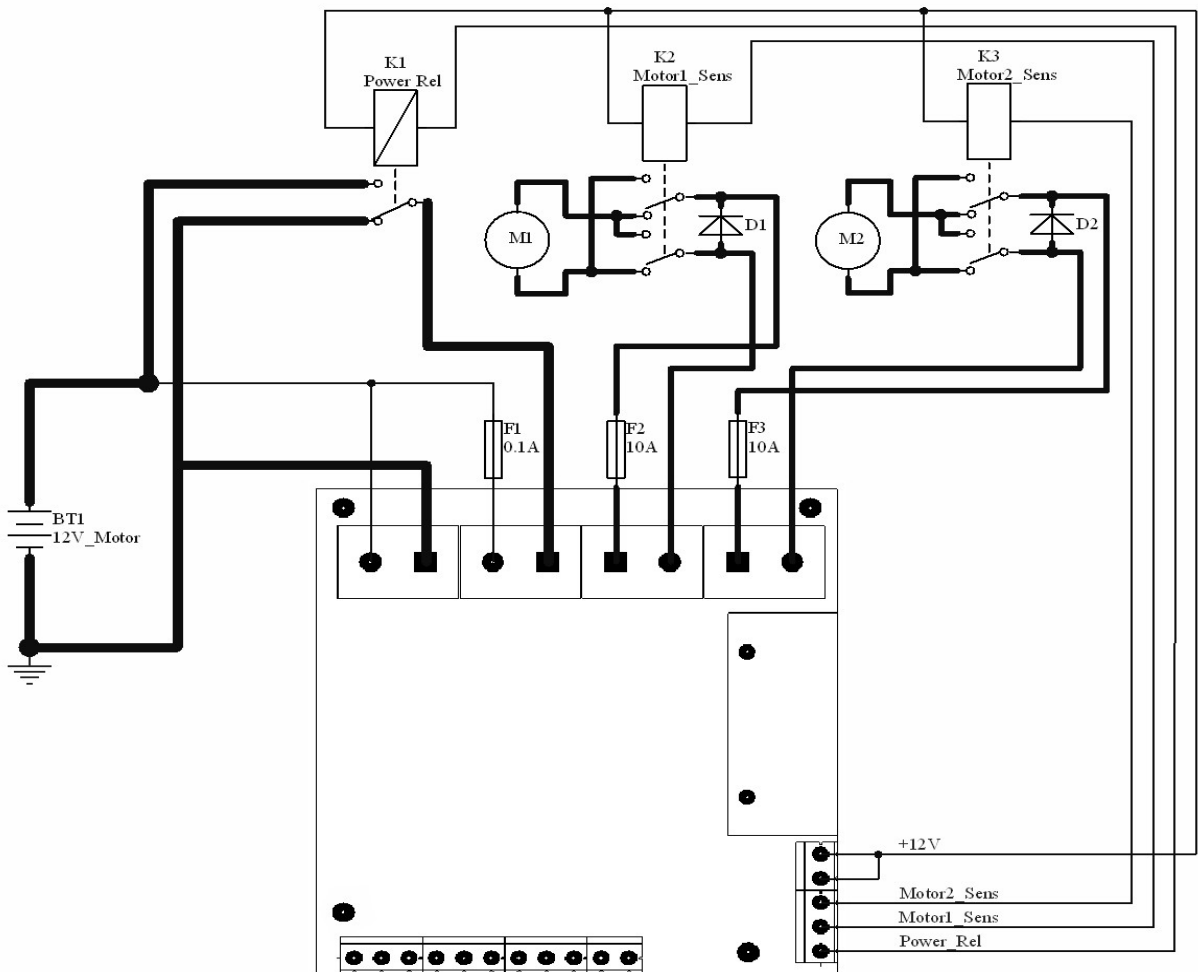


Figura 19 Conecția driverului de putere pentru comanda motoarelor de curent continuu

### Nivelul senzorial

Percepția în cazul roboților mobili este realizată de un sistem senzorial, format din mai mulți senzori a căror informație este fuzionată și utilizată la localizare și control. Structura de robot mobil diferențial dezvoltată este structura minimală care permite operarea robotului în regim de trajectory tracking (urmărirea unei curbe parametrizate cu restricții de timp). Sistemul senzorial al robotului dezvoltat cuprinde două encodere, pentru poziționare (odometrie) și două bumpere. Bumperele sunt cel mai des întâlnit tip de senzori de contact, fiind reprezentate prin simple contacte care dau la ieșire o valoare binară corespunzătoare stării curente, determinând o acțiune de frânare de urgență la contact. Encoderele sunt senzori de stare internă utilizati pentru implementarea sistemului odometric, care returnează poziția robotului, [16]. Encoderele incrementale Telemecanique (figura 10), dău la ieșire 500

Capitolul 3 - Descrierea platformei robotice și a aplicației de control distribuit impulsuri pe revoluție și utilizează o tensiune de alimentare de 5V semnalul de ieșire fiind direct preluat de intrarea în placă de achiziție dotată cu rezistori de pull-up.

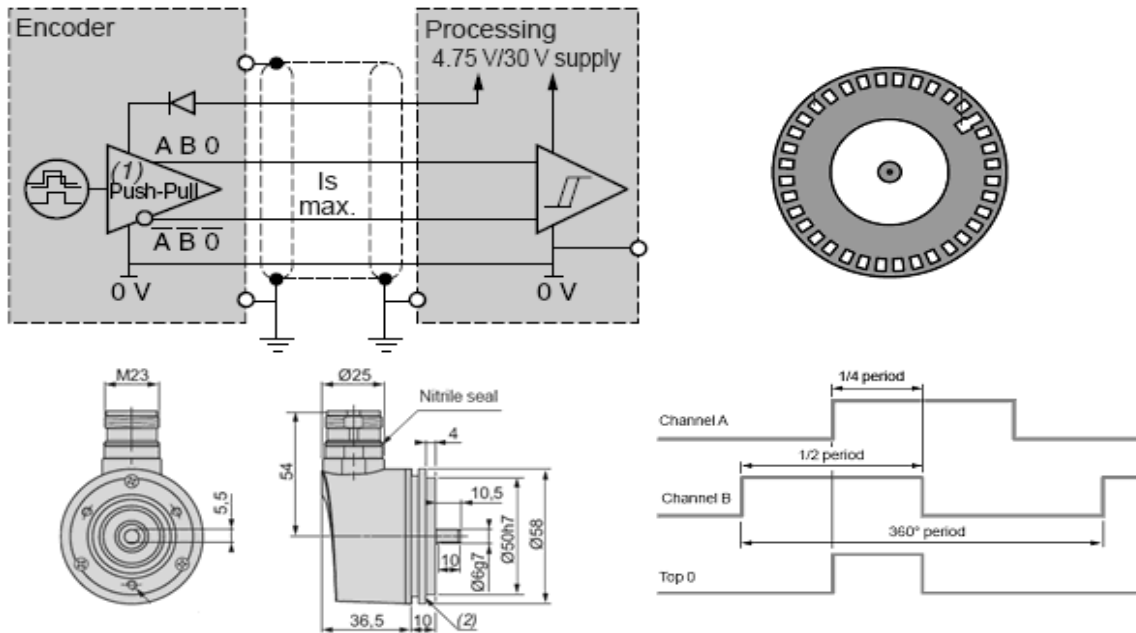


Figura 20 Prezentarea encoderelor și modul de funcționare

Robotul prezintă o platformă bazată pe un procesor Intel ATOM D525 Dual Core și o placă de bază ASUS AT5NM10-I Mini ITX standard cu 1GB de memorie RAM și capacitatea de stocare 160GB. Interfața cu hardwareul a aplicației se realizează printr-o placă de achiziție de date PCI NI 6024E care este o placă multifuncțională I/O. Din capacitățile sale de I/O amintim 16 intrări analogice single-ended (sau 8 diferențiale), convertor ADC cu aproximări succesive de 12 biți rata de eșantionare maximă garantată fiind de 220kS/s; două ieșiri analogice la o rezoluție DAC (double-buffered, multiplicator) de 12 biți și o gamă de valori între +/- 10V pentru tensiunile de ieșire; 8 canale I/O digitale, programabile și 2 timere/countere de uz general de 24 de biți.

#### Nivelul de comunicație

Roboții mobili trebuie să posede capacitați de comunicare fie cu alții roboți din mediu fie cu un operator uman, pentru a raporta dacă o anumită sarcină dată a fost îndeplinită cu succes sau nu și pentru a transmite informații de stare. Tehnologiile WiFi sunt deja răspândite în domeniul calculatoarelor personale și oferă un suport complet de integrare al roboților în rețelele de calculatoare, [17]. O problemă a acestor tehnologii ar fi faptul că sunt consumatoare

de energie, lucru care nu este prielnic robotului mobil. Eliminând problema energiei consumate, tehnologiile Bluetooth oferă servicii similare cu dispozitivele WiFi, însă distanța maximă admisibilă între emițător și receptor este mult mai mică decât în cazurile celorlalte tehnologii. În momentul de față, tehnologiile Bluetooth se folosesc în interiorul clădirilor sau în laborator, unde distanța maximă fără repetor este de maxim 20m. În cazul robotului dezvoltat am ales utilizarea unui modul de comunicație wireless pe portul USB care are încorporat un chipset (Ralink RT73) ce realizează preluarea pachetelor TCP/IP emise de aplicația de control utilizând facilitățile stivei implementate în sistemul de operare și împachetează apoi informația (date și comenzi) în pachete compatibile cu standardul 802.11b/g la o viteză maximă de 54Mbps pentru comunicarea cu clienții aplicației distribuite conectat la un router wireless.

### Modelul cinematic al robotului

Modelul cinematic al robotului cuprinde analiza din punct de vedere geometric a robotului redând acele ecuații ce pun în evidență legătura între mărimile de control și comportamentul robotului în spațiu. Pentru a analiza cinematica robotului mobil trebuie studiate constrângerile impuse de roțile robotului. Astfel pe durata determinării modelului cinematic pentru un robot mobil se consideră robotul ca fiind un corp rigid cu roți ce se deplasează în plan orizontal. Gradul maxim al modelului cinematic este astfel 3, două grade pentru poziția în plan și un grad pentru orientarea de-a lungul axei verticale care este ortogonală pe plan, [15]. Pentru a putea determina poziția robotului mobil în plan trebuie să stabilim o relație între sistemul de referință global (sau inerțial) al planului și sistemul de referință al robotului. Axele  $X_i$  și  $Y_i$  definesc sistemul de referință global, iar  $\{X_r, Y_r\}$  este sistemul de referință al robotului care se alege într-un punct P de pe șasiu, de fapt fiind centrul de rotație al robotului. Poziția punctului P în sistemul de referință global este dată de coordonatele  $(x, y)$  și de diferența unghiulară dintre sistemul de coordonate global și sistemul de coordonate a robotului, notat  $\theta$ . Poziția robotului se poate scrie ca un vector de trei elemente  $\xi_i = [x \ y \ \theta]^T$  și pentru a descrie mișcarea robotului este necesar să transformăm mișcarea din sistemul de referință global în mișcare de-a lungul sistemului de referință al robotului, [18]. În figură este redată reprezentarea robotului în plan pentru analiza cinematică.

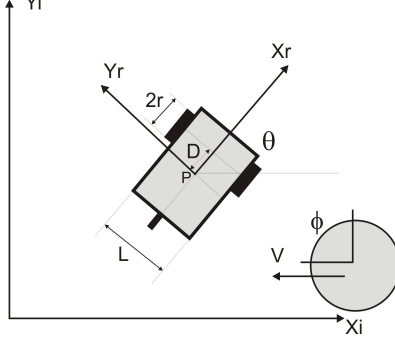


Figura 21 Reprezentarea robotului pentru analiza cinematică

Relația de transformare între cele două sisteme de referință se poate realiza utilizând ecuația prezentată în continuare,

$$\dot{\xi}_R = R(\theta) \dot{\xi}_I = R(\theta) \begin{bmatrix} \dot{x} \\ \dot{y} \\ \dot{\theta} \end{bmatrix}, R = \begin{bmatrix} \cos \theta & \sin \theta & 0 \\ -\sin \theta & \cos \theta & 0 \\ 0 & 0 & 1 \end{bmatrix}, \quad (19)$$

Cunoscând viteza robotului data de  $\dot{\xi} = [\dot{x} \dot{y} \dot{\theta}]^T$ , (20), care poate fi definită de viteza de rotație a roții  $\dot{\phi}$ , unghiul direcției  $\beta_i$ , viteza unghiulară  $\dot{\beta}_i$  și de parametrii geometrici ai robotului putem obține descrierile pentru cinematica directă în ecuația următoare,

$$\dot{\xi} = \begin{bmatrix} \dot{x} \\ \dot{y} \\ \dot{\theta} \end{bmatrix} = f(\dot{\phi}_1, \dots, \dot{\phi}_n, \beta_1, \dots, \beta_m, \dot{\beta}_1, \dots, \dot{\beta}_m), \quad (21)$$

și ecuațiile pentru cinematica inversă sunt redate în ecuațiile următoare,

$$[\dot{\phi}_1 \dots \dot{\phi}_n \beta_1 \dots \beta_m \dot{\beta}_1 \dots \dot{\beta}_m]^T = f(\dot{x}, \dot{y}, \dot{\theta}), \quad (22)$$

Cunoscând raza unei roți,  $r$ , lățimea robotului (wheel base),  $\theta$  orientarea (heading) și vitezele de rotație ale roților  $\dot{\phi}_l$ ,  $\dot{\phi}_r$  se poate obține modelul cinematic direct pentru robotul cu două roți diferențiale, descris de ecuația ce urmează,

$$\dot{\xi} = [\dot{x} \dot{y} \dot{\theta}]^T = f(L, r, \theta, \dot{\phi}_l, \dot{\phi}_r), \quad (23)$$

Putem determina mișcarea robotului în coordonatele sistemului de referință global funcție de coordonatele sistemului de referință local, prin inversa matricii de transformare  $R(\theta)$ . Se pornește cu calculul mișcării fiecărei roți în sistemul de coordonate local și apoi translatăm ecuațiile găsite în sistemul de coordonate global, [18]. Contribuțiile fiecărei roți la viteza de translație a punctului P pe direcția  $Xr$  sunt

$$\dot{x}_r = R\varphi_r, \dot{x}l = R\varphi_l, \quad (24)$$

iar viteza totală de translație a robotului este

$$v_R = \frac{\nu_l + \nu_r}{2}, \quad (25)$$

Contribuțiile fiecărei roți la viteza unghiulară a robotului sunt descrise de ecuațiile ce urmează,

$$\omega_l = 2r\varphi_l/L, \omega_r = 2r\varphi_r/L, \quad (26)$$

viteza unghiulară totală a robotului fiind dată de următoarele ecuații echivalente ,

$$\dot{\theta} = \omega_l + \omega_r, \omega_R = \frac{\nu_R - \nu_L}{L}, \quad (27)$$

În final modelul cinematic al robotului mobil cu locomoție de tip diferențial poate fi redat prin următorul set de ecuații echivalente,

$$\begin{bmatrix} \dot{x} \\ \dot{y} \\ \dot{\theta} \end{bmatrix} = \begin{bmatrix} \cos\theta & -\sin\theta & 0 \\ \sin\theta & \cos\theta & 0 \\ 0 & 0 & 1 \end{bmatrix} \begin{bmatrix} r\varphi_r + r\varphi_l \\ 0 \\ 2r\varphi_l/L - 2r\varphi_r/L \end{bmatrix}, \text{ sau} \begin{cases} \dot{x} = v\cos\theta \\ \dot{y} = v\sin\theta \\ \dot{\theta} = \omega \end{cases}, \quad (28).$$

Cinematica directă ține seama de modelul geometric al robotului și de vitezele de rotație ale roților pe care le transformă în viteze globale. Înainte de trece la studiul cinematicii roților se impune prezentarea modificărilor aduse modelului cinematic generic întrucât în cazul robotului dezvoltat centrul de rotație se află translatat cu o distanță D față de poziția clasică din model, [16]. Astfel în cazul de față robotul este descris de următorul model cinematic,

$$\begin{cases} \dot{x} = v_R \cos\theta - D\omega_R \sin\theta \\ \dot{y} = v_R \sin\theta + D\omega_R \cos\theta \\ \dot{\theta} = \omega \end{cases}, \quad (29).$$

Pentru implementare se discretizează modelul de mai sus obținându-se următoarele ecuații, în care  $T_S$  este perioada de eșantionare,

$$\begin{cases} x(k+1) = x(k) + [r_r \omega_r(k) (\frac{\cos(\theta(k))}{2} - \frac{D \sin(\theta(k))}{L}) + r_l \omega_l(k) (\frac{\cos(\theta(k))}{2} + \frac{D \sin(\theta(k))}{L})] T_S, \\ y(k+1) = y(k) + [r_r \omega_r(k) (\frac{\sin(\theta(k))}{2} + \frac{D \cos(\theta(k))}{L}) + r_l \omega_l(k) (\frac{\sin(\theta(k))}{2} - \frac{D \cos(\theta(k))}{L})] T_S, \\ \theta(k+1) = \theta(k) + (\frac{r_r \omega_r(k) - r_l \omega_l(k)}{L}) T_S \end{cases}, \quad (30)$$

Ecuațiile modelului cinematic sunt utilizate în cadrul implementării de față în sistemul de odometrie, care se concretizează de fapt ca fiind calea de reacție în bucla de control pentru poziționare. În continuare sunt prezentate alte aspecte legate de cinematica robotului mobil și studiul cinematicii roților. Astfel se fac următoarele presupuneri via-a-vis de mișcarea roților, mișcarea roților se va realiza numai în plan orizontal, contactul roții cu solul va fi un punct, rotile nu sunt deformabile, mișcarea este de tip rostogolire pură, nu există alunecări și nu există frecare în cazul rotirii în jurul punctului de contact, [18]. Roata pasivă a robotului este de tip castor și este descrisă de ecuațiile din figura următoare,

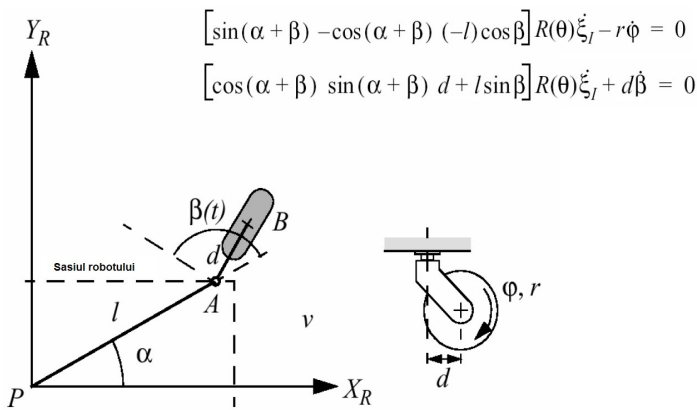


Figura 22 Ecuațiile roții pasive

Deși un aspect important cinematica roții pasive nu a fost considerată în implementarea de față doarece introducerea de noi termeni și calcule suplimentare în modelul matematic ar fi determinat o creștere a timpului de calcul și astfel ar fi fost nevoie de o mărire a perioadei de eșantionare pentru a obține rezultate valide pentru faza de control în timp real.

În cinematica roboților apar restricții. Astfel fiecare roată fixă sau directoare standard poate impune restricții în mișcarea robotului. Fiecare roată are o axă de rotație perpendiculară pe planul roții. Roata trebuie să se mișe de-a lungul unui cerc cu raza R astfel încât centrul acestui cerc să fie axa roții. Centrul cercului este denumit centru instantaneu de rotație (ICR) și astfel putem defini manevrabilitatea robotului mobil. Manevrabilitatea poate fi considerată o combinație între mobilitate (dată de restricțiile de alunecare) și orientare (contribuția direcției). În acest context limitările modelului cinematic al șasiului robotului redau

holonomia sistemului. Astfel un robot holonomic nu are restricții în cinematică, poate merge în orice direcție la orice moment de timp, iar un robot nonholonomic are restricții cinematice impuse de roțile fixe și de roțile directoare standard. Ultimul aspect legat de analiza modelului cinematic al robotului se referă la sinteza controllerului cinematic, care are rolul de a urmări traекторia descrisă prin puncte (coordonate) și / sau viteză în funcție de timp, neținând seama și de mărimele dinamice ale sistemului, [18].

Această analiză preliminară a controlului robotului mobil a fost necesară pentru a stabili cadrul de interes în sinteza controllerului Sliding Mode pentru poziționare utilizând modelul cinematic al robotului. Astfel, în cazul controlului mișcării în buclă deschisă putem considera de exemplu că traекторia este împărțită în segmente diferite, linii, arce de cerc. Controllerul trebuie să calculeze o comandă astfel încât robotul să parcurgă o traectorie lină. Apar însă probleme legate de fezabilitatea calculului traectoriei, impunându-se limitări fizice în privința vitezelor și accelerațiilor robotului și mai ales în cazul în care mediul se modifică dinamic.

### 3.2 Descrierea aplicației de control în timp real

De interes major în dezvoltarea sistemului este aplicația de control tolerant la defecte în timp real. Astfel urmărind aspecte precum controlul distribuit, autonomia robotului, extensibilitatea structurii și flexibilitatea implementării am dezvoltat o aplicație puternică care susține la nivel inferior comunicarea facilă cu hardware-ul, implementarea taskurilor de control și diagnoză în timp real la nivelul intermediar și un nivel superior al comunicației cu alte entități din mediul de operare, [19].

Orice aplicație în timp real este un sistem reactiv. Astfel ea se poate iniția fără un set explicit de intrări și apoi poate primi anumite intrări la care reacționează prin anumite ieșiri. În continuare sunt prezentate câteva caracteristici importante ale unui sistem în timp real. Astfel după cum am menționat sistemele în timp real au cerințe dominate de constrângeri temporale, deci atributile cele mai importante fiind determinismul la nivel logic (funcțional) dar și la nivel temporal (dinamic) și predictibilitatea. Un alt aspect se referă la complexitate, (sistemele în timp real presupunând un număr foarte mare de intrări și ieșiri) și la localizare, în genere sistemele în timp real având și componente distribuite.

#### 3.2.1 Nivelurile funcționale ale aplicației de conducere

În implementare caracteristicile de timp real au fost introduse la nivelul sistemului de operare ce rulează pe platforma de prelucrare a datelor de pe robot. Astfel utilizând o

**Capitolul 3 - Descrierea platformei robotice și a aplicației de control distribuit**  
 platformă Intel ATOM D525 bazată pe un procesor x86 am instalat o distribuție standard de Linux OS și anume RedHat9 pe kernel 2.4.24 peste care am aplicat patchul RTAI (Real Time Application Interface), [22], pentru obținerea de facilități hard real time. Motivația alegerii unui sistem de operare de tip UNIX rezidă în faptul că sistemul de operare este open-source și astfel s-au minimizat costrurile implementării; în plus kernelul oferă fără nici o modificare caracteristici de timp real (soft real time) bune, însă pentru a permite creșterea performanțelor în contextul unor taskuri consumatoare de resurse și minimizarea latențelor s-a decis modificarea kernelului de bază pentru îmbunătățirea caracteristicilor de timp real (hard real time) prin utilizarea RTAI. În continuare sunt prezentate acele trăsături de bază ale sistemului de operare în timp real care au fost urmărite la dezvoltare și apoi se vor studia aspecte privind capacitatea și mecanismele interioare ale kernelului Linux în ceea ce privește suportul pentru timp real, [19].

### Sistemul de operare

Din punct de vedere funcțional un sistem de operare în timp real nu diferă de unul de uz general însă apar diferențe la nivelul dimensiunilor (micro-kernel, nano-kernel), la modul de programare al taskurilor periodice cu sau fără mecanisme de IPC (Inter Process Communication), la planificarea strictă a taskurilor de timp real (introducerea unui sistem de priorități) și nu în ultimul rând minimizarea latenței prin introducerea preemptibilității. Sistemul de operare în timp real utilizat în cadrul proiectului este RTAI și a fost dezvoltat de către DIAPM (Departamentul de Inginerie Aero spațiale de la Politehnico Milano). Nucleul (kernelul) sistemului de operare are rolul de a media accesul la resursele hardware pentru aplicațiile utilizator. Nucleul are două moduri (contexte) de execuție, în mod utilizator sau în mod kernel, care sunt descrise în figura următoare,

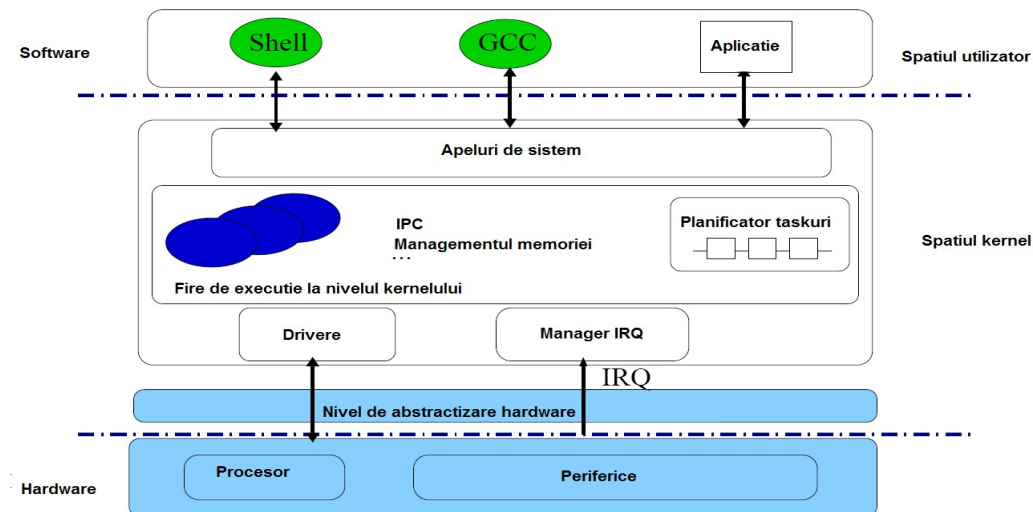


Figura 23 Arhitectura simplificată a sistemului de operare utilizat

Spațiul utilizator este contextul de execuție al aplicației care poate accesa și servicii ale nucleului prin apeluri de sistem și apeluri de funcții specifice oferite de interfața de programare pentru placa de achiziție. Spațiul kernel reprezintă contextul de execuție al sistemului de operare, unde are loc managementul proceselor și firelor de execuție, planificarea și managementul întreruperilor. Prin acest nivel se poate accesa nivelul hardware, însă important de menționat este că există moduri privilegiate de acces pentru nivele, 22. Un aspect important pentru analiza facilităților de timp real oferite de sistemul de operare se referă la preemptibilitate și latență. Preemptivitatea este capacitatea sistemului de operare de a întrerupe execuția unui task în favoarea altuia cu o prioritate mai mare, fiind necesară pentru a satisface politica planificatorului și de a putea asigura inițierea unei schimbări de context.

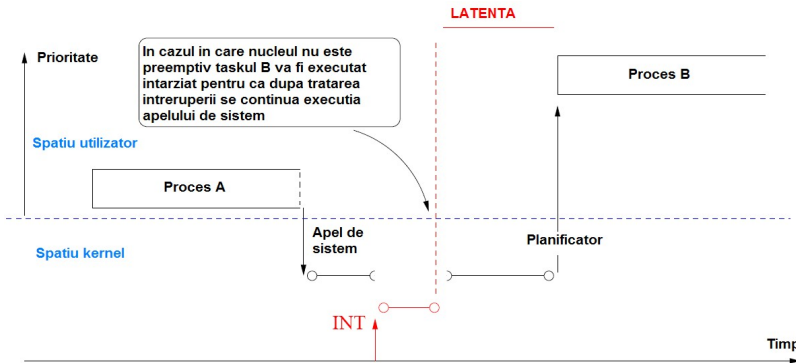


Figura 24 Scenarii de execuție în nucleul sistemului de operare

Scenariile anterioare au avut rolul de a pune în evidență limitările sistemului de operare Linux de uz general în ceea ce privește performanțele de timp real, care se reflectă de fapt în optimizarea debitului de tratare a aplicațiilor în detrimentul timpului de răspuns, utilizarea unui număr mare de puncte de preemptivitate care incetinesc sistemul de operare și gestiunea ne-deterministică a memoriei și perifericelor. Sistemul de operare în timp real încearcă să obțină o minimizare a latenței globale a sistemului. Această latență globală este o sumă a căror termeni sunt descriși în figura următoare,

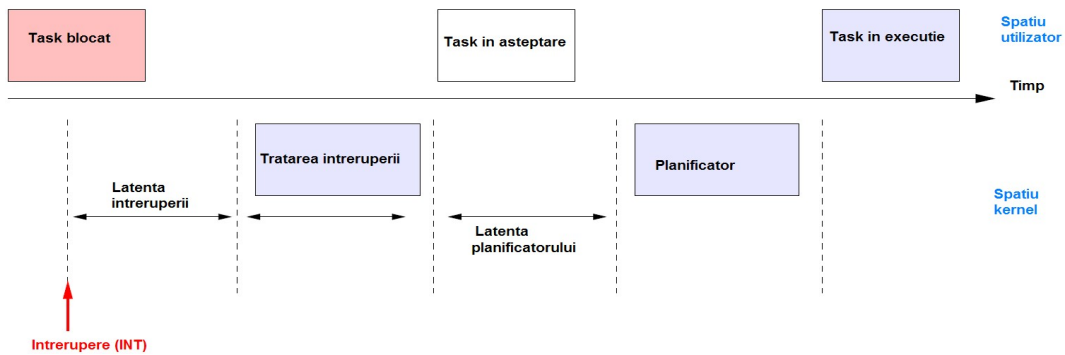


Figura 25 Latență globală a sistemului de operare

Pentru a face trecerea la un sistem de operare în timp real în contextul utilizării Linux există mai multe posibilități. Prima abordare se referă la modificarea nucleului, prin mărirea gradului de granularitate (gradul de preemptivitate a nucleului), prin reducerea numărul de secțiuni critice și apeluri mai dese către planificator (dar mai judicios). A doua abordare care se referă și la implementarea proprie are la bază conceptul de dual-kernel sau co-nucleu, care constă în adăugarea unui nucleu de timp real distribuției Linux existente fără a-i altera funcționalitatea și bazându-se pe mecanisme de tipul virtualizării intreruperilor și unui mecanism specific pentru IPC între Linux și micro-nucleul de timp real (domenii). În abordarea considerată micro-nucleul de timp real se inserează între Linux și hardware, are un planificator separat și nu depinde de secțiunile critice al Linux. La apariția unei intreruperi micro-nucleul o capturează pentru a o utiliza în rutinele sale de timp real înainte de Linux, care va recepționa doar o intrerupere virtuală, făcându-l astfel un domeniu de prioritate secundară. Micro-nucleul are timpi de comutare între contexte foarte mici, cu o latență sub 20  $\mu$ s și are acces la toată funcționalitatea domeniului Linux, nemijlocit. În ceea ce privește mecanismul de la baza acestei abordări dual-kernel istoric vorbind au existat două implementări, RTHAL (RealTime Hardware Abstraction Layer) care este la baza primelor versiuni de RTAI și ADEOS (Adaptive Domain Environment for Operating Systems), [20] care permite partajarea resurselor hardware între mai multe sisteme de operare concurente către care a migrat și RTAI în 2003, [22]. La bază, ADEOS este un nivel de abstractizare al resurselor disponibil ca un patch peste nucleul de bază Linux, care permite existența mai multor sisteme de operare (domenii) pe aceeași mașină. Domeniile pot fi invizibile unul altuia însă toate sunt supervizate de ADEOS. Rolul minimal al unui domeniu este de a concura pentru a procesa evenimentele exterioare (intreruperi) sau cele interne (excepții) în concordanță cu prioritatea care i-a fost acordată. Pornind de la capacitatele sale de virtualizare ADEOS poate oferi o interfață de programare generică pentru domeniile supervizate care este independentă de arhitectura mașinii pe care operează. Structura de bază pe care se bazează ADEOS este lanțul de domenii client care concură pentru controlul evenimentelor, domeniile emițând cereri de notificare pentru intreruperi externe sau virtuale, pentru apelurile de sistem emise de aplicațiile Linux sau alte evenimente declanșate de codul executabil din nucleu. ADEOS asigură că evenimentele sunt distribuite domeniilor client în funcție de prioritatea statică din sistem asigurând o livrare predictibilă și bine sincronizată, [21]. Toate domeniile active sunt puse într-o coadă conform cu prioritățile lor formând un pipeline abstract. Astfel evenimentele care apar (inclusiv intreruperile) sunt introduse în capul cozii (preluate de către cel mai prioritar domeniu) și avansează către capătul cozii (domeniul cu prioritatea cea

mai scăzută). Pentru a realiza o distribuire a întreruperilor într-un mod prioritizat ADEOS implementează schema protecției optimiste a întreruperilor dezvoltată de Stodolsky, Chen și Bershad. Astfel fiecare etaj al pipelineului ocupat de un anumit domeniu poate fi dezactivat, în sensul că următoarea întrerupere nu va mai fi livrată măgerului de întreruperi a domeniului și nu se va mai realiza propagarea către domeniile de joasă prioritate. Întreruperile care apar între timp sunt acumulate în logul de întreruperi al domeniului și vor fi tratate ulterior când etajul va fi activat printr-o operație de sincronizare. Prin această metodă domeniile își protejează secțiunile critice de preempția cauzată de rutinele de tratare a întreruperilor. După ce un domeniu și-a încheiat procesarea întreruperilor se emite un apel special către ADEOS care relizează o alocare a procesorului următorului domeniu ca prioritate din pipeline. Întreruperile nu sunt singurul tip de evenimente care pot parcurge pipelineul, însuși kernelul Linux sau aplicațiile care rulează pot genera astfel de evenimente, [21]. Ideea de bază este că evenimentele sunt notificări sincrone a unor capcane (traps), excepții sau altor acțiuni desfășurate de către kernelul Linux. În continuare este prezentat specificul RTAI ca soluție pentru dobândirea caracteristicilor de timp real pentru aplicația dezvoltată. RTAI este alcătuit din cinci părți complementare. Prima componentă este nivelul de abstractizare al hardwareului (HAL) care oferă o interfață pentru accesul la hardware și care redă suportul funcțional pentru Linux cu capacitați hard real time. A doua componentă este nivelul de compatibilitate Linux care oferă o interfață către sistemul de operare Linux, și astfel oferind RTAI posibilitatea de a fi integrat în managementul taskurilor Linux, fără a influența operarea Linux, [23]. A treia componentă este nucleul de operare în timp real care introduce funcționalitatea hard real time pentru planificarea taskurilor, tratarea întreruperilor și securitate. A patra componentă este LX/RT care oferă suport pentru soft și hard real time în spațiul utilizator printr-o interfață de programare (API) pentru a oferi o funcționalitate similară apelurilor de funcții din spațiul kernel și din spațiul utilizator și un IPC simetric pentru cele două moduri. Ultima componentă a RTAI sunt pachetele de funcționalitate extinsă, care cuprind drivere, interfețe de programare pentru diverse dispozitive, watchdogs software, [27]. În această categorie intră și o altă componentă importantă a aplicației dezvoltate și anume setul de drivere, Comedi, pentru I/O în timp real utilizând placă de achiziție. În ceea ce privește managementul taskurilor și planificarea (scheduling) RTAI oferă o întreagă varietate de taskuri de timp real și planificatoare, oferind atât taskuri care ajung în cozile planificatorului sistemului de operare dar și unități de execuție care nu sunt planificabile (timere, tasklets, ASRuri).[23, 24] În ceea ce privește configurațiile de planificare RTAI oferă alternative complementare, pentru planificare

uni/multi-procesor, pentru sisteme multiprocesor simetrice, cu planificare periodică și one-shot, o planificare bazată pe priorități statice sau Round Robin pentru hard real time. În ceea ce privește metodele de comunicare inter-proces (IPC) RTAI oferă toată gama de primitive pentru sincronizare, semafoare, mutexuri, spinlockuri, variabile condiționale și flaguri. În ceea ce privește transferul, fluxul de date între procese RTAI implementează comunicarea prin mesaje, mailboxuri, cozi de mesaje POSIX, FIFOuri, memorie partajată și remote procedure calls, iar în ceea ce privește managementul memoriei RTAI asigură o implementare simetrică și un management dinamic al memoriei, [24]. Un aspect important este capacitatea de a permite integrarea de device drivere real time cum ar fi Comedi.

#### Utilizarea setului de drivere pentru operații I/O real time, Comedi

Comedi s-a dezvoltat ca un proiect open-source orientat pe dezvoltarea de drivere, instrumente și librării care să ofere suportul pentru diferite plăci de achiziție și sisteme de achiziție de date pentru efectuarea de operații I/O cu semnale analogice sau digitale, generare și măsurare de frecvențe, numărare impulsuri etc. Proiectul s-a dezvoltat sub forma unor module kernel și a unei librării de funcții pentru programarea în spațiul utilizator, [25]. Astfel Comedi este colecția de drivere pentru o mare varietate de plăci de achiziție de date, driverele având un nucleu comun pentru funcționalitate generică și module individuale de nivel scăzut specific fiecărui dispozitiv. Comedilib este o librerie de funcții destinată spațiului utilizator, pentru programarea aplicațiilor, configurare și calibrarea dispozitivelor. Kcomedilib este un modul kernel care oferă aceeași interfață oferită de Comedilib în spațiul utilizator, în spațiul kernel, fiind indicată pentru taskuri real time. Un device driver este o componentă software care realizează interfațarea cu anumit hardware, realizând conversia din funcții de nivel superior emise de utilizator în comenzi dependente de dispozitiv. Plăcile de achiziție de date suportate sub Comedi lucrează cu tipuri diferite de semnale: intrări analogice, ieșiri analogice, intrări digitale, ieșiri digitale, intrări pe counter/impuls, ieșiri pe timer/impulsuri. Lucrul cu semnale digitale nu necesită un efort prea mare sub Comedi, configurațiile necesare referindu-se la numărul canalului (uneori adresa pe bus) și direcția, intrare sau ieșire. Semnalele analogice sunt ceva mai greu de utilizat. Tipic un canal de achiziție analogic poate fi programat pentru a genera sau citi o tensiune între două praguri superior și inferior (în cazul de față -10V | +10V) și utilizând suportul hardware al plăcii se poate seta eşantionarea unor anumite canale într-o anumită ordine și de a memora datele pe placă, apoi se poate utiliza DMAul sau o rutină de tratare a întreruperilor pentru a realiza un dump al datelor într-

o anumită zona de memorie. În cazul semnalelor bazate pe impulsuri (semnale de la encodere, timere, countere) se adaugă, făță de tratarea semnalelor tipic digitale, anumite specificații temporale semnalului. Comedi organizează hardwareul utilizând o ierarhie generică pornind de la canal (Channel), care este componenta hardware de la nivelul cel mai scăzut, reprezentând proprietățile fizice ale unui singur canal de date (plaje de valori, tensiune de referință, polaritate, factor de conversie între mărimi fizice etc.); sub-dispozitivul (sub-device) caracterizează un set de canale cu funcționalitate identică implementate fizic în același circuit (un set de 16 ieșiri analogice) menținând informații despre numărul de canale și tipul lor; dispozitivul (device) care este un set de sub-dispozitive implementate fizic pe aceeași placă. De exemplu placa utilizată în cadrul proiectului National Instruments PCI 6024E, are un sub-dispozitiv cu 16 canale de intrare analogice, un sub-dispozitiv distinct cu 2 ieșiri analogice și un al treilea sub-dispozitiv cu 8 I/O digitale. Fiecare obiect dispozitiv încapsulează informații cu privire la codul de identificare al producătorului, identificatorul dat de sistemul de operare, numărul de sub-dispozitive etc. În ceea ce privește funcționalitatea pentru achiziția de date oferită de Comedi aceasta se centrează pe lucrul cu canele sau seturi de canale. Un alt aspect care este surprins în interfața de programare a Comedi este managementul bufferelor și caracterul event driven al achizițiilor de date, totul sub posibilitatea implementării unor mecanisme de securitate pentru a asigura execuția unor operații atomice asupra zonelor critice de cod sau de structuri de date. În continuare este prezentată arhitectura sistemului distribuit de control și monitorizare al robotului.

### 3.2.2 Arhitectura distribuită client-server

Arhitectura sistemului software dezvoltat e formată din aplicația C++ care rulează pe unitatea de procesare embedded sub Linux-RTAI și Comedi care oferă accesul direct la senzorii și actuatorii robotului prin placa de achiziție și care prin intermediul unor threaduri server (de control și de date) oferă o interfață de control aplicației client Java sub Linux permitându-i să activeze execuția fazelor și să primească informații direct de la senzorii robotului. Aplicația Java are rolul de a asigura activarea sau dezactivarea fazelor de execuție ale robotului prin utilizarea unui instrument care-i permite să determine o execuție secvențială sau paralelă a taskurilor robotului, numit Grafcat, [26]. Structura se poate extinde cu un client Java cu drepturi restrânsse cu rolul doar de a monitoriza execuția și de a primi informații despre starea sistemului, însă la momentul actual nu a fost implementat efectiv. Arhitectura concretă a aplicației este descrisă în figura următoare,

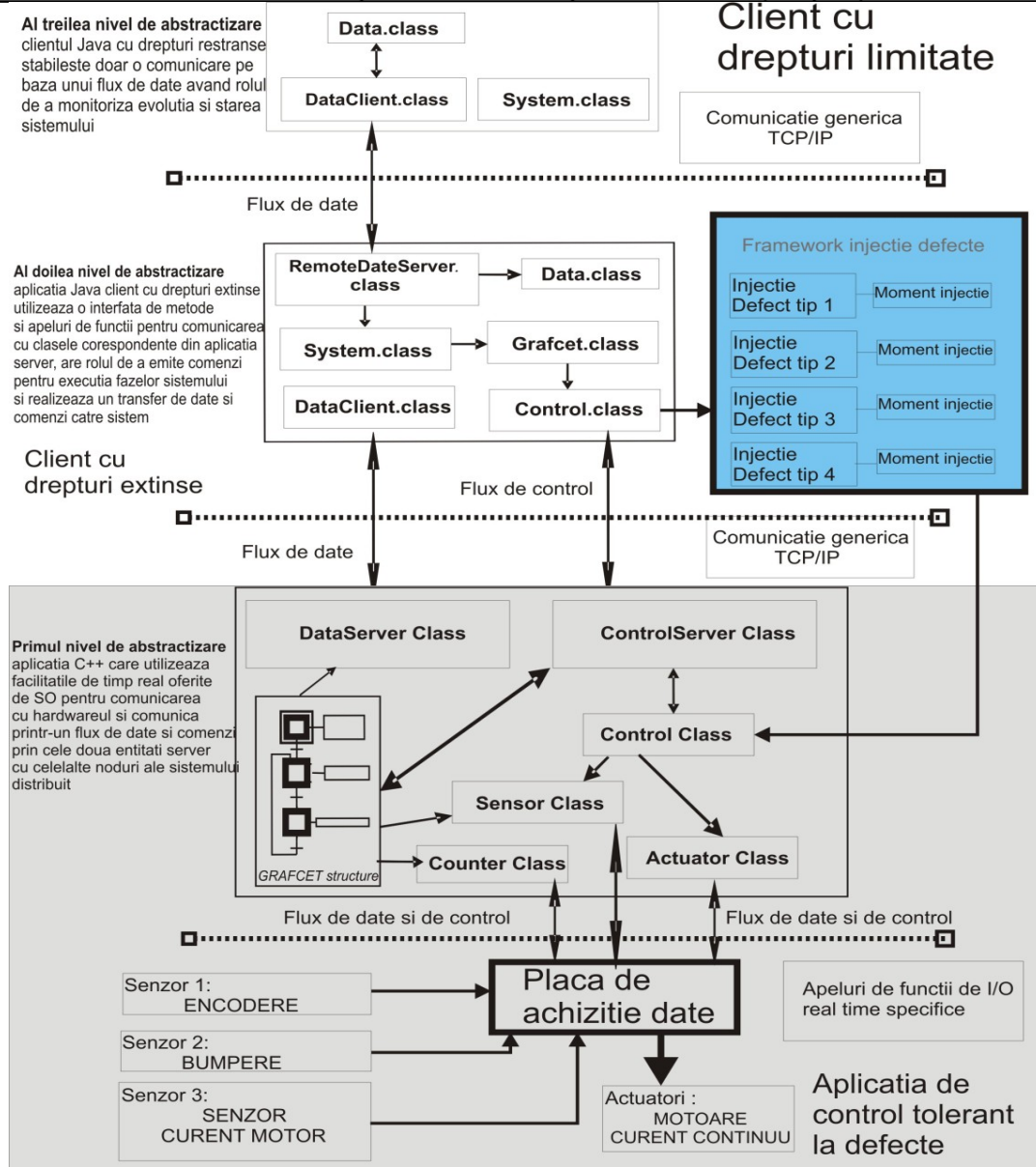


Figura 26 Arhitectura generală a aplicației dezvoltate

Urmând o vedere de ansamblu aplicația dezvoltată se bazează pe un tip de dezvoltare orientat obiect care conferă flexibilitate și extensibilitate. În continuare sunt descrise nivelele individuale ale aplicației.

Taskul de control al robotului în regim de trajectory tracking se realizează la o perioadă de eşantionare de 200ms. Perioada de eşantionare a fost aleasă pentru a permite obținerea unor rezultate valide în ceea ce privește sistemul odometric (date valide și consistente). Taskul de control se bazează pe sinteza unei structuri de conducere în cascadă cu o buclă internă pentru controlul turăției motoarelor de curent continuu, [29, 31], care se execută la o perioadă de eşantionare de 50 ms (reacția fiind dată de sistemul de odometrie) și

o buclă externă pentru controlul poziționării robotului cu un controller sliding mode ce sintetizează o lege de comandă la fiecare 200ms (reacția fiind dată prin sistemul odometric). Structura de conducere în cascadă a robotului în regim de trajectory tracking este prezentată în figura următoare împreună cu modulul de monitorizare și detecție a defectelor.

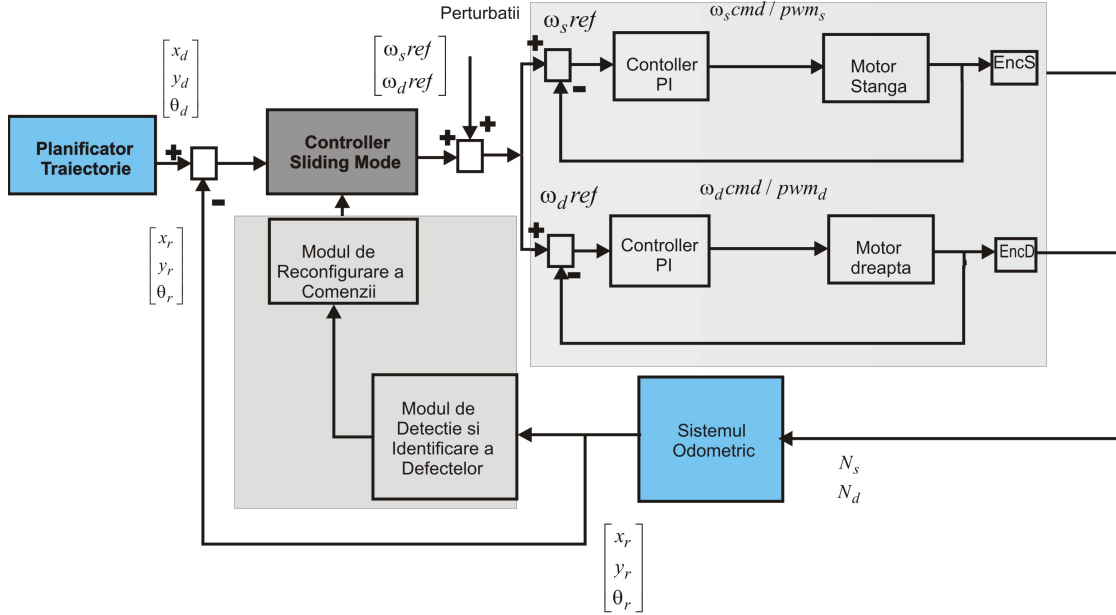


Figura 27 Structura de conducere în cascadă a robotului

Bucile de reglare interne realizează controlul turăției motoarelor de curent continuu ale robotului. Referința pentru buclele celor două motoare este dată de controllerul sliding mode sub forma unei viteze unghiulare. Controllerul sliding mode oferă la ieșire o comandă sub forma unei viteze unghiulare și a unei viteze liniare pentru robot, care sunt însă utilizate la calculul vectorului de referință pentru motoare (prin transformare cinematică inversă), [28, 30]. Al doilea task este taskul de monitorizare și detecție a defectelor. În continuare este ilustrată structura modului de detecție, identificare a defectelor și reconfigurarea controlului bazat pe un banc de 5 filtre EKF, [33].

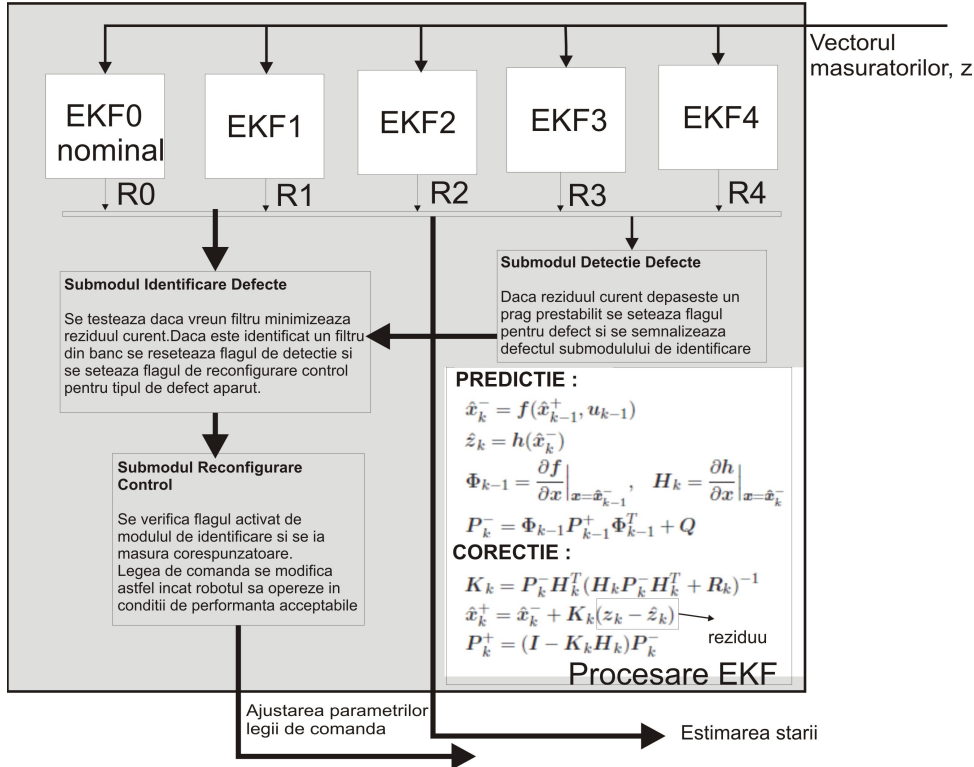


Figura 28 Modulul de detectie, identificare și reconfigurare

Fiecare EKF din banc înglobează în structura sa un model cinematic al robotului, dar cu parametrii diferiți. Ideea de bază este că pentru același vector de intrare  $z$ , afectat de zgomot, fiecare filtru realizează o predicție a stării robotului. Fiecare filtru este asociat unui anumit tip de defect, [32, 34].

În cele ce urmează este prezentată arhitectura internă a aplicației server ce rulează pe robot.

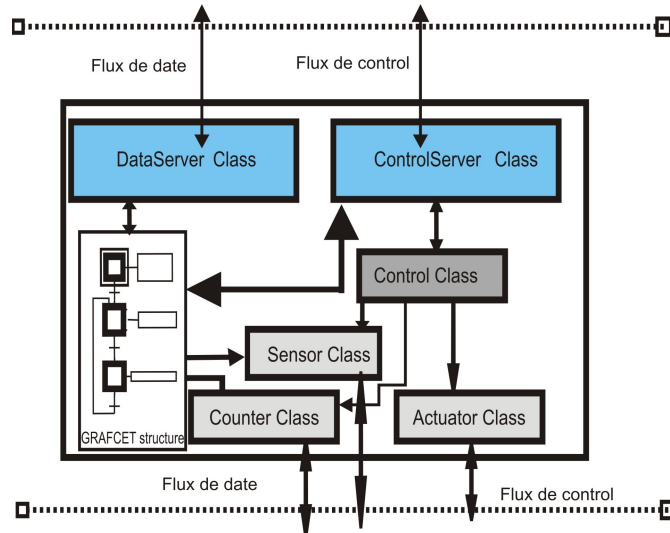


Figura 29 Arhitectura internă a aplicației ce rulează pe robot

În continuare este redată arhitectura clientului Java accentul căzând pe clasele care asigură comunicația cu robotul.

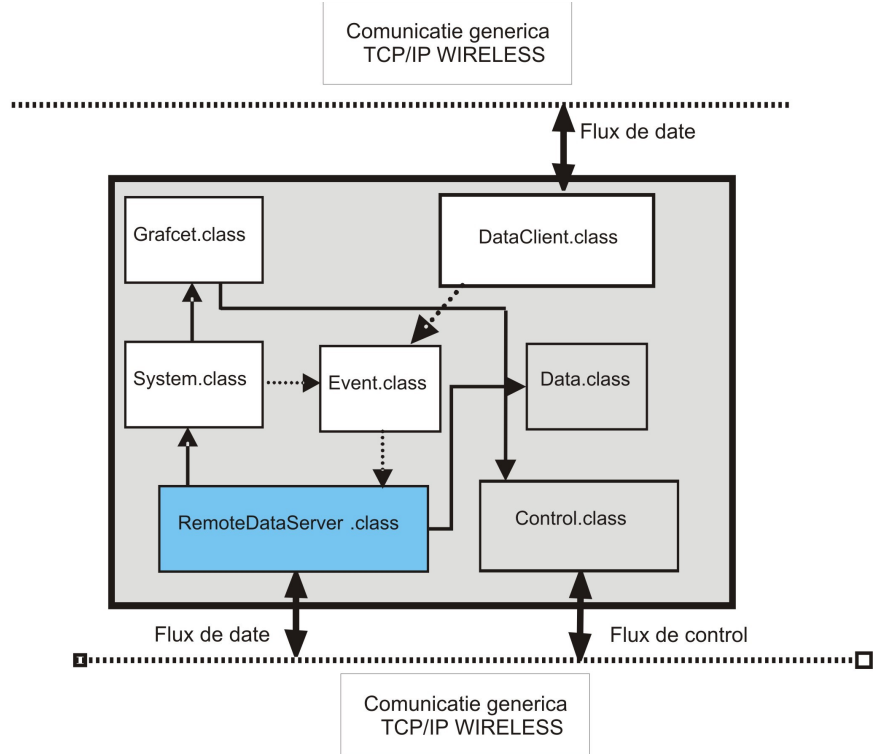


Figura 30 Arhitectura aplicației client Java

Aplicația client Java are o structură asemănătoare cu a aplicației de pe robot pentru a asigura compatibilitate la nivel funcțional. Astfel făcând referire la nivelul de comunicație, au fost implementate care asigură comunicarea printr-un flux de date cu aplicația ce rulează pe robot și are rolul de a prelua informațiile de stare și parametrii curenti ale mărimilor de interes pentru robot și de a le transmite local pentru logging.

În capitolul de față a fost prezentată o descriere funcțională a aplicației dezvoltate la nivelul claselor. S-au prezentat aspecte privind structura ierarhică și dependențele între clasele specifice fiecărui nivel. Pentru mai multe detalii și un studiu direct al implementării se poate consulta listingul aplicației din anexă.

# **Capitolul 4**

**Sinteza modulului de mapare a mediului**

#### 4. Sinteza modulului de mapare a mediului

În capitolul curent sunt redate aspecte generale de implementare pentru algoritmul SLAM utilizat în aplicația dezvoltată. Algoritmii SLAM (Simultaneous Localization And Mapping) sunt tehnici prin care robotul mobil are posibilitatea de a construi o reprezentare a mediului de operare și în același timp să utilizeze această hartă pentru a-și determina poziția, [37]. Deși în ultima perioadă dezvoltarea în domeniul SLAM s-a axat pe îmbunătățirea eficienței computaționale a algoritmilor, au apărut noi probleme cum ar fi neliniaritățile, asocierea datelor și caracterizarea punctelor landmark care expun provocări în implementările practice SLAM.

##### 4.1 Implementarea offline SLAM

În continuare sunt redate câteva aspecte privind implementarea SLAM utilizând formularea (regula) Bayes, prin care se dorește obținerea unei distribuții de probabilitate / estimare a locațiilor punctelor de marcat (landmark) și a poziției robotului, [35].

Algoritmul SLAM generic crește în complexitate odată cu creșterea numărului de puncte de marcat (landmarks) fapt care în implementările real-time devine o limitare majoră. Pentru reducerea acestei complexități au fost dezvoltate mai multe abordări. Din aceste abordări se impune să amintim, augmentarea spațiului de stare, refacerea reprezentării informației, updateuri partionate ale valorilor și metode de sub-mapare. Algoritmii convenționali SLAM au soluții redundante fapt care se regăsește în operarea în mediu dinamic și în mediu static, [36].

O a doua problemă a SLAM este asocierea datelor, în ceea ce privește structura mediului și problemele specifice care apar atunci când robotul revine la zone deja mapate după o lungă etapă de explorare (problema închiderii buclei – loop closing).

Marele avantaj al SLAM constă în faptul că nu are nevoie de informație apriori despre mediu pentru construirea hărții, toată informația fiind acumulată în timp. În abordarea propusă pentru implementarea SLAM, se vor utiliza concepte prezentate anterior, cu privire la modelul senzorilor, matricile de ocupare, fuziunea Bayes și localizarea continuă. Astfel, deși informația de la encodere este afectată de erori în calculul odometriei, localizarea continuă va compensa inconvenientul și va permite obținerea hărții, [35].

#### 4.1.1 Proiectarea modulului offline SLAM

În continuare este redată arhitectura funcțională a aplicației ce implementează algoritmului SLAM offline pentru maparea mediului pornind de la arhitectura prezentată pentru localizarea continuă. Abordarea este considerată offline încât informația este preluată online în timpul operării robotului, însă maparea are loc offline, după ce informația a fost achiziționată, [10]. După cum am menționat anterior această metodă va îmbina tehniciile pentru modelul senzorilor, matricile de ocupare și localizarea continuă fiecare fiind parametrizată și configurată corespunzător pentru obținerea unui grad de performanță ridicat.

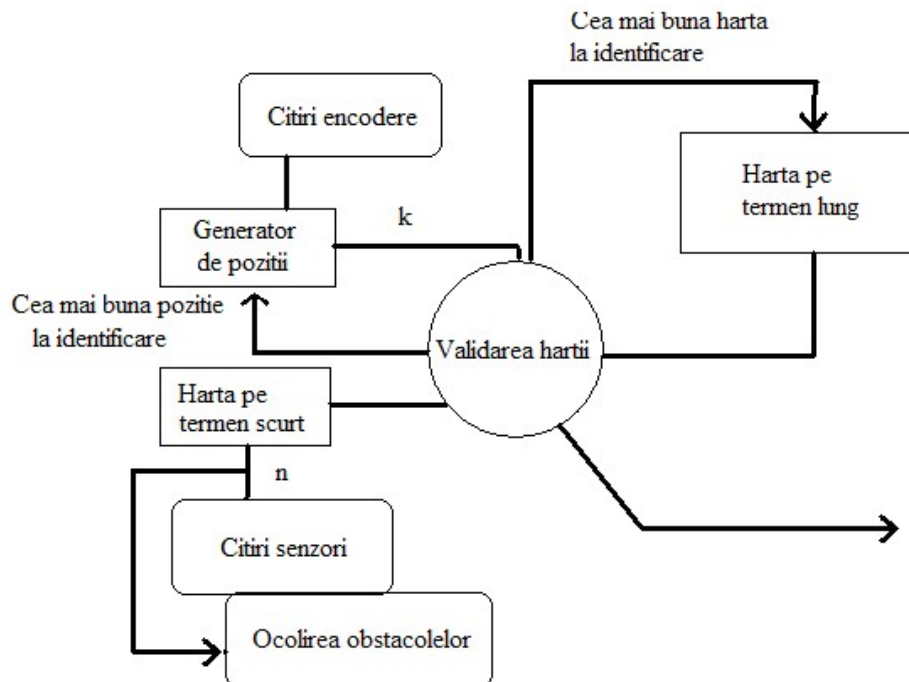


Figura 32 Metoda SLAM sintetizată

Întrucât nu este definită o metodă analitică de parametrizare configurația s-a realizat empiric alegând parametrii potriviti pentru aplicație și hardwareul utilizat.

Aplicația SLAM dezvoltată are mai multe submodule funcționale interne. Primul submodul are rolul de a implementa achiziția de date și logica de navigație. Astfel, robotul va naviga prin mediu și în același timp va achiziționa informație de la senzori și va calcula informația de odometrie. Poziția curentă a robotului și citirile de la sonare sunt preluate la fiecare 50mS în interiorul aplicației de control în timp real. Al doilea submodul are rolul de a implementa maparea și localizarea. Astfel datele colectate de primul modul vor fi utilizate

pentru crearea hărții mediului (harta pe termen lung) care este în același timp utilizată și de localizarea continuă pentru a calcula și corecta poziția reală a robotului.

Pentru a obține o bună viteză de execuție și posibilitatea determinării parametrilor buni pentru configurare s-a ales separarea în cele două submodule, de achiziție a datelor și localizare. În acest context robotul nu trebuie să repete secvența de explorare a mediului pentru fiecare set de parametri supuși evaluării și astfel apare un plus de viteză în execuție. Un alt avantaj constă în faptul că evaluarea este mult mai precisă întrucât se va utiliza același set de citiri de la senzori și poziții (odometrie) pentru a valida diferite configurații de parametri. Separarea acestor două submodule poate fi eliminată atunci când s-au determinat parametrii potriviti aplicației. Figura 32 redă interconexiunile între diferitele componente logice și modul în care harta pe termen scurt este fuzionată cu harta pe termen lung după fiecare fază de validare. Cea mai bună poziție la identificare, generată de modulul generator de poziții, va contribui la updateul poziției robotului. După cum am menționat anterior, în cazul în care localizarea continuă are acces la informație apriori despre mediu poate determina o diminuare a erorii la odometrie și menținerea acesteia la un nivel constant. Dar informația apriori nu este necesară la implementarea SLAM, întrucât algoritmul ar trebui să contruiască harta incremental pentru un mediu necunoscut. Din acest motiv modulul de validare al hărții prezintă niște elemente specifice. Astfel, harta pe termen lung (care se generează) este inițial vidă. Fiecare etapă (iterație) a localizării începe cu o hartă pe termen scurt vidă. Apoi, harta pe termen scurt este fuzionată cu citirile de la senzori până când se maturează. Procesul de validare a hărții înregistrează harta pe termen scurt prin suprapunerea peste harta pe termen lung pentru fiecare din cele k poziții oferite de generatorul de poziții. Parametrul care definește spațiul de căutare a validării hărții determină ce poziții returnează generatorul de poziții. Diferența între poziția presupusă a robotului și poziția cea mai bună la identificare este considerată a fi eroarea de odometrie. După updateul poziției robotului harta pe termen scurt este fuzionată cu harta pe termen lung și o nouă etapă (iterație) de localizare începe cu o hartă pe termen scurt nouă și vidă.

În acest sub capitol a fost descris modul de operare al algoritmului de mapare și în continuare sunt redate aspecte specifice utilizate la proiectare și implementare privind parametrii, configurația mediilor în teste și simulări, alte probleme care apar și soluțiile propuse pentru acestea.

În dezvoltarea aplicației s-a folosit o gamă întregă de parametri pentru a determina obținerea de performanțe ridicate. În continuare sunt descriși parametrii definiți, efectul lor asupra execuției, precum și valorile alese pentru producerea unor rezultate bune.

Primul parametru de interes este dimensiunea spațiului de căutare pentru validarea hărții. Acest proces de validare (înregistrare) nu poate realiza identificarea între harta pe termen scurt și harta pe termen lung pentru orice poziție a robotului, întrucât ar presupune un efort computațional major și ar fi un procedeu supus erorilor. Funcția care este implementată în generatorul de poziții este limitată la căutarea a k poziții probabile. Astfel apare problema determinării celor mai probabile k poziții pe care le poate avea robotul în contextul în care robotul poate avea erori de odometrie în toate cele 3 grade de libertate ( $x, y, \theta$ ) obținute de la ultima etapă de localizare (iterația anterioară). Generatorul de poziții ar trebui să considere astfel aspecte cum ar fi poziția curentă, viteza curentă și mișcările efectuate de la ultima etapă de localizare, când generează pozițiile posibile. În cazul de față implementarea generatorului de poziții este simplă dar eficientă. Astfel, funcția de bază a generatorului presupune că eroarea de odometrie acumulată de la ultima etapă de localizare până în momentul curent este în domeniul a +/- 1 celule în matricea de ocupare în planul XoY. Eroarea pe axa orientării robotului ( $\theta$ ) este presupusă a fi în intervalul +/- 3°. Astfel putem considera că utilizând o rezoluție de 1 celulă și 1° va rezulta un total de 63 de poziții de evaluat pentru procesul de validare (înregistrare) în timpul fiecărei etape de localizare.

Al doilea parametru de interes este maturitatea hărții pe termen scurt, amintită și anterior la descrierea modului în care se realizează validarea hărții. Astfel, maturitatea hărții pe termen scurt depinde de cantitatea de informație (citiri de la sonare) care va fi stocată în fiecare hartă pe termen scurt. Acest parametru poate fi dimensionat în vîrstă (ex.: numărul de secunde de citire a senzorilor până la maturizare) sau în numărul de citiri. În aplicația de față am considerat alegerea unui număr de 45 de citiri de la senzori pentru fiecare hartă pe termen scurt.

Al treilea parametru este rezoluția matricii de ocupare. Se consideră că atât harta pe termen lung cât și harta pe termen scurt utilizează aceeași rezoluție pentru reprezentare. Acest parametru determină cât de rafinată este informația stocată în hartă. Cu cât rezoluția este mai mare cu atât crește calitatea hărții dar și efortul computațional. În experimentele efectuate s-a considerat o grilă de 35mmx35mm.

Ultimul parametru de interes este frecvența de comutare a sonarelor și viteza robotului. Frecvența de comutare adresează de fapt temporizarea la momentul citirii pentru senzori și cascadarea senzorilor pentru citiri pe toate direcțiile. Împreună cu viteza robotului aceste elemente determină densitatea de informație achiziționată. În experimente robotul a rulat cu o viteză de 80mm/s și a colectat informație la fiecare 50mS.

În continuare sunt descrise aspecte privind configurații de medii pentru experimente și aspecte specifice pentru navigație și localizare continuă.

#### 4.1.3 Configurații de medii, navigație și localizare continuă

În aplicația dezvoltată au fost testate mai multe configurații de mediu (camere). Pentru analiza metodei se impune prezentarea a două configurații care să pună în evidență avantajele și problemele abordării propuse. Cele două configurații de mediu sunt caracterizate de centru deschis și obiecte (volume) plasate pe conturul mediului pentru a asigura închiderea conturului. Cele două configurații propuse analizei în continuare sunt redate în figura următoare.

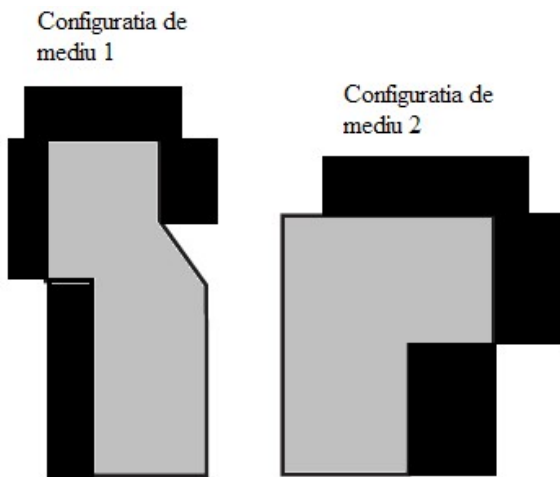


Figura 33 Configurații de mediu pentru teste

Extremitățile camerelor sunt suprafețe de metal sau lemn și astfel se elimină riscul apariției fenomenului de reflexie speculară. Primul profil de cameră conține pasaje relativ înguste, în timp ce a doua configurație conține o zonă deschisă considerabilă care va introduce noi probleme.

În ceea ce privește navigația robotul a fost programat să opereze în regim trajectory tracking pe o traiectorie complexă, existând și o posibilitate de comandă prin joystick. Datorită faptului că aplicația dezvoltată a fost separată în două componente funcționale apare o limitare în navigație. Datorită faptului că navigația are loc în prima etapă și harta e generată, offline, în

a doua etapă, comportamentul robotului trebuie să fie reactiv și nu trebuie să necesite acces la harta pe termen lung. În operația de mapare a mediului este important ca robotul să își cunoască poziția, altfel eroarea de odometrie va determina crearea unei hărți distorsionate. În continuare sunt prezentate cele două configurații de camere propuse pentru analiză și rezultatele obținute în cazul în care codurile sunt folosite ca singură sursă de informație de odometrie și fără localizare continuă.

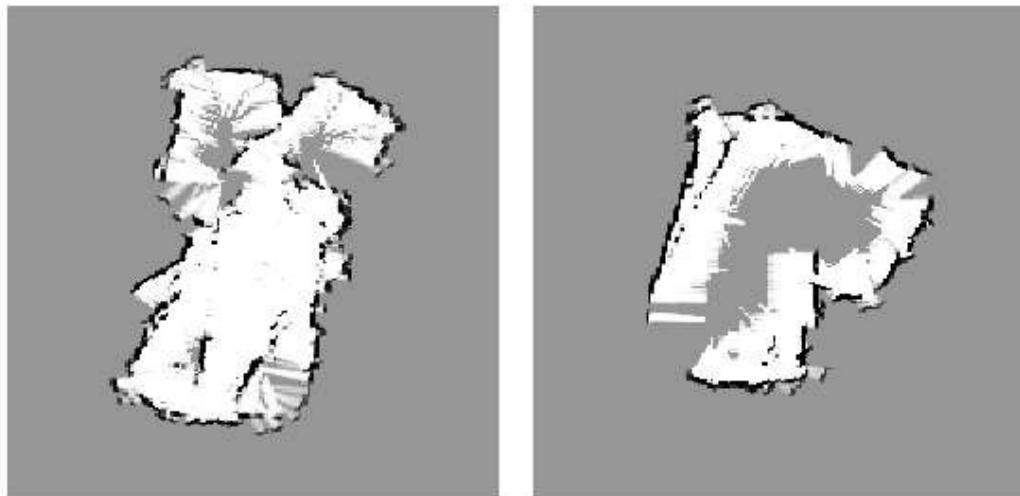


Figura 34 Maparea utilizând doar informația de la encodere

Înainte de a prezenta rezultatele utilizând localizarea continuă și experimentele de parametrizare se aduce în discuție un aspect foarte important și anume, tratarea zonelor deschise, care au fost prezente și în a doua configurație propusă analizei. Zonele deschise introduc probleme în localizarea continuă. În acest context, aceste zone se definesc ca porțiuni din mediul de operare în care senzorii nu pot detecta niciun obstacol și astfel nu se poate primi informație de distanță față de robot, afectând astfel eficiența algoritmului. În timpul navigării prin mediul necunoscut robotul poate intra în zone libere și astfel sonarele nu vor oferi informație utilă. Harta pe termen scurt este astfel vidă și se va suprapune peste orice poziție în harta pe termen lung, iar localizarea continuă nu va mai fi capabilă să compenseze erorile de odometrie introduse de encodere. În acest context dacă robotul operează în linie dreaptă cu viteză constantă eroare va fi mică și se va acumula greu, însă navigația presupune un comportament variat în ceea ce privește traectoria și profilele de viteză pentru robot. O astfel de problemă este enunțată în continuare. Dacă presupunem că robotul navighează printr-o zonă deschisă dar un sonar detectează la un moment dat un perete. Astfel apare informație disponibilă pentru harta pe termen scurt. Dar acea citire va fi în ultima comutare pe etapa de localizare curentă astfel încât va fi singura informație din harta pe termen scurt și se va realiza

astfel fuziunea cu harta pe termen lung. Apoi în următoarea perioadă de eşantionare harta pe termen scurt primeşte un număr semnificativ de citiri de la acelaşi perete. La validarea (înregistrarea) acestei hărţi pe termen scurt este suprapusă informaţia din aceasta cu informaţia existentă în harta pe termen lung existentă, care conţine acum doar o singură citire a sonarului. Neavând destulă informaţie pentru a realiza comparaţia între cele două hărţi în etapa de validare vom avea o precizie scăzută, astfel încât nu putem determina unghiul ci doar prezenţa obstacolului. Acest fenomen poate determina mărirea erorii de odometrie în sistem. Aplicaţia dezvoltată îşi propune să contracareze acest scenariu negativ asigurând că harta pe termen scurt are mereu destulă informaţie pentru o validare (înregistrare) corespunzătoare. Acest lucru este realizat prin parametrul de maturitate a hărţii pe termen scurt (de fapt prin stabilirea numărului de citiri de la sonare pentru etapa de fuziune şi nu de timpul de achiziţie a datelor) permitând hărţii pe termen scurt să fie activă un timp îndelungat la operarea în zone deschise.

În continuare sunt descrise aspecte de analiză şi interpretarea rezultatelor pentru metoda propusă precum şi îmbunătăţiri viitoare.

#### 4.2 Analiză, limitări în proiectare şi îmbunătăţiri

Procesul de localizare continuă se bazează foarte mult pe precizia hărţii pe termen lung. În acelaşi timp calitatea hărţii pe termen lung depinde de precizia procesului de localizare continuă. Parametrii descrişi în secţiunile anterioare (maturitatea, rezoluţia etc.) permit un control al preciziei hărţii rezultate, care pe lângă configuraţia mediului de operare şi robot, determină valabilitatea şi performanţele algoritmului. Se conturează astfel un set de dependenţe complexe care ne împiedică să determinăm parametrii optimi, o relaţie analitică, general valabilă. În figura următoare sunt redate rezultatele experimentelor efectuate pe cele două configuraţii de test propuse anterior utilizând trei spaţii de căutare pentru componenta de validare (înregistrare) a hărţii.

Spatiu de căutare  $+/-1$  celule,  $+/-1'$

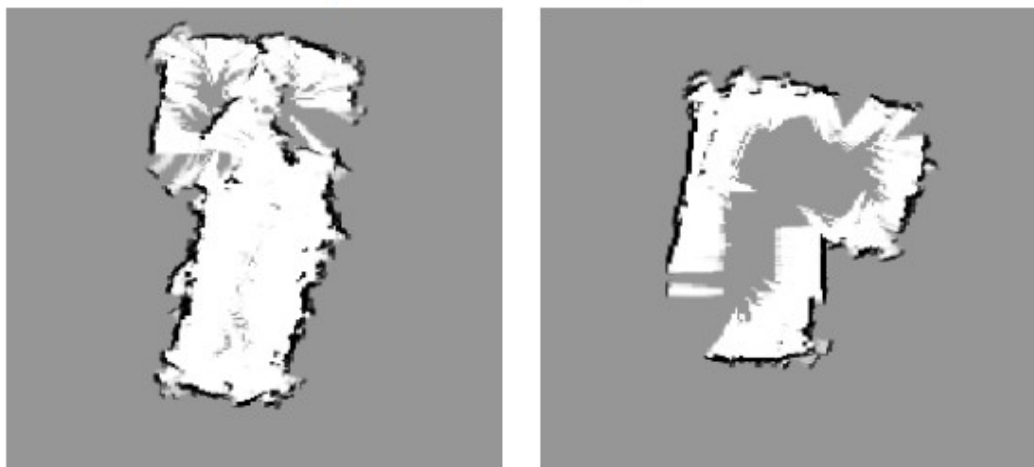
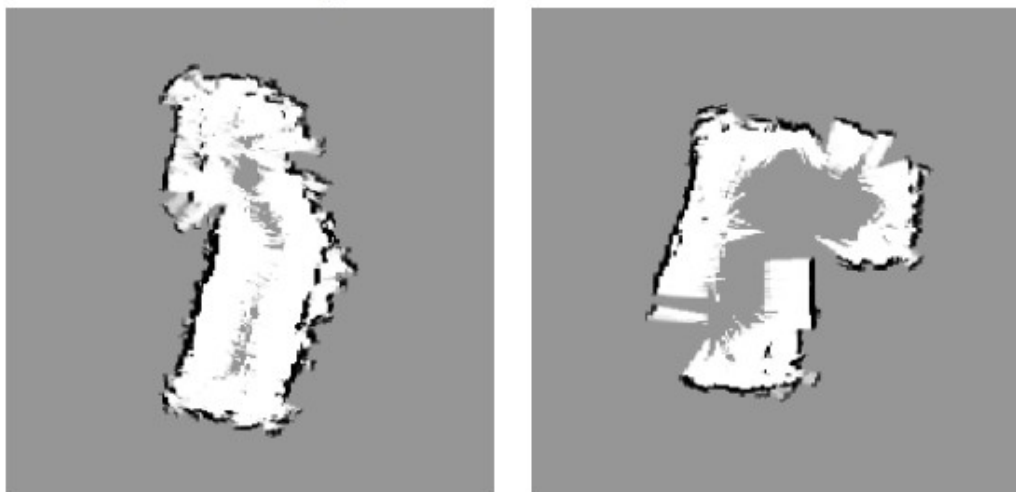


Figura 35 Rezultate pentru primul spațiu de căutare

Spatiu de căutare  $+/-1$  celule,  $+/-6'$



Spatiu de căutare  $+/-1$  celule,  $+/-3'$

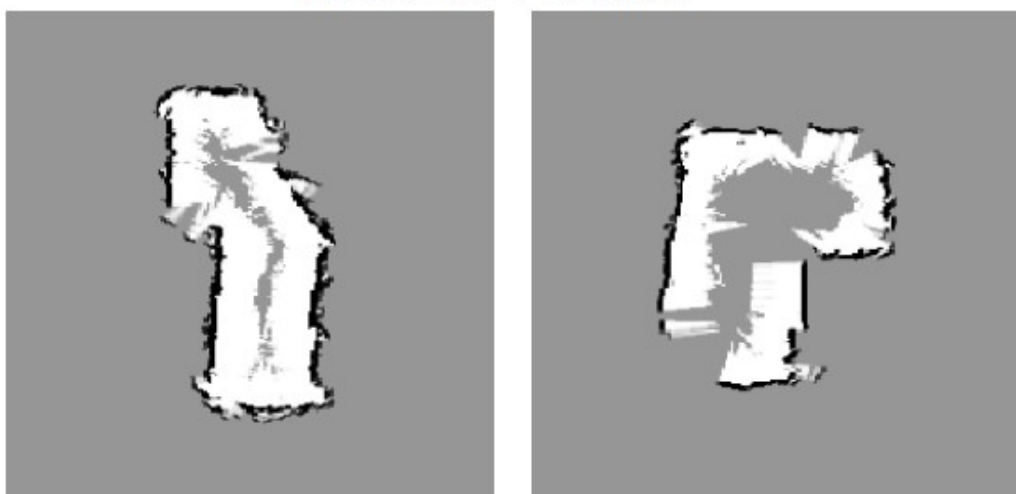


Figura 36 Rezultate pentru spații de căutare alternative

Se poate observa în figurile 35 și 36 că dacă se utilizează un spațiu de căutare mai mare se obține un efort computațional mai mare dar și performanțe mai scăzute. Această observație întărește argumentul conform căruia alegerea parametrilor depinde mult de aplicație. Astfel, utilizând un spațiu de căutare prea mare poate determina o validare (înregistrare) incorectă a hărților pe termen scurt, care determină la rândul lor sporirea erorii de odometrie cu implicații la crearea hărții și determinarea poziției robotului. În același mod, utilizând un spațiu de căutare prea mic localizarea continuă poate fi dezactivată și astfel erorile de odometrie nu pot fi eliminate. Pentru experimentele efectuate s-a ales ca spațiu de căutare perechea (+/- 1 celule de matrice de ocupare, +/- 3°) pentru a obține cele mai bune rezultate.

În ceea ce privește limitările, am menționat anterior ca localizarea continuă încearcă să corecteze poziția robotului prin compararea hărții pe termen scurt cu harta pe termen lung. Precizia acestui proces este crucială pentru eficiența întregului algoritm. Metoda propusă funcționează corespunzător atât timp cât există citiri de la senzori legate de cel puțin un obiect din mediu care să existe și în harta pe termen lung. Astfel se impune testarea în medii care nu conțin spații deschise mari, pentru a evita obținerea unei hărți vide pe termen scurt și astfel procesul de înregistrare nu va mai estima corespunzător eroarea de odometrie. În aplicația propusă sonarele din dotarea robotului mobil au o rază de acțiune de la 0 (20cm) la 6.45m și astfel cele mai bune rezultate se obțin în acest interval.

În final se poate concluziona că precizia globală a hărții și calitatea acesteia pot fi îmbunătățite prin utilizarea unor modele optimizate pentru senzori. O posibilitate ar fi utilizarea unei rutine de calibrare a modelor senzorilor utilizând o metoda de aproximare adaptivă (rețele neuronale, logică fuzzy) care să fie sensibilă la modificările asincrone din mediu și din caracteristicile senzorului. Se propune pentru nivelul de navigație implementarea unui algoritm de ocolire a obstacolelor sau un algoritm follow-the-wall simplu. Pentru a extinde capacitatea aplicației dezvoltate se poate utiliza abordarea bazată pe frontiere, dezvoltată de B. Yamauchi, [13], care definește frontiere între zonele ocupate și cele libere. Abordarea bazată pe frontiere ar spori capacitatea și precizia algoritmului dezvoltat prin faptul că utilizarea frontierelor ar determina adiția de mai multă informație hărții pe termen lung.

## **Capitolul 5**

**Sinteza nivelului de integrare a modulului  
de mapare cu aplicația de control în timp  
real pentru platforma robotică**

## **5. Sinteză nivelului de integrare a modulului de mapare cu aplicația de control în timp real pentru platforma robotică**

În capitolul curent sunt redate aspecte privind suportul hardware și software pentru implementarea modulului de mapare a mediului precum și nivelul de integrare cu aplicația de control în timp real. Astfel, în continuare sunt prezentate detalii privind platforma hardware de interfațare cu sonarele, descrierea aplicației de interfațare cu modulele cu sonar, suportul de nivel superior pentru aplicația de mapare și detalii privind proiectarea nivelului adaptor.

### 5.1 Suportul hardware pentru modulul de mapare a mediului

Modulul de mapare a mediului a fost proiectat ca o platformă hardware și software care se aducă noi funcționalități robotului mobil. Senzorii ultrasonici utilizați au fost prevăzuți cu o placă auxiliară (module LV-MaxSonar-EZ0, [39]) care să realizeze condiționarea (filtrare, atenuare, amplificare) semnalului, demultiplexarea și conversia informației de distanță în mai multe forme, accesibile modulului cu MCU pentru prelucrare (semnal modulat PWM, semnal analogic, UART RS232). Modulul cu MCU este o placă de dezvoltare Olimex cu LPC2148 de la NXP, [38] și interfețează cu modulele cu sonar, determinând și o tensiune de alimentare filtrată și constantă pentru acestea cu ajutorul unei plăci cu 5 surse comandate cu LM317. În continuare sunt redate detalii privind proiectarea și implementarea modulului hardware dar și a aplicației software de interfațare cu sonarele.

#### 5.1.1 Descrierea platformei cu sonare

Modulul cu MCU responsabil de interfața cu modulele cu sonare se bazează pe un MCU NXP LPC2148 de 32 de biți care are în componență un nucleu ARM din familia ARM7TDMI-S. Acest MCU s-a dovedit a fi soluția ideală pentru problema de proiectare propusă întrucât are un consum de putere redus și oferă performanțe foarte bune precum și un set puternic de periferice. LPC2148 prezintă on-chip, 40kB memorie SRAM, 32kB uz general + 8kB utilizăți de modulul DMA pentru USB, 512kB memorie FLASH programabilă cu o interfață de accelerare de 128 de biți pentru a asigura viteze mari de acces la 60 MHz. O interfață ISP/IAP este deosebit de prezentă prin intermediul unui bootloader on-chip pentru

scrierea și citirea memoriei FLASH de program alături de un modul EmbeddedICE pentru debugging în timp real. Platforma prezintă deasemenea un controller USB2.0 cu 2kB de RAM pentru endpoint. Dintre modulele periferice se pot aminti, 2 convertoare ADC de 10 biți cu 14 canale și un timp de conversie de 2.44μs pe canal și un singur DAC de 10 biți pentru generarea de tensiuni variabile la ieșire, [40]. Arhitectura internă a LPC2148 este redată în figura următoare.

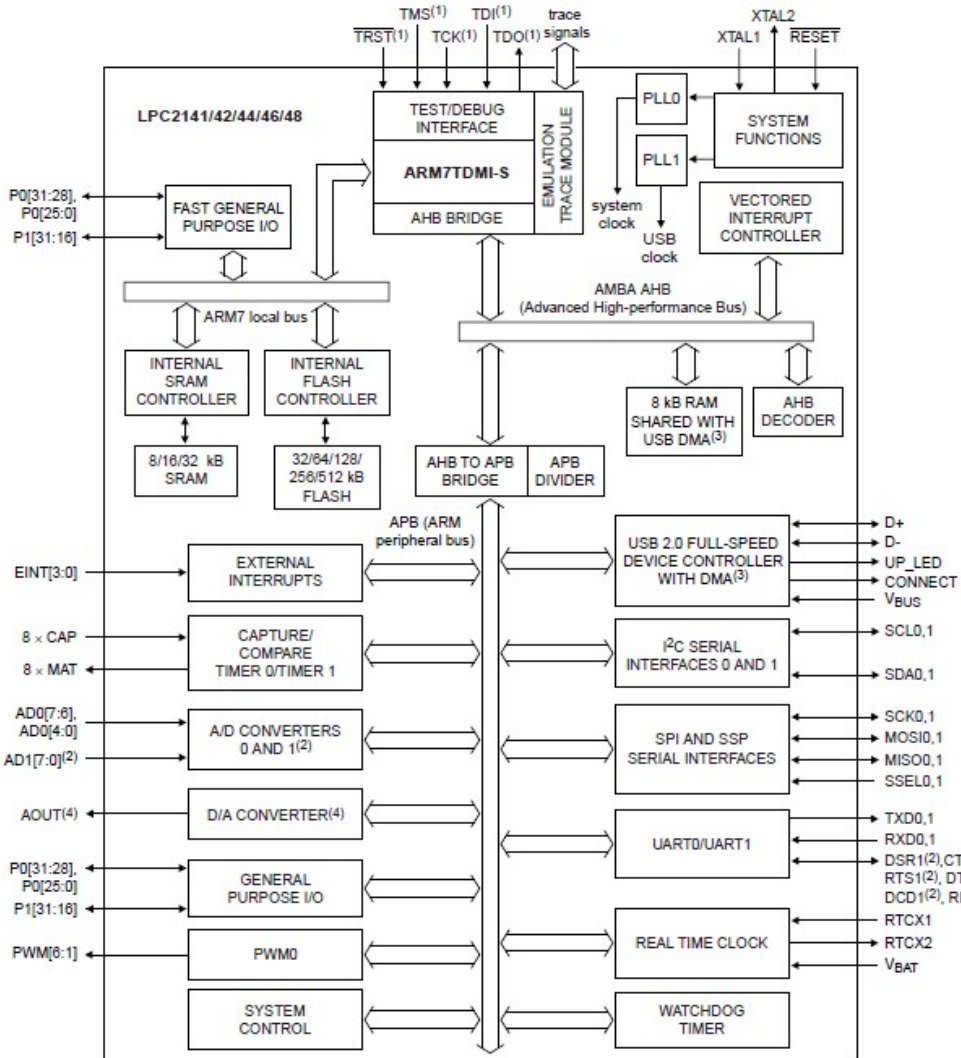


Figura 37 Arhitectura internă a MCU LPC2148 ARM7TMDI-S

Pentru temporizări LPC2148 prezintă în structură 2 timere de 32 de biți pentru măsurarea intervalelor de timp sau numărarea evenimentelor externe. Modulele timer prezintă 4 unități input capture și output compare, o unitate de generare PWM și un watchdog. Componența de comunicație serială este definită de prezența a două module UART, 16C550, două magistrale I2C de mare viteză (400kbit/s), un controller SPI și SSP cu capacitate de buffering și transfer cu pachete de date cu lungime variabilă. Sistemul de întreruperi se bazează pe un controller cu

vectori de înterrupere cu priorități. Pentru a determina un consum de putere redus MCU este prevăzut cu o gama largă de facilități, cum ar fi scalarea frecvenței funcție de încărcare pentru optimizarea consumului, activarea / dezactivarea individuală a perifericelor.

Platforma embedded cu MCU LPC2148 utilizează un design eficient destinat aplicațiilor de mică anvergură, cu consum redus de putere și capabilități IO sporite. În continuare este redată schema modulului cu LPC2148.

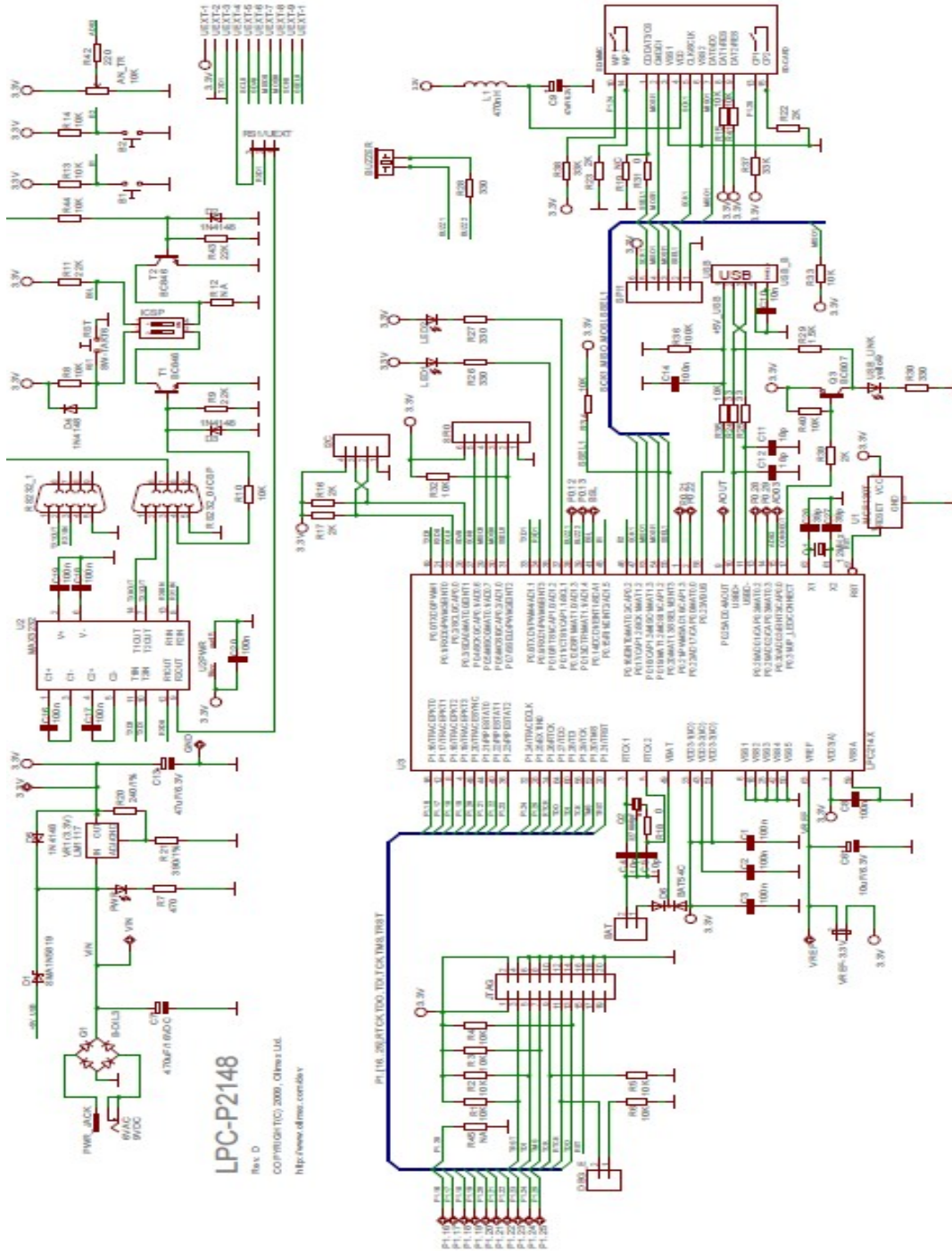


Figura 38 Schema modulului cu LPC2148 pentru interfațarea cu sonarele

Platforma cu LPC2148 a fost prevăzută cu o conectică extinsă pentru aplicații embedded variate. Astfel, pe placa de dezvoltare se găsește un modul de debugging JTAG, care este utilizat pentru programarea memoriei on-chip FLASH de program prin intermediul portului paralel utilizând utilitarele H-JTAG și H-FLASHER. Pentru stocarea parametrilor sau pentru logging platforma are prevăzut un connector și modul de interfațare pe SPI pentru carduri SD/MMC. Pentru a spori funcționalitatea platformă este prevăzută cu un conector USB tip B pentru aplicații specifice de transfer de date sau VirtualCOM. Pe lângă aceste facilități platformă prezintă extensii și elemente IO necesare simulării sau utilizării în aplicații simple (push-buttons, trim-pot, buzzer). În aplicația curentă cele două porturi UART au fost programate individual pentru a servi în două taskuri concurente. Astfel, interfața full-modem prezentă la UART1 este utilizată pentru a interfața cu un modul GPS care emite pe suport RS-232 informația împachetată NMEA pentru validarea poziției robotului în operarea out-door. În același timp interfața UART0 este configurată pentru a transmite pachete cu informația de distanță de la sonare către modulul embedded, cu CPU Intel Atom D525 de pe robot, responsabil cu implementarea taskurilor de control, monitorizare și comunicație.

Modulele cu sonare prezintă capabilități extinse de prelucrare a informației brute de la senzorii ultrasonici oferind 3 posibilități de reprezentare a informației de distanță. Platformă cu senzor ultrasonic este echipată cu un MCU PIC16F676 care are rolul de a prelua informația brută de la senzorii ultrasonici și de a realiza transformarea acestei informații în semnal PWM (147 $\mu$ s/in), analogic (Vcc/512)/in și Serial 0-Vcc, 9600-8n1. În continuare este redată schema unui modul cu sonar, în structura robotului existând 5 module de acest gen conectate în cascadă.

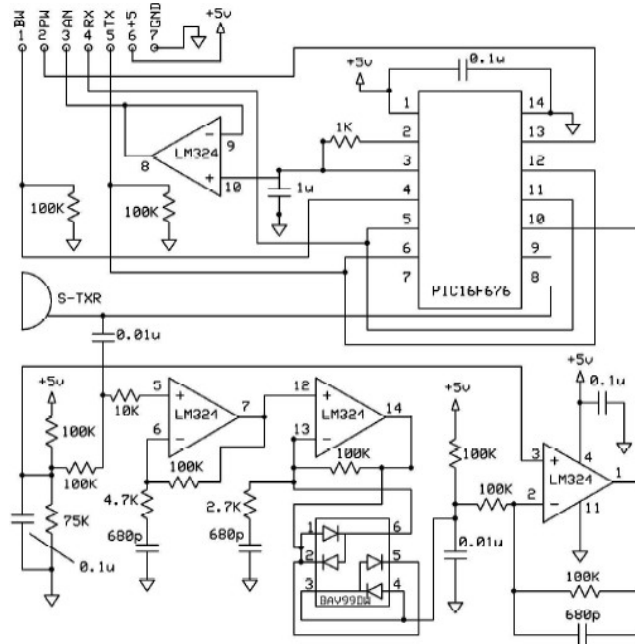


Figura 39 Modul de interfațare cu senzorii ultrasonici

În continuare sunt redate câteva aspecte privind temporizările la citirea informației de distanță și modul de operare al acestor module. Astfel, modulul cu sonar poate primi comandă de start achiziție informație la activarea semnalului RX la 250mS după pornire. În cazul în care pinul RX este lăsat în gol sau conectat la 1 logic, senzorul va realiza un ciclu de calibrare de 49mS și apoi va realiza citiri la fiecare 49mS, pinul RX fiind verificat mereu la finalul fiecărui ciclu. La fiecare 49mS după ce are loc citirea informației modulul trimite 13 unde de 42KHz după care setează pinul de pulse width, PW, în 1 logic. La recepția ecoului (la întâlnirea unui obiect) pinul PW comută în 0 logic. În cazul în care nu se detectează niciun obiect pinul PW este ținut în 1 logic 37.5mS și diferența de 4.7mS (49mS-37.5mS) este dedicată ajustării semnalului analogic la un nivel corespunzător. Important de menționat este faptul că atunci când se măsoară o distanță mare imediat după măsurarea unei distanțe mici valoarea semnalului analogic poate să nu fie la nivelul corespunzător după primul ciclu.

După cum am menționat anterior în momentul în care modulul cu sonar este alimentat acesta execută un ciclu de calibrare în primul ciclu de citire. Această informație de calibrare este utilă pentru a stabili sensibilitatea citirilor. Obiectul utilizat pentru calibrare trebuie să se afle la o distanță potrivită ținând cont și de performanțele specificate în documentație (detecție efectivă 0.2m-6.45m). Senzorul nu compensează variațiile de temperatură, umiditate sau tensiune de alimentare și de aceea este necesar un ciclu de calibrare de fiecare dată.

Pentru a asigura secvențierea în citire a informației de la sonare au fost propuse mai multe metode. Prima conexiune propusă este secvențierea utilizând o buclă comandată, [39]. Exemplele de conectare sunt redate în figurile următoare pentru un număr de 3 sonare, putând exinde structura pentru cele 5 sonare utilizate în structura robotului mobil.

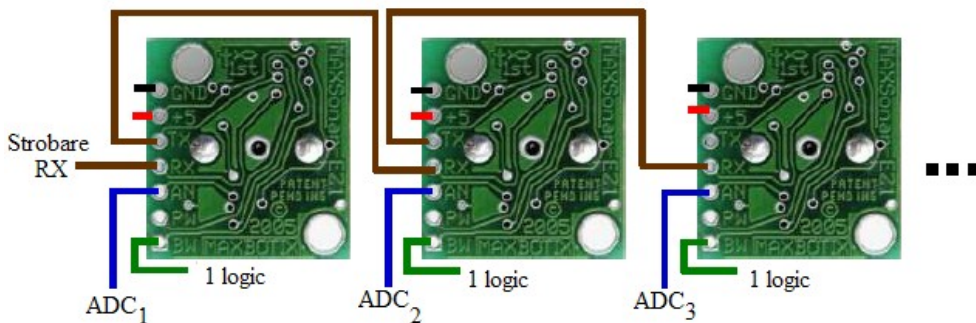


Figura 40 Conecțarea în cascadă a modulelor cu sonar în buclă comandată

În configurația prezentată mai sus se conectează pinul TX cu pinul RX de la modulul următor și se asigură că pinul de bandwidth, BW, este conectat la 1 logic. Pentru a asigura secvențierea citirilor se realizează strobarea pinului RX de la primul modul, informația de distanță putând fi citită pe intrările ADC ale MCU.

A doua configurație propusă pentru conectarea cascadată a modulelor cu sonare este redată în continuare, această configurație asigurând față de prima o funcționare continuă în buclă constantă oferind la ieșire ultima valoare citită a distanței, [39].

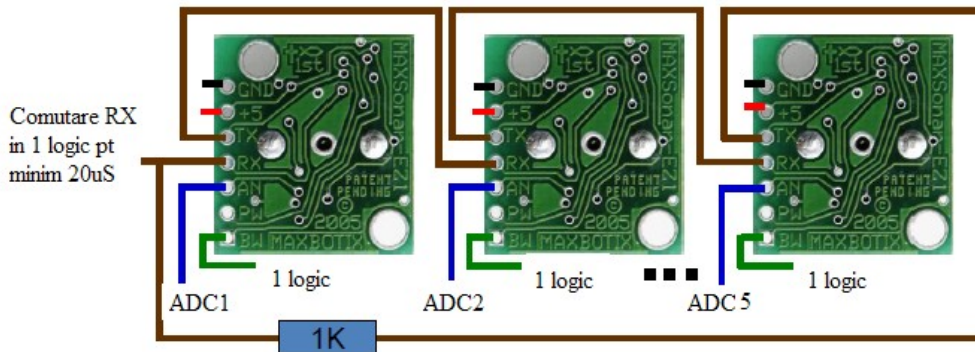


Figura 41 Conecțarea în cascadă a modulelor cu sonar cu buclă constantă

Comparativ cu prima configurație se adaugă un rezistor pe reacție de la pinul RX al modulului 5 până la pinul TX al modulului 1. Apoi, pentru a asigura pornirea modulelor se conectează pinul RX la 1 logic pentru 20uS după care MCU va pune acest pin în HZ pentru a asigura închiderea buclei de la ultimul modul la primul modul. În acest mod se asigură funcționarea în cascadă și inelul de senzori va cicla continuu menținând validitatea valorilor citite. Pentru a asigura o tensiune de alimentare stabilizată pentru modulele cu sonare a fost proiectată și o placă cu 5 surse comandate cu LM317 și tranzitoare. Această placă are rolul de a seta tensiunea de alimentare a modulelor (între 2.5V și 5.5V) și de a asigura filtrarea tensiunii de alimentare, întrucât aceasta influențează și citirile. Placa adițională se alimentează la 12V, direct de pe bateria robotului și circuitul LM317 are rolul de a stabili la ieșire o tensiune constantă, stabilizată și filtrată proporțională cu valoarea de reglare de pe terminalul adjust. Pentru a permite o comandă precisă s-a utilizat un tranzistor bipolar pnp care are emitorul conectat la terminalul de output a regulatorului, LM317 și colectorul la pinul de Vcc al modulului cu sonar. Comanda este dată de pe un pin de GPIO al MCU LPC2148 care este conectat în baza tranzistorului. Acest modul adițional asigură și un al doilea mod de secvențiere a citirii de informație de la modulele cu sonar. În continuare este prezentată schema pentru modulul de alimentare a modulelor cu sonar care asigură și interfața cu modulul cu LPC2148.

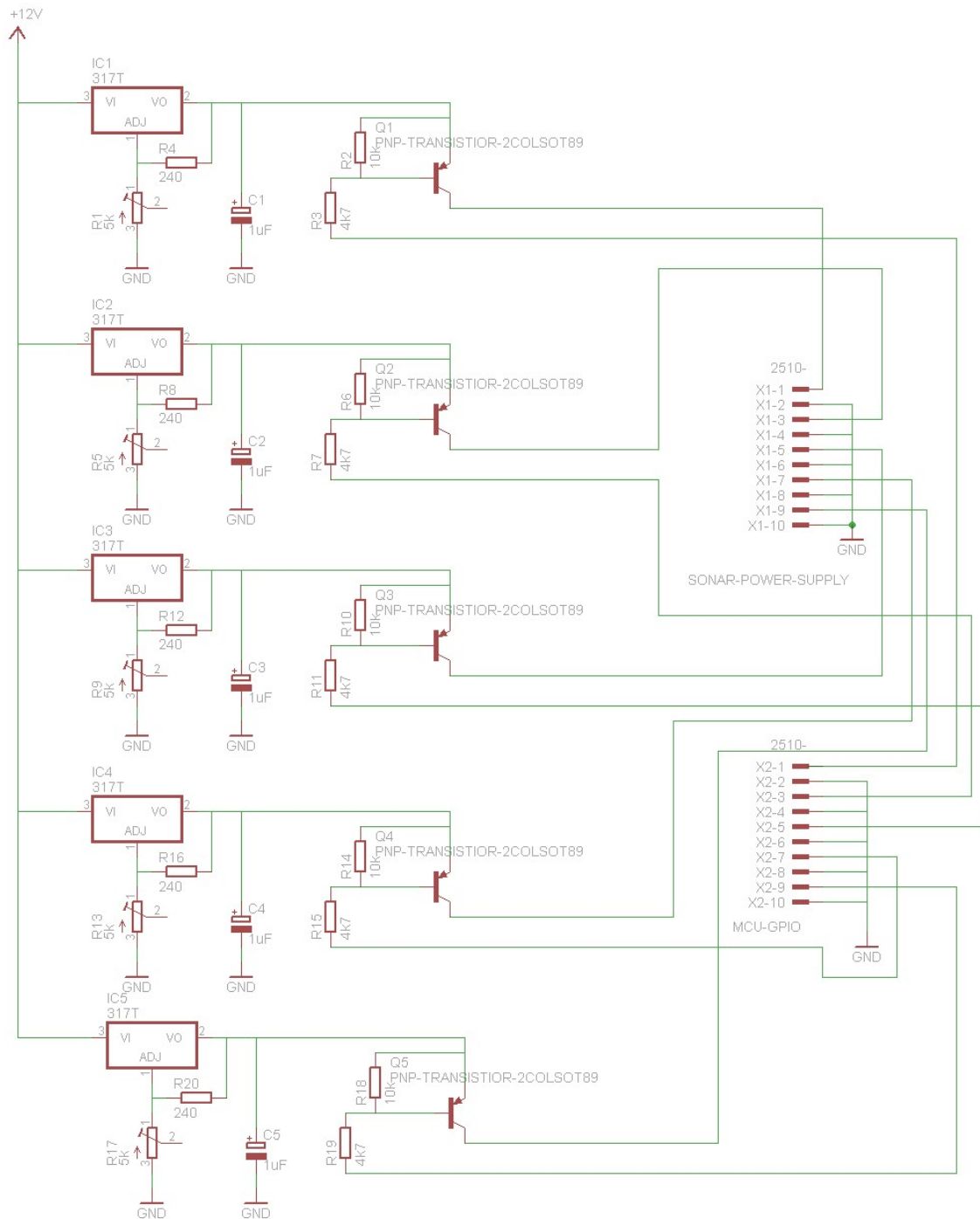


Figura 42 Modulul de alimentare și de interfață cu sonarele pentru LPC2148

De-a lungul etapei de dezvoltare și implementare au fost întâlnite câteva probleme privind secvențierea sonarelor pentru citiri. Astfel, deși au fost testate toate configurațiile de cascadare, soluția finală a fost una modificată, specifică problemei curente. Pornind de la configurația buclei comandate, s-au utilizat și câteva modificări privind modul de comandă individual al modulelor cu sonar întrucât au apărut probleme la temporizări, probleme

Capitolul 5 - Sinteza nivelului de integrare a modulului de mapare cu aplicația de control în timp real pentru platforma robotică manifestate datorită modului în care citirile sunt efectuate de către MCU și momentul în care modulul cu sonar oferă informație de distanță validă.

În continuare sunt redată câteva aspecte privind proiectarea și implementarea aplicației de interfațare cu sonarele și de comunicare cu platforma embedded de control și monitorizare a robotului mobil.

### 5.1.2 Descrierea aplicației de interfațare cu sonarele și interacțiunea cu nivelul superior

Modulul cu LPC2148, destinat interfațării cu sonarele și responsabil de a oferi informația de distanță nivelului superior de control, rulează o aplicație C (5kB) în timp real. Aplicația are mai multe niveluri, fiind ierarhizată funcție de apropierea de hardware sau de nivelul superior de comunicație cu aplicația de conducere în timp real. Astfel, la baza aplicației ce rulează pe platforma cu LPC2148, se află rutine software de inițializare a sistemului și a perifericelor. Ierarhia aplicației este descrisă în figura următoare, fiind definite 3 nivele, nivelul de bază de acces la hardware, nivelul funcțional intermediar și nivelul superior al aplicației.

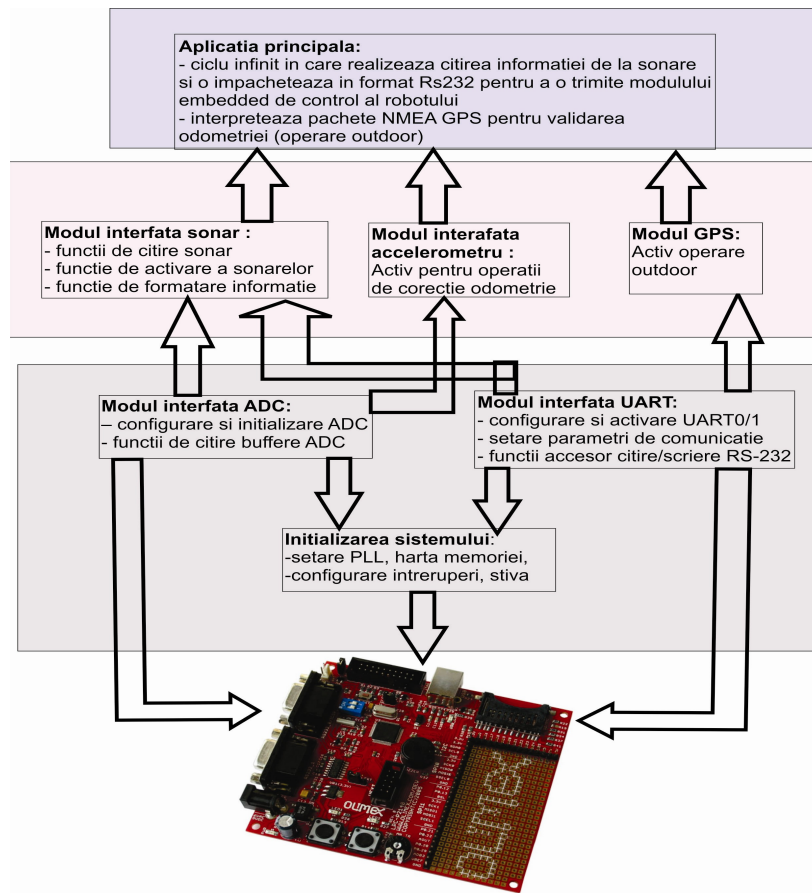


Figura 43 Ierarhia aplicației de interfațare cu sonarele, GPS și accelerometru pt. LPC2148

Modulul principal utilizat în aplicația de față este modulul de interfațare cu convertoarele ADC ale LPC2148. Acest modul implementează funcții pentru inițializarea convertoarelor ADC de 10 biți prezente în structura de MCU LPC2148, setează funcțiile specifice pentru pinii ADC, power control, resetarea conversiilor și biții de control. Deasemenea acest modul exportă funcționalitate pentru setarea frecvenței de operare pentru ADC și activarea modului de operare pentru achiziție controlată software. Pe lângă funcția de inițializare modulul de interfațare cu ADC, implementează și două funcții de citire a canalelor convertoarelor ADC0 și ADC1. Astfel, se setează un anumit canal de citire, activând conversia, se setează apoi registrul de date corespunzător și după finalul conversiei se realizează izolarea rezultatului conversiei. Următorul modul de bază din nivelul inferior este modulul de inițializare a sistemului. Acest modul are rolul de a inițializa diferențele subsisteme ale MCU, biți pentru modurile de control și întreruperi. O altă funcție a acestui modul este de a seta configurația stivei și memoriei heap, configurația frecvențelor de lucru pentru periferice, PLL și memorie, controllerul de memorie externă și vectorii de întrerupere. Acest modul comunică cu modulul de interfață UART întrucât acesta are rolul de a seta frecvențele de lucru pentru periferice, implicit și pentru UART. În modulul de interfață UART se configurează bucla PLL și frecvența de lucru funcție de frecvența CPU, apoi se utilizează două funcții de inițializare a celor două porturi UART0/1. Pentru a accesa informația serială au fost dezvoltate două tipuri de funcții accesori, de preluare și de scriere a unui caracter sau sir de caractere pe linia serială RS-232. Pe lângă aceste funcții de bază au fost dezvoltate și funcții auxiliare cu rolul de a converti octeți binari în ASCII pentru transmiterea pe linia serială.

Cele două module din nivelul de bază exportă funcționalitatea nivelului funcțional intermediar, care asigură interfața cu sonarele, cu GPS-ul și cu modulul cu accelerometru. Modulul de interfață cu sonarele prezintă intern funcții dedicate pentru citirea informației de la un anumit sonar folosind apeluri de funcții specifice convertorului ADC corespunzător unde este conectat sonarul. Informația preluată este scalată pentru a obține o reprezentare consistentă. Pe lângă funcționalitatea de citire a sonarelor, acest modul de interfață oferă funcții speciale pentru activarea sonarelor (setarea pinilor de BW, band-width) al modulelor cu sonar, funcție pentru strobarea semnalului RX pentru operarea în cascadă. Deasemenea acest modul exportă o funcție de întârziere în us pentru secvențierea achiziției datelor și o funcție de formatare a datelor pentru transmisia către modulul superior de conducere și monitorizare al robotului mobil.

Celelalte două module din nivelul funcțional intermediar, modulul de interfață cu GPS și cel de interfață cu accelerometru au rolul de a asigura un mecanism de validare a

odometriei. În primul caz modulul de interfață cu GPSul are rolul de a receptiona, filtra și parsa pachete GPS NMEA pentru extragerea informației de poziție. După parsarea și extragerea informației utile din pachete, se calculează coordonatele latitudine-longitudine la nivel de grade-minute-secunde. Apoi setându-se o origine, referință, se determină poziția în plan a robotului. Această poziție va fi comparată cu informația de la encodere și va determina o corecție a poziției robotului. De menționat ca această funcționalitate este disponibilă numai în funcționarea out-door și cu erori specifice GPS de până la 5m. Un al doilea mecanism dezvoltat pentru corecțiile informației odometrice este modulul cu accelerometru. Acesta implementează o interfață minimală cu un accelerometru Freescale MMA7360L pe 3 axe(acces buffere ADC conectate cu ieșirile în tensiune X, Y ale accelerometrului). Informația de accelerare este supusă unor prelucrări recursive de integrare, filtrare și estimare pentru a obține informația de poziție. De-a lungul testelor s-a observat că problemele care apar funcție de pasul de integrare, metoda de integrare și tehnica folosită pentru filtrare (filtru Kalman) pot degrada informația de poziție. Pentru moment această funcționalitate este destinată îmbunătățirilor viitoare prin determinarea unui algoritm eficient de extragere a informației dorite în contextul minimizării sau menținerii constante a erorii care se acumulează la integrare.

Ultimul nivel al aplicației de interfațare cu sonarele este nivelul superior de execuție și comunicație cu platforma embedded de control și monitorizare a robotului mobil. Această componentă are rolul de a inițializa platforma și de a asigura activarea sonarelor și citirea sonarelor prin secvențierea marcată de strobarea pinului RX al primului sonar din inel. La fiecare pas de eșantionare se citește informația, se formatează corespunzător și se transmite pe linia serială. Pentru a evita valori extreme (instantane) se realizează și o mediere a valorilor citite înainte de a fi împachetate și trimise pe linia serială.

Interacțiunea cu nivelul superior de conducere și monitorizare a robotului mobil se realizează printr-o conexiune serială RS-232 între modulul cu LPC2148 și modulul cu CPU Intel Atom D525. Informația transmisă de modulul cu LPC2148 este reprezentată sub forma unor pachete de date care conțin valoarea distanței (în hexazecimal) de la sonar până la cel mai apropiat obiect pentru fiecare din cele 5 sonare. Pachetele au un caracter special „>” considerat antet, iar câmpul de date conține caracterul „, ” între valorile hexa pe 16biți corespunzătoare fiecărui sonar. Valorile din câmpul de date sunt reprezentarea ASCII a valorilor citire de la ADC0/1 (valori de 10 biți). Secvențierea pachetelor se realizează utilizând CR și NL (0x0D, 0x0A).

În continuare este prezentată implementarea suportului de nivel superior pentru mapare utilizând informația de la modulul de interfață cu sonarele. Se vor urmări aspecte privind bucla

Capitolul 5 - Sinteză nivelului de integrare a modulului de mapare cu aplicația de control în timp real pentru platforma robotică de control în timp real și modul în care este preluată și prelucrată informația de la sonare precum și modul în care informația recepționată este exportată către clientul distribuit cu rolul de a implementa algoritmul SLAM offline.

## 5.2 Suportul de nivel superior pentru maparea mediului

Arhitectura sistemului software, pentru conducerea și monitorizarea robotului mobil dezvoltat, are la bază o aplicație C++ care rulează pe unitatea de procesare embedded cu CPU Intel Atom D525, [41, 42], sub Linux-RTAI-Comedi și oferă accesul direct la senzorii și actuatorii robotului prin placa de achiziție. Aceasta prin intermediul unor threaduri server (de control și de date) oferă o interfață de control aplicației client Java permitându-i să activeze execuția fazelor și să primească informații direct de la senzorii robotului. Aplicația Java are rolul de a asigura activarea sau dezactivarea fazelor de execuție ale robotului prin utilizarea unui instrument care-i permite să determine o execuție secvențială sau paralelă a taskurilor robotului, numit Grafset. Structura se poate extinde cu un client Java cu drepturi restrâns cu rolul doar de a monitoriza execuția și de a primi informații despre starea sistemului, care în cazul de față va avea rolul de a implementa algoritmul de mapare a mediului utilizând offline SLAM.

Urmând o vedere de ansamblu aplicația dezvoltată se bazează pe un tip de dezvoltare orientată obiect care conferă flexibilitate și extensibilitate. În cele ce urmează sunt descrise detaliile de implementare a suportului concurrent pentru realizarea taskurilor de conducere, monitorizare și achiziție de date pentru maparea offline a mediului.

### 5.2.1 Operarea multitasking concurrent pentru conducere și mapare offline

Aplicația de control tolereant la defecte în timp real ce rulează pe platforma embedded din structura robotului oferă suportul execuției a 2 macro-taskuri. Taskul de control implementează două bucle de conducere PI pentru reglarea turației actuatorilor (MCC) și o buclă externă de control a traectoriei pentru operarea în regim trajectory tracking. Bucla de control este închisă de o cale de reacție cu senzori care oferă informație utilă pentru odometrie și pentru implementarea celui de-al doilea macro-task, taskul de monitorizare și detectie a defectelor. Acest task, preia informație de stare de la reacția buclei și aplicând

informația unui banc de filtre Kalman poate identifica apariția și discrimina defectele apărute în structura robotului în timpul operării.

Taskul de mapare offline la nivelul platformei embedded se concretizează doar într-un nivel de achiziție a datelor și de transmisie către clientul care implementează offline algoritmul SLAM. Efectiv în cadrul ciclului de control primar (terminologie definită în cadrul arhitecturii aplicației de control tolereant la defecte) se realizează achiziția de informație de la senzori și se calculează comanda către actuatori la fiecare perioadă de eșantionare. Pe lângă aceste prelucrări, în această problemă propusă pentru proiectare, se adaugă variabile și funcții accesoriu specifice pentru interfațarea cu modulul embedded cu LPC2148 responsabil cu achiziția de date de la sonare.

Astfel, comunicația cu modulul de interfață cu sonarele se realizează prin intermediul unei conexiuni seriale RS-232, care determină transferul de pachete cu informația de distanță de la sonare. În ciclul principal (alături de taskul de control și odometrie) se inițializează dimensiunea bufferului de recepție pentru pachetele conținând informația de distanță de la sonare. Apoi se inițializează elementele specifice pentru parsarea pachetelor (separatori câmp de date, headere) și variabilele care vor reține informația de distanță accesibilă pentru operația de mapare. Următorul pas este inițializarea descriptorului pentru controlul modemului pe linia RS-232. Pentru a realiza conexiunea cu modulul de interfață cu sonarele a fost creată o funcție de accesare și setare a parametrilor de comunicație pentru linia serială. Astfel, după accesul la dispozitivul serial, se salvează atributurile curente de comunicație ale liniei și se inițializează o instanță de configurare nouă. Se setează în continuare parametrii de comunicație (baudrate, paritate, dimensiunea caracterelor, caractere de control și disciplina pe linie, activare procesare canonica) și se reinițializează modemul utilizând funcții de nivel jos de control al io (ioctl).

Ciclul principal implementează funcția control() care va fi executată la fiecare iterație (la fiecare perioadă de eșantionare) implementând taskul de control și de achiziție de date pentru mapare. Astfel, la fiecare perioadă de eșantionare se citesc 30 de octeți (dimensiunea fixată a pachetului cu informație de distanță de la modulul cu sonare) de pe linia serială și se plasează în buffer. După citirea bufferului se realizează o operație de parsare a bufferului și se extrage din câmpul de date informația de distanță codificată ASCII hex pentru fiecare sonar. După extragerea informației aceasta se convertește în format zecimal pentru a putea fi ușor prelucrată în algoritmul de mapare SLAM. Alături de informația de la sonare se construiește și vectorul de valori ce conține informația de odometrie, de la encodere.

În continuare este prezentat mecanismul de implementare a nivelului adaptor, care va realiza schimbul de informație între aplicația server ce rulează pe robot și aplicația client care va executa algoritmul offline SLAM. În acest caz nivelul adaptor a fost implementat foarte simplu, pentru a elimina componente software adiționale de transfer a informației împachetate pentru TCP/IP (care ar putea introduce latențe) s-a utilizat tehnologia NFS (Network File System). Astfel, în aplicația server ce rulează pe robot, informația odometrică și cea achiziționată de la sonare poate fi ușor scrisă în fișiere pe disk. Pentru a permite accesul aplicației client la aceste fișiere se utilizează partajarea prin intermediul NFS. În acest mod, după achiziția informației, scrierea în fișier și eliberarea descriptorilor de fișier, fișierele sunt accesibile remote și clientului care poate prelua informația pentru algoritmul de mapare a mediului. Efectiv acest mecanism presupune utilizarea unei aplicații server daemon, nfsd, pe ambele mașini și astfel fișierele cu parametrii pentru mapare să se afle de fapt local pe mașina client (unde va rula algoritmul SLAM) și (aceste fișiere) să fie disponibile pentru scriere prin montare remote pe mașina server.

Astfel se realizează un mod eficient de acces partajat la fișierele cu informație pentru maparea mediului, setând drepturi de acces specifice clientului respectiv, funcție de arhitectura sistemului distribuit.

În continuare sunt analizate performanțele abordării propuse.

### 5.2.2 Analiza rezultatelor

În capitolul curent sunt prezentate aspecte de analiza a rezultatelor de validare obținute de algoritmul de mapare a mediului pentru aplicația dezvoltată. Pornind de la exemplele de configurații de mediu prezentate în capitolul 4, la prezentarea metodei, în cele ce urmează sunt redate rezultatele obținute în operarea robotului pentru 2 medii benchmark.

Prima configurație de mediu utilizată la validare este o cameră formată din două arii compuse care introduce și problema mapării zonelor deschise și se va analiza astfel și modul în care algoritmul propus poate rezolva această problemă. Pentru primul test de validare se va parameteriza algoritmul de mapare astfel încât să se poată analiza performanțele și compromisurile care se pot face pentru a îmbunătăți rezultatele. În figurile minime care redau mediul de test este redată și poziția de start a robotului, poziția de odometrie 0.

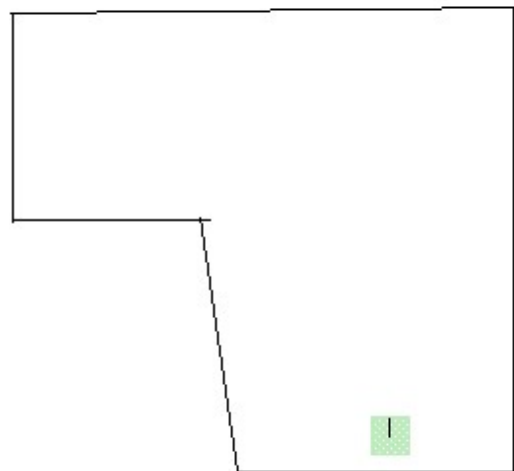


Figura 44 Harta minimală a camerei pentru primul test de validare

Etapa de explorare a mediului este prezentată în continuare, astfel putem observa care a fost comportamentul robotului și astfel se poate justifica cum anumite porțiuni din hartă sunt mai bine reprezentate și altele mai slab funcție de numărul de citiri și de modul în care robotul a parcurs mediul.

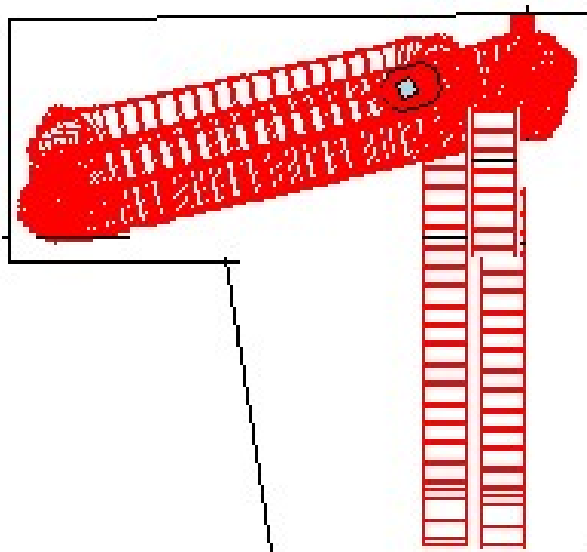


Figura 45 Etapa de explorare a mediului în vederea mapării

În figura următoare este prezentată harta obținută în urma execuției algoritmului SLAM offline ce rulează pe mașina client distribuit în etapa de validare.

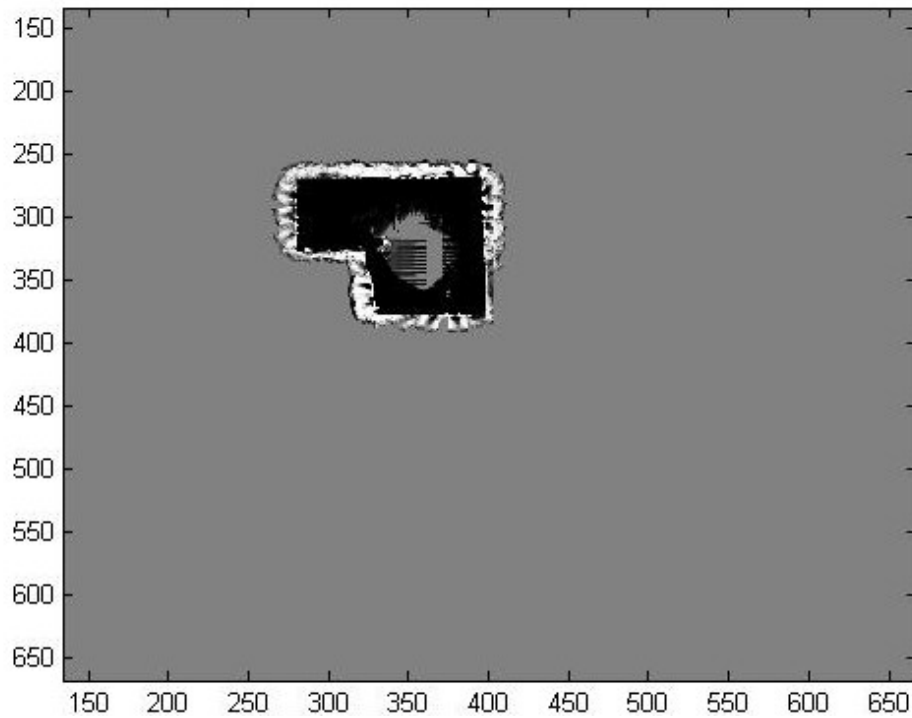


Figura 46 Harta obținută cu algoritmul SLAM offline

Se poate observa din figură că rezultatul mapării este satisfăcător, conturul și ariile sunt bine definite și suprafața este acoperită complet. Testul de validare a fost completat cu încă un caz de parametrizare a algoritmului. Astfel, se prezintă contextul în care numărul de citiri de la sonare este dublat, se realizează astfel mai multe citiri și precizia de reprezentare a hărții este mai bună.

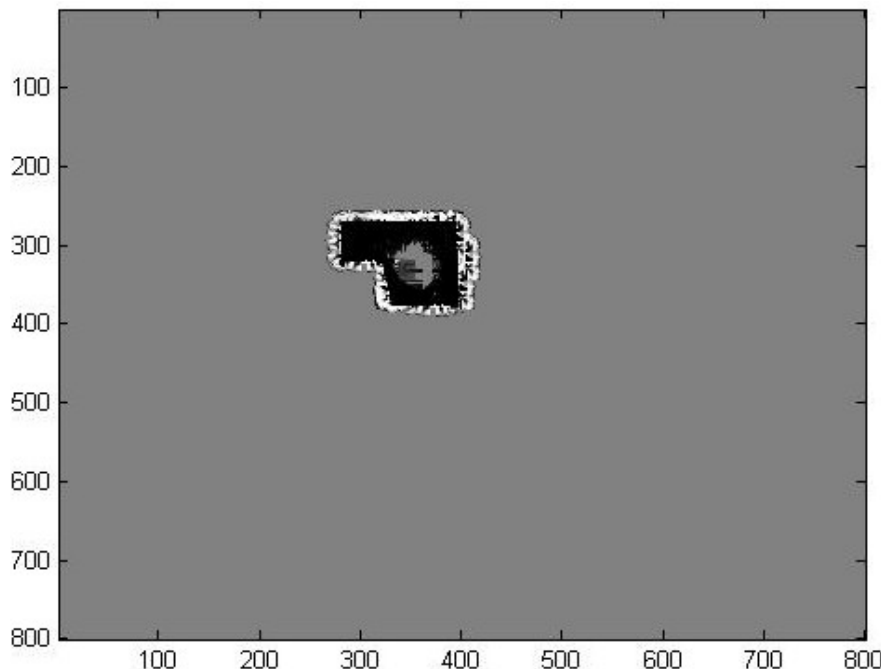


Figura 47 Harta obținută cu algoritmul SLAM offline (nr. citiri sonare dublat)

Se poate observa în figura de mai sus ca anumite porțiuni ale conturului hărții sunt mai bine definite acum și calitatea este sporită. Pentru a realiza acest lucru însă a apărut un compromis la nivelul vitezei de rulare pentru a permite robotului să surprindă cât mai multă informație din mediu. Al doilea test de validare s-a realizat pe o configurație de corridor cu profil  $\cap$ . Profilul celei de-a doua configurații de mediu pentru validare este redată în figura 48.

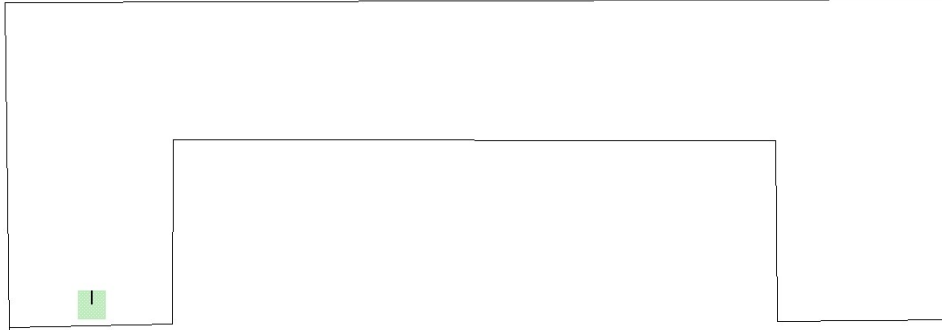


Figura 48 Harta minimală pentru al doilea test de validare – corridor

Pentru a da o imagine completă, dimensiunile configurației pentru cel de-al doilea test de validare sunt de 14.8m pentru ramurile simetrice laterale, 26.6m distanță între cele două ramuri și 2.7m lărgimea corridorului. După etapa de achiziție a datelor și de execuție a algoritmului SLAM s-a obținut următoarea reprezentare a mediului.

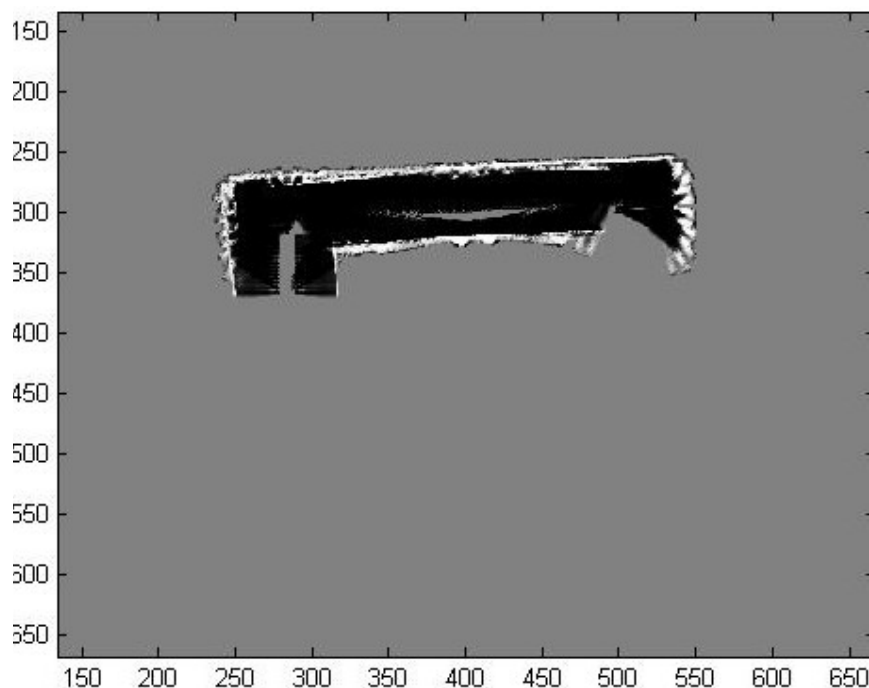


Figura 49 Harta obținută cu algoritmul SLAM offline

Acestă figură surprinde foarte bine una din limitările algoritmului în ceea ce privește ponderea valorilor citite de sonare, în speță a valorilor aflate la distanță de robot. Un alt aspect se referă la zonele explorate de robot în scopul mapării. Astfel, în continuare pentru a valida harta obținută anterior se prezintă modul în care robotul a parcurs harta propusă la validare.

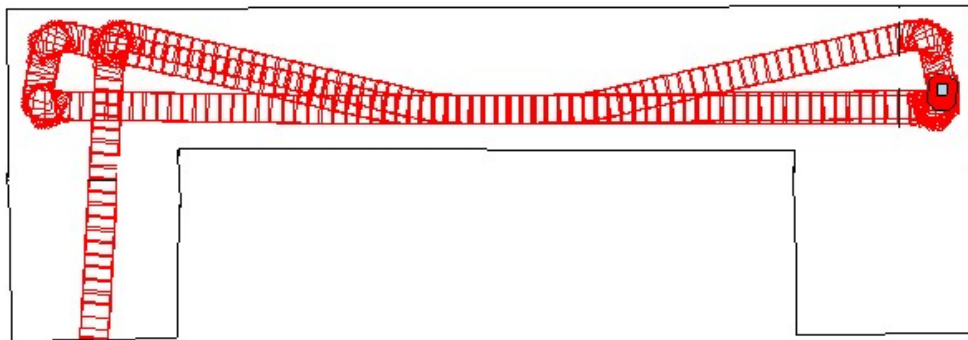


Figura 50 Etapa de explorare a mediului în vederea mapării

După cum se poate observa ramura din dreapta nu a fost parcursă efectiv de robot și astfel măsurătorile de la sonare pentru acea zona au o pondere mică care va determina o reprezentare slabă a acelei zone.

În decursul acestui capitol au fost prezentate aspecte de sinteză hardware și software pentru modulul de mapare a mediului propus în problema de proiectare. Pe lângă aspectele descriptive au fost analizate și două cazuri în care algoritmul SLAM și întreaga arhitectură au fost testate în scopul validării metodei dezvoltate. Analiza rezultatelor a avut rolul de a descrie avantajele și limitările metodei propuse.

# **Capitolul 6**

**Concluzii**

## 6. Concluzii

În lucrarea de față a fost introdusă o nouă abordare pentru maparea mediului. Pe lângă aspectele de proiectare hardware și software de la fiecare nivel au fost prezentate și aspecte de analiză a rezultatelor pentru a surprinde avantajele și limitările metodei propuse. Astfel, pornind de la o aplicație de control tolerant la defecte în timp real s-au dezvoltat două module adiționale care să confere structurii inițiale flexibilitate și autonomie, pe lângă funcționalitatea nouă. Aplicația de timp real, prin taskul de control principal, a permis adăugarea unor apeluri de funcții specifice de achiziție de date de la modulul de interfață cu sonarele. Utilizând această informație aplicația server ce rulează pe robot poate comunica cu o mașină client care este responsabilă cu implementarea algoritmului SLAM offline. Parametrizarea algoritmului este specifică problemei. Astfel se poate considera ca future work implementarea unei metode specializate de ajustare a parametrilor algoritmului SLAM. Un alt aspect deschis îmbunătățirilor este modul de procesare intern al informației (fuziunea Bayes a senzorilor) care se poate extinde prin utilizarea unor modele grafice probabilistice (grafuri de factori, rețelele Markov) care să sporească eficiența și flexibilitatea la implementarea pe structuri hardware cu resurse limitate. Pentru a rafina performanțele algoritmului se propune și utilizarea unui laser pentru ranging, precum și un mecanism odometric vizual, utilizând algoritmi de prelucrare a imaginilor offboard, simplificând arhitectura embedded a robotului, limitând și consumul de energie. Pentru operarea outdoor modulul GPS prezent va determina validarea odometriei și va oferi suportul pentru localizare în cazul în care aplicația va fi extinsă la vehicule autonome ce vor rula în medii dinamice.

# **Capitolul 7**

## **Bibliografie**

## 7. Bibliografie

Descrierea aplicației prezentate în această lucrare (partea de conducere în timp real) a fost publicată în diverse articole și prezentată în cadrul unor prestigioase conferințe de robotică și automatică în anul 2010. În continuare sunt prezentate titlurile lucrărilor publicate :

1. Cristian Axenie, “Mobile Robot Fault Tolerant Control. Introducing ARTEMIC.” In the 9<sup>th</sup> International Conference on Signal Processing, Robotics and Automation WSEAS Conference Proceedings Included in ISI/SCI Web of Science and Web of Knowledge, University of Cambridge, UK, February 2010, (ISBN:978-960-474-157-1, ISSN:1790-5117)
- 2 . Cristian Axenie, “A New Approach in Mobile Robot Fault Tolerant Control. Minimizing Costs and Extending Functionality”, Included in ISI / SCI (Web of Science) WSEAS TRANSACTIONS ON SYSTEMS AND CONTROL ISSN: 1991-8763, pg 205-216
3. Cristian Axenie, Cernega Daniela, “Mobile Robot Fault Tolerant Control”, IEEE/IACSIT ICIEE 2010 (International Conference on Information and Electronics Engineering), Shanghai, China, June 2010, Print ISBN: 978-1-4244-6367-1
4. Cristian Axenie, Cernega Daniela, “ Adaptive Sliding Mode Controller Design for Mobile Robot Fault Tolerant Control”, 19<sup>th</sup> IEEE International Workshop on Robotics in Alpe-Adria-Danube Region, Budapest, Hungary, June 2010, ISBN: 978-1-4244-6884-3 (Print ISBN 978-1-4244-6885-0)
5. Cristian Axenie, Razvan Solea, “Real Time Control Design for Mobile Robot Fault Tolerant Control”, 2010 IEEE/ASME International Conference on Mechatronic and Embedded Systems and Applications, July 15-17, 2010, Qingdao, ShanDong, China, ISBN: 978-1-4244-7102-7

În afară de lucrările publicate rezultatele obținute au fost apreciate și în cadrul unor competiții studențești de inginerie și programare :

1. Lucrarea a fost premiată cu **locul I** (cea mai bună lucrare pe trackul robotică) și cea mai bună lucrare a conferinței internaționale ZTS (Zilele Tehnice Studențești), organizată de Politehnica Timișoara în anul 2009  
Lucrarea : „Mobile Robot Fault Tolerant Control” (Proceedings Vol. Pg. 352-358, ISSN 2066-3617)
2. **Locul IV** la Concursul Național de Programare Linux organizat de IBM cu tema „Linux based Mobile Robot Fault Tolerant Control application”.

## Capitolul 1

- [1] P.K. Allen and Ioannis Stamos. Integration of range and image sensing for photorealistic 3D modeling. In Proceedings of the IEEE International Conference on Robotics and Automation (ICRA), pages 1435–1440, 2000.24
- [2] D. Avots, E. Lim, R. Thibaux, and S. Thrun. A probabilistic technique for simultaneous localization and door state estimation with mobile robots in dynamic environments. Submitted for publication, 2002.
- [3] R. Bajcsy, G. Kamberova, and Lucien Nocera. 3D reconstruction of environments for virtual reconstruction. In Proc. Of the 4th IEEE Workshop on Applications of Computer Vision, 2000.
- [4] Y. Bar-Shalom and T. E. Fortmann. Tracking and Data Association. Academic Press, 1998.
- [5] R. Biswas, B. Limketkai, S. Sanner, and S. Thrun. Towards object mapping in dynamic environments with mobile robots. Submitted for publication, 2002.
- [6] J. Borenstein, B. Everett, and L. Feng. Navigating Mobile Robots: Systems and Techniques. A. K. Peters, Ltd., Wellesley, MA, 1996.
- [7] Graves, K., Adams, W., and SchultZ, A. Continuous localization in changing environments, 1997.
- [8] Gutmann, J., Burgard, W., Fox, D., and Konolige, K. An experimental comparison of localization methods. In Proceedings of the IEEE/RSJ International Conference on Intelligent Robots and Systems (1998).
- [9] Moravec, H., and Elfes, A. E. High resolution maps from wide angle sonar. In Proceedings of the 1985 IEEE International Conference on Robotics and Automation (March 1985), pp. 116–121.

## Capitolul 2

- [10] Schultz, A. C., and Adams, W. Continuous localization using evidence grids. pp. 2833–2839.
- [11] Van Dam, J. W. M., Kröse, B. J. A., and Groen, F. C. A. Adaptive sensor models. In 1996 IEEE/SICE/RSJ Intr. Conf. on Multisensor Fusion, and Integration for Intelligent Systems, Washington D.C (Dec. 8–11, 1996), pp. 705–712
- [12] YAMAUCHI, B. A frontier-based approach for autonomous exploration. In Proceedings of the 1997 IEEE International Symposium on Computational Intelligence in Robotics and Automation (1997), pp. 146–151.
- [13] Yamauchi, B., Schultz, A. C., and Adams, W. Mobile robot exploration and map-building with continuous localization. pp. 3715–3720.

## Capitolul 3

- [14] Bruno Siciliano, Oussama Khatib (Eds.) - Springer Handbook of Robotics, 2008
- [15] Shuzhi Sam Ge, Frank L. Lewis - Autonomous Mobile Robots, Sensing, Control, Decision Making and Applications, CRC Press, 2008.
- [16] J. Borenstein, H. R. Everett, and L. Feng - Where am I? Sensors and Methods for Mobile Robot Positioning .
- [17] Owen Bishop - Robot Builder's Cookbook, Elsevier, Newnes, 2007.
- [18] Mark W. Spong, Seth Hutchinson, M. Vidyasagar - Robot Modeling and Control , JOHN WILEY & SONS, INC., 2007.

- [19] Axenie Cristian s.a. - A Client-Server Based Real-Time Control Tool for Complex Distributed Systems, Real-Time Linux Workshop 2007, Linz, Austria. (<ftp://ftp.realtimelinuxfoundation.org/pub/events/rtlws-2007/Axenie.pdf>)
- [20] Karim Yaghmour – Adaptive Domain Environment for Operating Systems.
- [21] Philippe Gerum - Life with Adeos, 2005.
- [22] RTAI User Manual 3.4 – rev 0.3.
- [23] Herman Bruyninckx - Real-Time and Embedded Guide, K.U.Leuven, Mechanical Engineering, 2002
- [24] K Computing - Embedded and real-time Linux development.
- [25] <http://www.comedi.org/doc/index.html>
- [26] GRAFCET, <http://www.lurpa.ens-cachan.fr/grafcet.html>.
- [27] Mark Mitchell, Jeffrey Oldham, and Alex Samuel - Advanced Linux Programming, NewRiders, 2001.
- [28] Perruquetti Wilfrid, Jean Pierre Barbot - Sliding mode control in engineering, Marcel Dekker, 2002.
- [29] D. Young s.a. - A Control Engineer's Guide to Sliding Mode Control, IEEE Trans. On Control Systems Technology v. 7 no. 3, pp. 328-342, 1999.
- [30] J. Slotine and W. Li - Applied Nonlinear Control, Prentice Hall, New Jersey, 1991.
- [31] Utkin, V.I. -Sliding Modes in Optimization and Control Problems, Springer Verlag, New York, 1992
- [32] P. S. Mayback - The Kalman Filter: An Introduction to Concepts, in Autonomous Robot Vehicles, I.J. Cox, G. T.Wilfong (eds), Springer-Verlag, 1990.
- [33] Mayback P.S. și Hanlon R.D – Multiple Model Adaptive Estimation using a residual correlation kalman filter bank, IEEE Transactions on Aerospace and Electronic Systems, Vol36, No2, 2000.
- [34] Yahya Chetouani - Using the Kalman Filtering for the Fault Detection and Isolation (FDI) in the Nonlinear Dynamic Processes, IJCRE 2008, Vol 6, A43.

## **Capitolul 4**

- [35] I.J. Cox and J.J. Leonard. Modeling a dynamic environment using a bayesian multiple hypothesis approach. Artificial Intelligence, 66(2):311–344, 1994.
- [36] M. Csorba. Simultaneous Localisation and Map Building. PhD thesis, University of Oxford, Department of Engineering Science, 1997.
- [37] A.J. Davison, Y.G. Cid, and N. Kita. Real-time SLAM. In IFAC/EURON Symposium on Intelligent Autonomous Vehicles, 2004.

## **Capitolul 5**

- [38] <http://www.olimex.com/dev/lpc-p2148.html>
- [39] <http://www.maxbotix.com/uploads/LV-MaxSonar-EZ0-Datasheet.pdf>
- [40] [http://www.nxp.com/documents/user\\_manual/UM10139.pdf](http://www.nxp.com/documents/user_manual/UM10139.pdf) - LPC2148
- [41] <http://ark.intel.com/Product.aspx?id=49490> – Intel Atom D525
- [42] [www.asus.com](http://www.asus.com) - Asus AT5NM10-I INTEL NM10 (CPU ATOM D510 Dual Core on board)

# **Capitolul 8**



**Anexe**

## 8. Anexe

### 8.1 Codul sursă C al modului de interfațare cu senzorii ultrasonici bazat pe MCU LPC2148

CODUL DE INITIALIZARE MCU  
Fișier : Startup.s

```
/******************************************************************************/
/* STARTUP.S: Startup file for Philips LPC2000 */
/* <<< Use Configuration Wizard in Context Menu >>> */
/* This file is part of the uVision/ARM development tools. */
/* Copyright (c) 2005-2007 Keil Software. All rights reserved. */
/* This software may only be used under the terms of a valid, current, */
/* end user licence from KEIL for a compatible version of KEIL software */
/* development tools. Nothing else gives you the right to use this software. */
/******************************************************************************/
/*
; * The STARTUP.S code is executed after CPU Reset. This file may be
; * translated with the following SET symbols. In uVision these SET
; * symbols are entered under Options - ASM - Define.
;
; * REMAP: when set the startup code initializes the register MEMMAP
; * which overwrites the settings of the CPU configuration pins. The
; * startup and interrupt vectors are remapped from:
; *   0x00000000 default setting (not remapped)
; *   0x80000000 when EXTMEM MODE is used
; *   0x40000000 when RAM MODE is used
; * EXTMEM_MODE: when set the device is configured for code execution
; * from external memory starting at address 0x80000000.
;
; * RAM_MODE: when set the device is configured for code execution
; * from on-chip RAM starting at address 0x40000000.
;
; * EXTERNAL_MODE: when set the PIN2SEL values are written that enable
; * the external BUS at startup.
; */
;

; Standard definitions of Mode bits and Interrupt (I & F) flags in PSRs

Mode_USR      EQU      0x10
Mode_FIQ      EQU      0x11
Mode_IRQ      EQU      0x12
Mode_SVC      EQU      0x13
Mode_ABТ      EQU      0x17
Mode_UND      EQU      0x1B
Mode_SYS      EQU      0x1F

I_Bit         EQU      0x80          ; when I bit is set, IRQ is disabled
F_Bit         EQU      0x40          ; when F bit is set, FIQ is disabled

; <h> Stack Configuration (Stack Sizes in Bytes)
; <o0> Undefined Mode    <0x0-0xFFFFFFFF:8>
; <o1> Supervisor Mode   <0x0-0xFFFFFFFF:8>
; <o2> Abort Mode        <0x0-0xFFFFFFFF:8>
; <o3> Fast Interrupt Mode <0x0-0xFFFFFFFF:8>
; <o4> Interrupt Mode     <0x0-0xFFFFFFFF:8>
; <o5> User/System Mode   <0x0-0xFFFFFFFF:8>
; </h>
```

---

```

UND_Stack_Size EQU      0x00000000
SVC_Stack_Size EQU      0x00000008
ABT_Stack_Size EQU      0x00000000
FIQ_Stack_Size EQU      0x00000000
IRQ_Stack_Size EQU      0x00000080
USR_Stack_Size EQU      0x00000400

ISR_Stack_Size EQU      (UND_Stack_Size + SVC_Stack_Size + ABT_Stack_Size + \
                        FIQ_Stack_Size + IRQ_Stack_Size)

        AREA      STACK, NOINIT, READWRITE, ALIGN=3

Stack_Mem      SPACE     USR_Stack_Size
__initial_sp   SPACE     ISR_Stack_Size

Stack_Top

;// <h> Heap Configuration
;//   <o>  Heap Size (in Bytes) <0x0-0xFFFFFFFF>
;// </h>

Heap_Size       EQU      0x00000000
                AREA      HEAP, NOINIT, READWRITE, ALIGN=3
__heap_base     SPACE     Heap_Size
Heap_Mem        SPACE     __heap_base
__heap_limit    SPACE     __heap_base

; VPBDIV definitions
VPBDIV          EQU      0xE01FC100      ; VPBDIV Address

;// <e> VPBDIV Setup
;// <i> Peripheral Bus Clock Rate
;//   <o1.0..1> VPBDIV: VPB Clock
;//     <0=> VPB Clock = CPU Clock / 4
;//     <1=> VPB Clock = CPU Clock
;//     <2=> VPB Clock = CPU Clock / 2
;//   <o1.4..5> XCLKDIV: XCLK Pin
;//     <0=> XCLK Pin = CPU Clock / 4
;//     <1=> XCLK Pin = CPU Clock
;//     <2=> XCLK Pin = CPU Clock / 2
;// </e>
VPBDIV_SETUP    EQU      0
VPBDIV_Val      EQU      0x00000000

; Phase Locked Loop (PLL) definitions
PLL_BASE        EQU      0xE01FC080      ; PLL Base Address
PLLCON_OFS      EQU      0x00            ; PLL Control Offset
PLLCFG_OFS      EQU      0x04            ; PLL Configuration Offset
PLLSTAT_OFS     EQU      0x08            ; PLL Status Offset
PLLFEED_OFS     EQU      0x0C            ; PLL Feed Offset
PLLCON_PLLE    EQU      (1<<0)         ; PLL Enable
PLLCON_PLLC    EQU      (1<<1)         ; PLL Connect
PLLCFG_MSEL     EQU      (0x1F<<0)      ; PLL Multiplier
PLLCFG_PSEL     EQU      (0x03<<5)      ; PLL Divider
PLLSTAT_PLOCK   EQU      (1<<10)        ; PLL Lock Status

;// <e> PLL Setup
;//   <o1.0..4> MSEL: PLL Multiplier Selection
;//     <1-32><#-1>
;//     <i> M Value
;//   <o1.5..6> PSEL: PLL Divider Selection
;//     <0=> 1   <1=> 2   <2=> 4   <3=> 8
;//     <i> P Value
;// </e>
PLL_SETUP        EQU      1

```

---

---

```

PLLCFG_Val      EQU      0x00000024

; Memory Accelerator Module (MAM) definitions
MAM_BASE        EQU      0xE01FC000      ; MAM Base Address
MAMCR_OFS       EQU      0x00          ; MAM Control Offset
MAMTIM_OFS      EQU      0x04          ; MAM Timing Offset

;/// <e> MAM Setup
;///   <o1.0..1>  MAM Control
;///     <0=> Disabled
;///     <1=> Partially Enabled
;///     <2=> Fully Enabled
;///     <i> Mode
;///   <o2.0..2>  MAM Timing
;///     <0=> Reserved  <1=> 1    <2=> 2    <3=> 3
;///     <4=> 4        <5=> 5    <6=> 6    <7=> 7
;///     <i> Fetch Cycles
;/// </e>
MAM_SETUP        EQU      1
MAMCR_Val       EQU      0x00000002
MAMTIM_Val      EQU      0x00000004

; External Memory Controller (EMC) definitions
EMC_BASE         EQU      0xFFE00000      ; EMC Base Address
BCFG0_OFS        EQU      0x00          ; BCFG0 Offset
BCFG1_OFS        EQU      0x04          ; BCFG1 Offset
BCFG2_OFS        EQU      0x08          ; BCFG2 Offset
BCFG3_OFS        EQU      0x0C          ; BCFG3 Offset

;/// <e> External Memory Controller (EMC)
EMC_SETUP        EQU      0

;/// <e> Bank Configuration 0 (BCFG0)
;///   <o1.0..3>  IDCY: Idle Cycles <0-15>
;///   <o1.5..9>  WST1: Wait States 1 <0-31>
;///   <o1.11..15> WST2: Wait States 2 <0-31>
;///   <o1.10>    RBLE: Read Byte Lane Enable
;///   <o1.26>    WP: Write Protect
;///   <o1.27>    BM: Burst ROM
;///   <o1.28..29> MW: Memory Width  <0=> 8-bit  <1=> 16-bit
;///                           <2=> 32-bit  <3=> Reserved
;/// </e>
BCFG0_SETUP      EQU      0
BCFG0_Val        EQU      0x0000FBEF

;/// <e> Bank Configuration 1 (BCFG1)
;///   <o1.0..3>  IDCY: Idle Cycles <0-15>
;///   <o1.5..9>  WST1: Wait States 1 <0-31>
;///   <o1.11..15> WST2: Wait States 2 <0-31>
;///   <o1.10>    RBLE: Read Byte Lane Enable
;///   <o1.26>    WP: Write Protect
;///   <o1.27>    BM: Burst ROM
;///   <o1.28..29> MW: Memory Width  <0=> 8-bit  <1=> 16-bit
;///                           <2=> 32-bit  <3=> Reserved
;/// </e>
BCFG1_SETUP      EQU      0
BCFG1_Val        EQU      0x0000FBEF

;/// <e> Bank Configuration 2 (BCFG2)
;///   <o1.0..3>  IDCY: Idle Cycles <0-15>
;///   <o1.5..9>  WST1: Wait States 1 <0-31>
;///   <o1.11..15> WST2: Wait States 2 <0-31>
;///   <o1.10>    RBLE: Read Byte Lane Enable
;///   <o1.26>    WP: Write Protect
;///   <o1.27>    BM: Burst ROM
;///   <o1.28..29> MW: Memory Width  <0=> 8-bit  <1=> 16-bit
;///                           <2=> 32-bit  <3=> Reserved

```

---

---

```

;//  </e>
BCFG2_SETUP EQU      0
BCFG2_Val    EQU      0x0000FBEF

;//  <e> Bank Configuration 3 (BCFG3)
;//  <o1.0..3> IDCY: Idle Cycles <0-15>
;//  <o1.5..9> WST1: Wait States 1 <0-31>
;//  <o1.11..15> WST2: Wait States 2 <0-31>
;//  <o1.10> RBLE: Read Byte Lane Enable
;//  <o1.26> WP: Write Protect
;//  <o1.27> BM: Burst ROM
;//  <o1.28..29> MW: Memory Width  <0=> 8-bit  <1=> 16-bit
;//                                <2=> 32-bit  <3=> Reserved
;//  </e>
BCFG3_SETUP EQU      0
BCFG3_Val    EQU      0x0000FBEF

;// </e> End of EMC

; External Memory Pins definitions
PINSEL2      EQU      0xE002C014      ; PINSEL2 Address
PINSEL2_Val   EQU      0x0E6149E4      ; CS0..3, OE, WE, BLS0..3,
                                         ; D0..31, A2..23, JTAG Pins

PRESERVE8

; Area Definition and Entry Point
; Startup Code must be linked first at Address at which it expects to run.

        AREA    RESET, CODE, READONLY
        ARM

; Exception Vectors
; Mapped to Address 0.
; Absolute addressing mode must be used.
; Dummy Handlers are implemented as infinite loops which can be modified.

Vectors      LDR      PC, Reset_Addr
              LDR      PC, Undef_Addr
              LDR      PC, SWI_Addr
              LDR      PC, PAbt_Addr
              LDR      PC, DAbt_Addr
              NOP          ; Reserved Vector
;
              LDR      PC, IRQ_Addr
              LDR      PC, [PC, #-0x0FF0] ; Vector from VicVectAddr
              LDR      PC, FIQ_Addr

Reset_Addr  DCD      Reset_Handler
Undef_Addr  DCD      Undef_Handler
SWI_Addr   DCD      SWI_Handler
PAbt_Addr  DCD      PAbt_Handler
DAbt_Addr  DCD      DAbt_Handler
              DCD      0           ; Reserved Address
IRQ_Addr   DCD      IRQ_Handler
FIQ_Addr   DCD      FIQ_Handler

Undef_Handler B      Undef_Handler
SWI_Handler  B      SWI_Handler
PAbt_Handler B      PAbt_Handler
DAbt_Handler B      DAbt_Handler
IRQ_Handler  B      IRQ_Handler
FIQ_Handler  B      FIQ_Handler

; Reset Handler

```

---

```

EXPORT Reset_Handler
Reset_Handler

; Setup External Memory Pins
IF      :DEF:EXTERNAL_MODE
LDR    R0, =PINSEL2
LDR    R1, =PINSEL2_Val
STR    R1, [R0]
ENDIF

; Setup External Memory Controller
IF      EMC_SETUP <> 0
LDR    R0, =EMC_BASE

IF      BCFG0_SETUP <> 0
LDR    R1, =BCFG0_Val
STR    R1, [R0, #BCFG0_OFS]
ENDIF

IF      BCFG1_SETUP <> 0
LDR    R1, =BCFG1_Val
STR    R1, [R0, #BCFG1_OFS]
ENDIF

IF      BCFG2_SETUP <> 0
LDR    R1, =BCFG2_Val
STR    R1, [R0, #BCFG2_OFS]
ENDIF

IF      BCFG3_SETUP <> 0
LDR    R1, =BCFG3_Val
STR    R1, [R0, #BCFG3_OFS]
ENDIF

ENDIF    ; EMC_SETUP

; Setup VPBDIV
IF      VPBDIV_SETUP <> 0
LDR    R0, =VPBDIV
LDR    R1, =VPBDIV_Val
STR    R1, [R0]
ENDIF

; Setup PLL
IF      PLL_SETUP <> 0
LDR    R0, =PLL_BASE
MOV    R1, #0xAA
MOV    R2, #0x55

; Configure and Enable PLL
MOV    R3, #PLLCFG_Val
STR    R3, [R0, #PLLCFG_OFS]
MOV    R3, #PLLCON_PLLE
STR    R3, [R0, #PLLCON_OFS]
STR    R1, [R0, #PLLFEED_OFS]
STR    R2, [R0, #PLLFEED_OFS]

; Wait until PLL Locked
PLL_Loop   LDR    R3, [R0, #PLLSTAT_OFS]
ANDS   R3, R3, #PLLSTAT_LOCK
BEQ    PLL_Loop

; Switch to PLL Clock
MOV    R3, #(PLLCON_PLLE:OR:PLLCON_PLLC)

```

---

```

STR      R3, [R0, #PLLCON_OFS]
STR      R1, [R0, #PLLFEED_OFS]
STR      R2, [R0, #PLLFEED_OFS]
ENDIF    ; PLL_SETUP

; Setup MAM
IF      MAM_SETUP <> 0
LDR    R0, =MAM_BASE
MOV    R1, #MAMTIM_Val
STR    R1, [R0, #MAMTIM_OFS]
MOV    R1, #MAMCR_Val
STR    R1, [R0, #MAMCR_OFS]
ENDIF    ; MAM_SETUP

; Memory Mapping (when Interrupt Vectors are in RAM)
MEMMAP   EQU 0xE01FC040 ; Memory Mapping Control
IF      :DEF:REMAP
LDR    R0, =MEMMAP
IF      :DEF:EXTMEM_MODE
MOV    R1, #3
ELIF   :DEF:RAM_MODE
MOV    R1, #2
ELSE
MOV    R1, #1
ENDIF
STR    R1, [R0]
ENDIF

; Initialise Interrupt System
; ...

; Setup Stack for each mode

LDR    R0, =Stack_Top

; Enter Undefined Instruction Mode and set its Stack Pointer
MSR    CPSR_c, #Mode_UND:OR:I_Bit:OR:F_Bit
MOV    SP, R0
SUB    R0, R0, #UND_Stack_Size

; Enter Abort Mode and set its Stack Pointer
MSR    CPSR_c, #Mode_ABТ:OR:I_Bit:OR:F_Bit
MOV    SP, R0
SUB    R0, R0, #ABT_Stack_Size

; Enter FIQ Mode and set its Stack Pointer
MSR    CPSR_c, #Mode_FIQ:OR:I_Bit:OR:F_Bit
MOV    SP, R0
SUB    R0, R0, #FIQ_Stack_Size

; Enter IRQ Mode and set its Stack Pointer
MSR    CPSR_c, #Mode_IRQ:OR:I_Bit:OR:F_Bit
MOV    SP, R0
SUB    R0, R0, #IRQ_Stack_Size

; Enter Supervisor Mode and set its Stack Pointer
MSR    CPSR_c, #Mode_SVC:OR:I_Bit:OR:F_Bit
MOV    SP, R0
SUB    R0, R0, #SVC_Stack_Size

; Enter User Mode and set its Stack Pointer
MSR    CPSR_c, #Mode_USR
IF      :DEF: __MICROLIB

EXPORT __initial_sp

```

---

```

        ELSE

        MOV      SP, R0
        SUB      SL, SP, #USR_Stack_Size

        ENDIF

; Enter the C code

        IMPORT  __main
        LDR     R0, =__main
        BX     R0

        IF      :DEF:_MICROLIB

        EXPORT  __heap_base
        EXPORT  __heap_limit

        ELSE
; User Initial Stack & Heap
        AREA    |.text|, CODE, READONLY

        IMPORT  __use_two_region_memory
        EXPORT  __user_initial_stackheap
__user_initial_stackheap

        LDR     R0, = Heap_Mem
        LDR     R1, =(Stack_Mem + USR_Stack_Size)
        LDR     R2, = (Heap_Mem +      Heap_Size)
        LDR     R3, = Stack_Mem
        BX     LR
        ENDIF
        END

MODULUL ADC
Fișier : global_adc_init.h

/*
   Header pentru interfata generala de initializare a
   convertoarelor analog digitale adc0/1 ale LPC2148
   pentru interfatarea cu senzorii
*/
#include<lpc214x.h>

/* Functie de initializare a adc0 si adc1*/
void init_adc(void);
/* Functii de citire ADC functie de canal */
unsigned int read_adc0(unsigned char);
unsigned int read_adc1(unsigned char);

Fișier : global_adc_init.c

/*
   Interfata generala de initializare a convertoarelor analog
   digitale ADC0/1 ale LPC2148 pentru interfatarea cu senzorii
*/
#include "global_adc_init.h"

// Configuratia sonarelор
// PINSEL0
// -> bit 25:24 conf 1:1 AD1.3 pin P0.12      -> sonar1
// -> bit 27:26 conf 1:1 AD1.4 pin P0.13      -> sonar2

// PINSEL1
// -> bit 11:10 conf 1:0 AD1.6 pin P0.21 -> sonar3

```

---

```

//  -> bit 13:12 conf 0:1 AD1.7 pin P0.22 -> sonar4
//  -> bit 25:24 conf 0:1 AD0.1 pin P0.28 -> sonar5

/* Functie de initializare a convertoarelor ADC0/1 */
void init_adc(void){
    // activarea functiei ADC pentru pini (ADC1)
    PINSEL0 |= ((1<<24) | (1<<25) | (1<<26) | (1<<27));
    // activarea functiei ADC pentru pini (ADC0)
    PINSEL1 |= ((1<<11) | (1<<12) | (1<<24));
    PINSEL1 &= ~(1<<10) | (1<<13) | (1<<25));
    // power control pentru periferice
    PCONP |= ((1<<12)|(1<<20)); // activare power ADC1/0
    // resetare conversii si biti de control
    AD0CR = 0x0; // reg control ADC0
    AD1CR = 0x0; // reg control ADC1
    // setare clock conversie CLKDIV fct de VPB CLK
    // aici se considera 6 factor de divizare la 30Mhz
    // freccventa MCU 30/(6+1) = 4.2MHz <= 4.5MHz (impus)
    AD0CR |=((1<<9) | (1<<10));
    AD1CR |=((1<<9) | (1<<10));
    // dezactivare mod BURST, operare in mod controlat software
    AD0CR &= ~(1<<16);
    AD1CR &= ~(1<<16);
}

/* Functii globale de citire a unui canal ADC */
unsigned int read_adc0(unsigned char channel)
{
    // rezultatul conversiei
    unsigned int i;
    // initializare adc
    init_adc();
    // opreste conversiile anterioare si reseteaza canalele
    AD0CR &= ~((1<<24) | (1<<25) | (1<<26));
    // selecteaza canalul primit la intrare
    AD0CR |= (1<<channel);
    // seteaza ADC0 operational; bit PDN=1
    AD0CR |= (1<<21);
    // start conversie
    AD0CR |= (1<<24);
    do
    {
        switch(channel) // determina canalul
        {
            case 0:
                i=AD0DR0; // preia valoarea din reg de date canal 0
                break;
            case 1:
                i=AD0DR1; // preia valoarea din reg de date canal 1
                break;
            case 2:
                i=AD0DR2; // preia valoarea din reg de date canal 2
                break;
            case 3:
                i=AD0DR3; // preia valoarea din reg de date canal 3
                break;
            case 4:
                i=AD0DR4; // preia valoarea din reg de date canal 4
                break;
            case 5:
                i=AD0DR5; // preia valoarea din reg de date canal 5
                break;
            case 6:
                i=AD0DR6; // preia valoarea din reg de date canal 6
                break;
            case 7:
                i=AD0DR7; // preia valoarea din reg de date canal 7
                break;
        }
    } while(1);
    return i;
}

```

---

```

        break;
    } //end switch
}
//asteapta final conversie(bit DONE=1 in reg global de date)
while ((AD0GDR & 0x80000000) == 0);
// izoleaza rezultatul si revine
return ((i >> 6) & 0x03FF);
}

unsigned int read_adc1(unsigned char channel)
{
// rezultatul conversiei
unsigned int i;
// initializare adc
init_adc();
// opreste conversiile anterioare si reseteaza canalele
AD1CR &= ~((1<<24) | (1<<25) | (1<<26));
// selecteaza canalul primit la intrare
AD1CR |= (1<<channel);
// seteaza ADC1 operational; bit PDN=1
AD1CR |= (1<<21);
// start conversie
AD1CR |= (1<<24);
do
{
switch(channel) // determina canalul
{
case 0:
    i=AD1DR0; // preia valoarea din reg de date canal 0
    break;
case 1:
    i=AD1DR1; // preia valoarea din reg de date canal 1
    break;
case 2:
    i=AD1DR2; // preia valoarea din reg de date canal 2
    break;
case 3:
    i=AD1DR3; // preia valoarea din reg de date canal 3
    break;
case 4:
    i=AD1DR4; // preia valoarea din reg de date canal 4
    break;
case 5:
    i=AD1DR5; // preia valoarea din reg de date canal 5
    break;
case 6:
    i=AD1DR6; // preia valoarea din reg de date canal 6
    break;
case 7:
    i=AD1DR7; // preia valoarea din reg de date canal 7
    break;
default:
    break;
} //end switch
}
//asteapta final conversie(bit DONE=1 in reg global de date)
while ((AD1GDR & 0x80000000) == 0);
// izoleaza rezultatul si revine
return ((i >> 6) & 0x03FF);
}

```

MODULUL UART  
Fișier : serial.h

```

#include<lpc214x.h>

/* Prototipurile functiilor modulului uart */

/* Variabile globale si macro */

```

```

#define OSCILLATOR_CLOCK_FREQUENCY 12000000 // 12 MHz
#define BAUD 9600
#define PCLK 30000000 // PCLK = ceas periferice 30 MHz

/* Functii specifice */
void init_uart0 (void);
void init_uart1 (void);
int putchar_uart0 (int);
int putchar_uart1 (int);
int getchar_uart0 (void);
int getchar_uart1 (void);

/* Functii auxiliare */
void init_system(void);

/* Functie de conversie un octet binar la doua caractere ascii hiniob, lonib */
void ascii_convert0(unsigned char);
void ascii_convert1(unsigned char);

/* Functii care transmit pe linia seriala datele formataate ASCII */
void uart0_send_ascii(unsigned char);
void uart1_send_ascii(unsigned char);

Fisier : serial.c

#include<lpc214x.h>
#include "serial.h"

/* Modul uart
- initializare uart0
- initializare uart1
- functie citire uart0/uart1
- functie scriere uart0/uart1
*/
/* utile in conversia in reprezentare ASCII */
unsigned char lonib0, hinib0, lonib1, hinib1;

/* Functie de initializare a PLL */

void init_system(void) {

    /* PLL Configuration Register
    - contine valorile de multiplicare si divizare pentru PLL
    - modificari in acest regisztr au loc dupa o secventa de
    feed a buclei PLL
    -----
    Valori biti:
    MSEL --> 00100 (bit 0:4) Multiplicare
    PSEL --> 01          (bit 6:5) Divizare
    */
    PLL0CFG = 0x24;

    /* Pentru a asigura modificarea valorilor in regiszre de control si
    configurare a buclei PLL se impune o secventa de feed a buclei PLL*/
    PLL0FEED = 0xAA;
    PLL0FEED = 0x55;

    /* PLL Control Register
    - regisztr utilizat pentru a modifica biti de control ai PLL
    - se activeaza PLL si se conecteaza MCU la frecventa de iesire PLL
    - PLL0 este utilizata pentru a genera CLK pt procesor,
    PLL1 e dedicata USB
    -----
    Valori biti :      (PLL Enable)
    PLLE --> 1 (bit 0)
    */
    PLL0CON = 0x01;
}

```

```

/* secenta de feed a PLL */
PLL0FEED = 0xAA;
PLL0FEED = 0x55;

/* asteapta pana cand PLL este locked pe faza */
while(!(PLL0STAT & 0x400));

/* PLL connect
Valori biti :
PLLC --> 1 (bit 1)
*/
PLL0CON = 0x03;
/* secenta de feed a PLL */
PLL0FEED = 0xAA;
PLL0FEED = 0x55;

/* numar de cicli de ceas de acces la memoria Flash */
/* 4 CLK */
MAMCR = 0x2;
MAMTIM = 0x4;
/* divizor freceventa periferice */
VPBDIV = 0x02; // PCLK = 30MHz
}

/* Functie de initializare uart0 */
void init_uart0(void){

/*
Pentru stabilirea baudrateului pentru uart0 se determina valoarea
care va fi scrisa in registrul latch divisor LSB si MSB
*/
int div = PCLK/(16*BAUD);

/* Pin Function Select Register 0 - PINSEL0
are rolul de a controla functiile pinilor MCU
- se activeaza liniile de TX si RX pentru uart0
-----
Valori biti :
P0.0 --> 01 (bit 1:0)
P0.1 --> 01 (bit 3:2)
*/
PINSEL0 |= 0x5;

/* elibereaza FIFO urile */
U0FCR=0x7;
/* Line Control Register - U0LCR
are rolul de a set aparametri de comunicatie pe uart
- activeaza numarul de biti, paritate si biti de stop
-----
Valori biti :
Word Length Select      --> 11 (bit 1:0) 8bit char
Stop bit Select          --> 0 (bit 2)   1 stop bit
Parity Select            --> 0 (bit 3)   Paritate dezactivata
Divisor Latch Acces Bit(DLAB) --> 1 (bit 7) pentru a accesa
registrele latch divizor U0DLL, U0DLM */
U0LCR = 0x83;

/* Generarea baudrateului dorit se realizeaza prin utilizarea
registrelor latch divizoare U0DLL, U0DLM (16 bit LSB,MSB) */

U0DLL = div & 0xFF;
U0DLM = (div>>8); // 9600 Baud Rate

/* Pentru a accesa registrele U0RBR, U0THR (bufferele de date Rx/Tx)
bitul DLAB trebuie resetat */
U0LCR = 0x03;
}

/* Functie de initializare uart1 */

```

---

```

void init_uart1(void)
{
    int div = PCLK/(16*BAUD);
    /* se activeaza liniile de TX si RX pentru uart0 */
    PINSEL0 |= 0x00050000;
    U1LCR = 0x83;
    U1DLL = div & 0xFF;
    U1DLM = (div>>8);
    U1LCR = 0x03;
}

/* Functie de scriere a unui caracter pe uart0 */
int putchar_uart0 (int ch){
    /* cat timp nu avem date in buffer asteapta */
    while (!(U0LSR & 0x20));
    /* altfel plaseaza in buffer caracterul de trimis */
    return (U0THR = ch);
}

/* Functie de scriere a unui sir de caractere pe uart0 */
void puts_uart0(char *ch)
{
    while (*ch){
        putchar_uart0(*ch++);
    }
}

/* Functie de scriere a unui caracter pe uart1 */
int putchar_uart1 (int ch){
    /* cat timp nu avem date in buffer asteapta */
    while !(U1LSR & 0x20);
    /* altfel plaseaza in buffer caracterul de trimis */
    return (U1THR = ch);
}

/* Functie de scriere a unui sir de caractere pe uart1 */
void puts_uart1(char *ch)
{
    while (*ch){
        putchar_uart1(*ch++);
    }
}

/* Functie de citire a unui caracter primit pe uart0 */
int getchar_uart0 (void){
    /* cat timp nu avem date in registrul de receptie U0RBR asteapta */
    while !(U0LSR & 0x01));
    /* cand avem date disponibile in buffer se preiau */
    return (U0RBR);
}

/* Functie de citire a unui caracter primit pe uart1 */
int getchar_uart1 (void){
    /* cat timp nu avem date in registrul de receptie U1RBR asteapta */
    while !(U1LSR & 0x01));
    /* cand avem date disponibile in buffer se preiau */
    return (U1RBR);
}

/* Functii de conversie un octet binar la doua caractere ascii hiniob, lonib */
/* Valorile rezultate sunt in hexazecimal */
void ascii_convert0(unsigned char ch)
{
    hinib0=(ch&0xf0)>>4;
    lonib0=ch&0x0f;
    if(hinib0>9) hinib0=hinib0+'7';
    else hinib0=hinib0+'0';
    if(lonib0>9) lonib0=lonib0+'7';
}

```

---

---

```

        else lonib0=lonib0+'0';

    }

void ascii_convert1(unsigned char ch)
{
    hinib1=(ch&0xf0)>>4;
    lonib1=ch&0x0f;
    if(hinib1>9) hinib1=hinib1+'7';
    else hinib1=hinib1+'0';
    if(lonib1>9) lonib1=lonib1+'7';
    else lonib1=lonib1+'0';
}

/* Functii care transmit pe linia seriala datele formataste ASCII */
void uart0_send_ascii(unsigned char ch)
{
    ascii_convert0(ch);
    putchar_uart0(hinib0);
    putchar_uart0(lonib0);

}
void uart1_send_ascii(unsigned char ch)
{
    ascii_convert1(ch);
    putchar_uart1(hinib1);
    putchar_uart1(lonib1);
}

MODULUL GPS
Fișier : gps_odometry.h

#include<lpc214x.h>

/* Prototipurile functiilor */

/* Functie care parseaza pachetele GPS (NMEA) receptionate */
int parse_gps_packet(void);
/* Functie de conversie a doi octeti in int */
int bytes2int(unsigned char, unsigned char);
/* Functie care preia numele (tipul) unui pachet */
void get_gps_packet_name(void);
/* Functie de comparare a doua stringuri util in filtrarea pachetelor receptionate */
int compare_strings(unsigned char buffer1[], unsigned char buffer2[]);
/* Functii de extragere a informatiei de latitudine din pachetele GPS */
void get_latitude_degrees(void);
void get_latitude_minutes(void);
void get_latitude_seconds(void);
/* Functii de extragere a informatiei de longitudine din pachetele GPS */
void get_longitude_degrees(void);
void get_longitude_minutes(void);
void get_longitude_seconds(void);
/* Functii de conversie a informatiei de pozitie in plan din informatia GPS */
long convert_long(void);
long convert_lat(void);
/* Functie care seteaza o pozitie de referinta pentru miscarea in plan */
void save_origin(void);
long get_y_position(void);
long get_x_position(void);

Fișier : gps_odometry.c

#include<lpc214x.h>
#include "gps_odometry.h"
#include <math.h>
```

---

```

char rdbuf[256];      // bufferul RX
char tdbuf[256];      // bufferul TX
char rxdata;          // caracterul primit in bufferul RX
int idx;              // pointer catre elementul curent din buffer RX
int idxsav;           // aux pentru retine pointer catre buffer RX
int rbfull;           // var care retine starea bufferului de receptie

unsigned char packet_name[6];                                // antet nume pachet
/* Pachetele alese pentru extragerea informatiei sunt GPGLL (Geographic Position
Latitude/Longitude) */
unsigned char name1[6]={'G','P','G','L','L',0};           // necesar filtrarii (doar
pachete cu acest header)

/* informatie GPS (NMEA) */
int latitude_degrees;
int latitude_minutes;
double latitude_seconds;

int longitude_degrees;
int longitude_minutes;
double longitude_seconds;

/* coordonatele in plan */
long x_origin, y_origin;
long current_x, current_y;

/*
Functii pentru extragerea informatiei de pozitie din datele GPS
necesare pentru calculul odometriei robotului si pentru a realiza
corectia traectoriei robotului.
*/
/* Functie care parseaza pachetele GPS (NMEA) receptionate */
int parse_gps_packet(void){
    int a;
    get_gps_packet_name();
    a=compare_strings(packet_name, name1);
    if(a==1)
    {
        get_latitude_degrees();
        get_latitude_minutes();
        get_latitude_seconds();
        get_longitude_degrees();
        get_longitude_minutes();
        get_longitude_seconds();
        return(1);
    }
    else return(0);
}

/* Functie de conversie a doi octeti in int */
int bytes2int(unsigned char ch1, unsigned char ch2){
    unsigned int val;
    ch1=ch1&0x0F;
    ch2=ch2&0x0F;
    val=ch1*10+ch2;;
    return(val);
}

/* Functie care preia numele (tipul) unui pachet */
void get_gps_packet_name(void){
    int i;
    for(i=1;i<6;i++) packet_name[i-1] = rdbuf[i];
    packet_name[i]=0;
}

```

```

/* Functie de comparare a doua stringuri util in filtrarea pachetelor receptionate */
int compare_strings(unsigned char buffer1[], unsigned char buffer2[]){
    int i;
    i=0;
    while(buffer1[i]!=0)
    {
        if(buffer1[i]!=buffer2[i]) return(0);
        else i++;
    }
    return(1);
}

/* Functii de extragere a informatiei de latitudine din pachetele GPS */
void get_latitude_degrees(void){
    latitude_degrees=bytes2int(rxbuf[7],rxbuf[8]);
}

void get_latitude_minutes(void){
    latitude_minutes=bytes2int(rxbuf[9],rxbuf[10]);
}

void get_latitude_seconds(void){
    int seconds;
    int decimals;

    seconds=bytes2int(rxbuf[12],rxbuf[13]);
    decimals=bytes2int(rxbuf[14],rxbuf[15]);
    latitude_seconds=(double)seconds+(double)decimals/100.0;
}

/* Functii de extragere a informatiei de longitudine din pachetele GPS */
void get_longitude_degrees(void){
    longitude_degrees=bytes2int(rxbuf[22],rxbuf[23]);
    if(rxbuf[21]=='1') longitude_degrees=longitude_degrees+100;
}

void get_longitude_minutes(void){
    longitude_minutes=bytes2int(rxbuf[24],rxbuf[25]);
}

void get_longitude_seconds(void){
    int seconds;
    int decimals;

    seconds=bytes2int(rxbuf[27],rxbuf[28]);
    decimals=bytes2int(rxbuf[29],rxbuf[30]);
    longitude_seconds=(double)seconds+(double)decimals/100.0;
}

/* Functii de conversie a informatiei de pozitie in plan din informatia GPS */
/* Conversie din informatia de latitudine */
long convert_lat(void){
    double temp;
    long i;

    temp=latitude_degrees*111132+(double)latitude_minutes*(111132.0/60.0);
    temp=temp+latitude_seconds*(111132.0/3600.0);
    i=floor(temp);
    return(i);
}

/* Conversie din informatia de longitudine */

```

---

```

long convert_long(void) {
    double temp;
    long i;

    temp=longitude_degrees*78847+(double)longitude_minutes*(78847.0/60.0);
    temp=temp+longitude_seconds*(78847.0/3600.0);
    i=floor(temp);
    return(i);
}

/* Functie care seteaza o pozitie de referinta pentru miscarea in plan */
void save_origin(void) {
    x_origin=convert_long();
    y_origin=convert_lat();
}

/* Functii care returneaza pozitia in plan */
long get_x_position(void){
    current_x=convert_long();
    current_x=current_x-x_origin;
    return current_x;
}

long get_y_position(void){
    current_y=convert_lat();
    current_y=current_y-y_origin;
    return current_y;
}

MODUL SONARE
Fișier : sinar_interface.h
/*
    interfata de conectare a senzorilor ultrasonici pentru
    detectia obstacolelor si maparea topologica a mediului
*/
#include "global_adc_init.h"

/* Functie de citire a unui sonar */
unsigned int read_sonar(int sonar);
/* Functie de activarea a operarii in daisy-chaining pentru sonare */
void enable_sonar_chain(void);
/* Functie care introduce o intarziere la achizitia datelor ADC */
void delay_us(int);
/* Functie de strobe pentru activarea citirilor de la sonare */
void sonar_strobe(void);
/* Functie care formateaza datele primite de la sonare si
 * trimite un pachet pe linia seriala.
 */
void format_sonar_data_and_send(unsigned int data);

Fișier : sonar_interface.c

/*
    Interfata de conectare a senzorilor ultrasonici pentru
    detectia obstacolelor si maparea topologica a mediului
*/
#include "sonar_interface.h"
#include "serial.h"

/*
    Determinarea iesirii pentru Uin = 4V
    Uin=5V -> out=~9.8mV/in. si Uin=3.3V -> out=~6.4mV/in.
    Uin=4.3V -> out = ?
    (x-6.4) / (9.8-6.4) = (4.3-3.3) / (5-3.3) => x = 8.4mV/in = 3.36mV/cm */

```

---

```

#define SCALE 3.36f // 3.36mV
#define V_SUPPLY 4300 // 4300mV
#define MAX_ADC 1024 // ADC 10 biti
/*
    Configuratia utilizata pt sonare :

PINSEL0
-> bit 25:24 conf 1:1 AD1.3 pin P0.12 -> sonar1
-> bit 27:26 conf 1:1 AD1.4 pin P0.13 -> sonar2

PINSEL1
// -> bit 11:10 conf 1:0 AD1.6 pin P0.21 -> sonar3
// -> bit 13:12 conf 0:1 AD1.7 pin P0.22 -> sonar4
// -> bit 25:24 conf 0:1 AD0.1 pin P0.28 -> sonar5
*/

/*Functie de citire a ADC conectate la sonare */
unsigned int read_sonar(int sonar){
    /* valoarea tensiunii de la iesirea sonarului */
    unsigned int val;
    /* citeste valoarea corespunzatoare sonarului */
    switch(sonar){
        case 1: val = read_adc1(3);
                  break;
        case 2: val = read_adc1(4);
                  break;
        case 3: val = read_adc1(6);
                  break;
        case 4: val = read_adc1(7);
                  break;
        case 5: val = read_adc0(1);
                  break;
    }
    /* returneaza distanta in cm pana la primul obstacol */
    return (unsigned int)((val*V_SUPPLY)/MAX_ADC)/SCALE;
}

/* Functie de activarea a modului de operare in chaining pentru
sonare.
*/
void enable_sonar_chain(void){
    // seteaza pinii pentru BW (bandwidth)
    IO1DIR |= ((1<<16) | (1<<17) | (1<<18) | (1<<19) | (1<<20) | (1<<21));
    // BW este mentinut High (1)
    IO1SET |= ((1<<16) | (1<<17) | (1<<18) | (1<<19) | (1<<20));
    // conecteaza RX la 1 logic pt 50 us
    IO1SET |= (1<<21);
    delay_us(50);
    IO1CLR |= (1<<21);
    // comuta pinul RX in high-Z0
    IO1DIR &= ~(1<<21);
}

/* Functie de strobe pentru activarea citirilor de la sonare */
void sonar_strobe(void){
    IO1SET |= (1<<21);
    delay_us(50);
    IO1CLR |= (1<<21);
    delay_us(50);
}

/* Functie care introduce intraziere la achizitia datelor ADC */
void delay_us(int x){
    int a,b;
    for(a=0;a<x;a++)
        for(b=0;b<4;b++);
}

/* Functie care formateaza datele primite de la sonare si

```

---

```

 * trimite un pachet pe linia seriala.
 */
void format_sonar_data_and_send(unsigned int data){
    // octeti ascii corespunzatori valorii citite
    unsigned char data_l, data_h;
    // se extrage octetul mai semnificativ al valorii
    data_h = (data&0x300)>>8;
    // se extrage octetul mai putin semnificativ
    data_l = data&0xff;
    // trimite octetii pe linia seriala dupa conversia ascii
    uart0_send_ascii(data_h);
    uart0_send_ascii(data_l);
    // separator
    putchar_uart0(',');
}

```

MODUL ACCELEROMETRU

Fișier : accelerometer\_interface.h

```

/*
     Interfata pentru accelerometru 3D. Informatia de acceleratie
     este integrata in informatie de pozitie utila la fuziunea
     senzorilor pentru pozitionarea globala a robotului mobil
*/
#include "global_adc_init.h"

/* Functie de citire a axei X */
unsigned int read_accel_x(void);
/* Functie de citire a axei Y */
unsigned int read_accel_y(void);

```

Fișier : accelerometer\_interface.c

```

/*
     Interfata pentru accelerometru 3D. Informatia de acceleratie
     este integrata in informatie de pozitie utila la fuziunea
     senzorilor pentru pozitionarea globala a robotului mobil
*/
#include "accelerometer_interface.h"
// TODO Revizuire porul ADC pentru utilizare ACCelerometru
```

```

/*
     Configuratia utilizata pt accelerometru :
     -> bit 13:12 conf 0:1 AD1.7 pin P0.22 -> Accelerometru axa X
     -> bit 11:10 conf 1:0 AD1.6 pin P0.21 -> Accelerometru axa Y
*/
/* Functie de citire a axei X */
unsigned int read_accel_x(void){
    // valoarea tensiunii de la iesirea X a accelerometrului
    unsigned int value;
    // activare functie ADC pt P0.22 in PINSEL1
    PINSEL1 |= (1<<12);
    PINSEL1 &= ~(1<<13);
    value = read_adcl(7);
    // returneaza valoarea citita
    return (value);
}
```

```

/* Functie de citire a axei Y */
unsigned int read_accel_y(void){
    // valoarea tensiunii de la iesirea Y a accelerometrului
    unsigned int value;
    // activare functie ADC pt P0.22 in PINSEL1
    PINSEL1 |= (1<<11);
```

---

```

PINSEL1 &= ~(1<<10);
value = read_adc1(6);
// returneaza valoarea citita
return (value);
}

```

## 8.2 Codul sursă Matlab pentru aplicația SLAM de mapare offline (Listing, CD-ROM)

MODUL MODEL SONAR

Fișier : sonar\_model.m

```

%%
% Aplicatie SLAM offline pt ARTEMIC
%
% Functie care implementeaza modelul sonarelor
%%
function model = sonar_model(sonars_readings, heading)
    % jumataate din unghiul de deschidere a conului
    beta = 7;
    % range maxim sonar
    range = 26;
    % scara de reprezentare a hartii
    scale = 35;
    % toleranta in reprezentarea hartii
    tolerance = 1;
    % valoare utilizata pentru definirea starii initiale
    percent_occupied = 0.98;
    % dimensiunea modelului sonarului pentru harta
    % pe termen scurt
    model_size = 150;
    % initializarea modelului
    model = zeros(model_size, model_size);
    model(:,:) = NaN;
    % corectie heading robot
    a = -heading/180*pi;
    T = [cos(a) -sin(a);sin(a) cos(a)];
    % pozitionarea sonarelor pe X Y si orientare
    % pe partea frontală a robotului
    sonars_setup=[ 69      136      90
                  114     119      50
                  148      78      30
                  166      27      10
                  166     -27     -10
                  148     -78     -30
                  114    -119     -50
                  69    -136     -90 ];
    % se elimina senzorii out of range
    tmp = [];
    tmp2 = [];
    for si=1:length(sonars_setup)
        % distanta maxima de activitate a sonarului
        % in reprezentarea hartii
        if(sonars_readings(si)<2000)
            tmp = [tmp; sonars_setup(si,:)];
            tmp2 = [tmp2; sonars_readings(si)];
        end
    end
    % verificari suplimentare de dimensiune
    if(size(tmp,1)==0)
        return
    end
    % formarea modelului sonarului
    sonars_setup = tmp;

```

```

sonars_readings = tmp2./scale;
sonars_setup(:,1:2) = sonars_setup(:,1:2)*T./scale;
sonars_setup(:,3) = sonars_setup(:,3)+heading;
for yi=1:model_size
    for xi=1:model_size
        for si=1:size(sonars_setup, 1)
            % calcul pozitie
            x = xi-model_size/2;
            y = yi-model_size/2;
            r = ((x-sonars_setup(si,1))^2 + (y-sonars_setup(si,2))^2)^0.5;
            b = abs(atan2(y-sonars_setup(si,2), x-sonars_setup(si,1))/pi*180-
sonars_setup(si,3));
            while(b>180)
                b = abs(b-360);
            end
            % verificariile dimensiunilor pentru afisare
            if(b>beta || r>sonars_readings(si)+tolerance/2)
                continue
            end
            % calculul probabilitatilor ca o celula a matricii de
            % ocupare este ocupata tinand cont de citirea sonarului
            if(abs(r-sonars_readings(si))<=tolerance)
                probability = (((range - r) / range) + ((beta -
b)/beta))/2)*percent_occupied;
                probability = .5*probability+.5;
            else
                probability = (((range - r)/range)+((beta - b)/beta))/2;
                probability = 1-(.5*probability+.5);
            end
            % formeaza modelul sonarului
            model(xi,yi)=probability;
        end
    end
end

```

MODUL FUZIUNE BAYES

Fisier : bayes\_fusion.m

```

%%
% Aplicatie SLAM offline pt ARTEMIC
%
% Functia de fuziune a senzorilor utilizand regula lui Bayes
%%
function world = bayes_fusion(world, model, offset)
    prev = world(offset(1)+1:offset(1)+length(model),...
                 offset(2)+1:offset(2)+length(model));
    idx = find(~isnan(model));
    new = prev;
    new(idx)=(model(idx).*prev(idx))./(model(idx).* ...
               prev(idx)+(1-model(idx)).*(1-prev(idx)));
    world(offset(1)+1:offset(1)+length(model),...
          offset(2)+1:offset(2)+length(model)) = new;
end

```

MODUL DE CALCUL SCOR VALIDARE HARTA (HARTA TERMEN SCURT)

Fisier : compute\_score.m

```

%%
% Aplicatie SLAM offline pt ARTEMIC
%
% Functia de estimare a potrivirii hartii pe termen scurt cu harta pe
% termen lung; scorul reda o dimensionare a rezultatului comparatiei
%%
function score = compute_score(world, model, offset)
    world = world(offset(1)+1:offset(1)+length(model),...

```

---

```

    offset(2)+1:offset(2)+length(model));
if(isempty(find((world~=0.5).*(model~=0.5), 1)))
    score = 0;
    return;
end
score = sum(sum(abs(world - model)));
end

```

MODUL DE GENERARE POZIȚII

Fișier : pose\_generator.m

```

%%
% Aplicatie SLAM offline pt ARTEMIC
%
% Functie care returneaza pozitiile posibile
%%
function poses = pose_generator(~)
poses = [0 0;-1 -1;1 1;-1;-1 1;0 -1;0 1;-1 0;1 0];
return
end

```

MODUL CLIENT SLAM  
(implementarea algoritmului si programul principal)

Fișier : SLAM\_client.m

```

% Aplicatie SLAM offline pt ARTEMIC
%
% Programul principal de simulare a SLAM
%%
% elibereaza mediul
clear all
clc
% valori scalare pentru afisare
scale = 50; % 20 pt camera | 50 pt hol
world_size =800; % 600 pt camera | 800 pt hol
world=zeros(world_size,world_size);
world(:,:)=0.5;
% grad suprapunere harti
overlap=0;
% ajustare heading (a se tine cont de pozitia de start)
degrees=[0 0 0 0 0 0];
% incarca fisierul cu datele de la senzori de pe disc
load robot_state saved*;
% alocarea variabilelor pentru valorile citite
readings=saved_readings;
pose=saved_pose;
% offset harti
off=1;
% prealocare vector pozitie
pos=[];
while(off<length(readings)-overlap)
    % initializari
    stm_size=0;
    num=0;
    % numarul de esantioane citite de la sonare (min45)
    while(num<45 && off+stm_size<length(readings))
        num=num+sum(readings(off+stm_size,:,:)<6000);
        stm_size = stm_size+1;
    end
    % prealocari
    rpos=[];
    rstm=[];
    rposes=[];
    rscore=[];
    rdegrees=[];
    for k=1:length(degrees)
        for j=1:45
            if(j>num)
                break;
            end
            rpos(k,j)=pose;
            rstm(k,j)=off+stm_size;
            rposes(k,j)=readings(k,j);
            rscore(k,j)=score;
            rdegrees(k,j)=degrees;
        end
    end
    % actualizare pozitie
    pose=rposes;
    degrees=rdegrees;
    off=off+1;
end

```

```

% porneste cu o harta initiala goala
stm=zeros(world_size, world_size);
% niciun punct nu e necunoscut
stm(:,:)=0.5;
for j=1:stm_size
    % calculul pozitiei
    pos=ceil((pose(off+j,:)/scale)+(world_size./2)-40);
    % genereaza modelul sonarului
    model=sonar_model(readings(off+j,:),pose(off+j,3)+degrees(k));
    % adauga in harta temporara (pe termen scurt)
    stm=bayes_fusion(stm, model, pos);
end
% limita impusa afisare
margin= 5;%15;
pos=ceil((pose(off+1,:)/scale)+(world_size./2)-40-margin);
% formeaza harta pe termen scurt
stm=stm(pos(1)+1:pos(1)+length(model)+2*margin,
pos(2)+1:pos(2)+length(model)+2*margin);
% functia pose_generator() returneaza o matrice a posibilelor
% pozitii pe care le-ar putea avea robotul, in functie depozitia
% actuala
% functia compute_score() pentru a vedea in care din aceste pozitii se
% integreaza cel mai bine
poses=pose_generator(pose(off+1,:));
for l=1:size(poses,1)
    pos2=pos(1:2)+poses(l,:);
    rscore=[rscore compute_score(world, stm, pos2)];
    rpos=[rpos;pos2];
    rstm(:,:,length(rscore)) = stm;
    rposes=[rposes;poses(l,:)];
    rdegrees=[rdegrees degrees(k)];
end
% functia MIN returneaza locatia cea mai probabila
[score, idx]=min(rscore);
stm=rstm(:,:,idx);
pos=rpos(idx,:);
% inregistrarea (validarea) hartii porvizorii in (cu) harta globala
world=bayes_fusion(world, stm, pos);
left=off+stm_size-overlap:length(readings);
a=-rdegrees(idx)/180*pi;
T=[cos(a) -sin(a);sin(a) cos(a)];
pos=[pose(left,1)-pose(off+1,1) pose(left,2)-pose(off+1,2)];
pos=pos*T;
pose(left,1:2)=[pos(:,1)+pose(off+1,1) pos(:,2)+pose(off+1,2)];
pose(left,1) = pose(left,1)+(scale.*rposes(idx,1));
pose(left,2) = pose(left,2)+(scale.*rposes(idx,2));
pose(left,3) = pose(left,3)+rdegrees(idx);
% afisarea hartii temporare (pe termen scurt, in timpul generarii)
figure(1);
colormap(gray);
h = imrotate(world, 180);
imagesc(h, [0 1]);
drawnow;
zoom on
zoom(1.5)
off=off+stm_size-overlap;
end
% harta globala ajustata
figure(2);
colormap(gray);
world(world<.7)=0;
world(world>=.7)=1;
h = imrotate(world, 180);
imagesc(h, [0 1]);
zoom on
zoom(1.5)

```